

الجمهورية الجزائرية الديمقراطية الشعبية  
وزارة التعليم العالي والبحث العلمي  
جامعة قسنطينة 1  
كلية العلوم الدقيقة  
قسم الفيزياء

رقم التسجيل: .....

المسلة: .....

رسالة

مقدمة ليل شهادة دكتوراه في العلوم

تخصص: علوم المواد

فرع: خزفيات

العنوان

أحضر يهود دراسة الألغشية وحواملها انطلاقاً من مواد  
خزفية

من طرف:

بواويقربوخميس

أمام لجنة المناقشة:

جامعة قسنطينة 1	رئيساً	أستاذ	صلاح الدين برامة
جامعة قسنطينة 1	مقرراً	أستاذ	عبد الحميد حرابي
جامعة قسنطينة 1	ممتحناً	أستاذ	زين الدين ويلي
جامعة جيجل	ممتحناً	أستاذ محاضر	بوزرارة فرحات
جامعة المسيلة	ممتحناً	أستاذ محاضر	سحنون فضيل
جامعة المسيلة	ممتحناً	أستاذ محاضر	بلهوشات حسين

تاريخ المناقشة: 2014/ 01/ 09

## تشكرات

أتقدم بجزيل الشكر والعرفان إلى الأستاذ محمد الحميد حرابي أستاذ بقسم الفيزياء - كلية العلوم الدقيقة بجامعة قسنطينة 1 على اقتراحه وإشرافه على هذا البحث، وكذا مساهمته في إنجازه ومتابعته المستمرة لنا، كما لم يبخل علينا بتوجيهاته ونصائحه القيمة التي كانت سنداً لنا، وتقديمه لنا يد العون والمساعدة وتزويدنا بالمعلومات اللازمة لإتمام هذا البحث، وكذلك إلى الأستاذ صلاح الدين بواحة أستاذ بقسم الفيزياء - كلية العلوم الدقيقة بجامعة قسنطينة 1 على تفضله برئاسة لجنة المناقشة. أتوجه بشكري أيضاً إلى الأستاذ زين الدين ويلي أستاذ بقسم الفيزياء - كلية العلوم الدقيقة بجامعة قسنطينة 1 والأستاذ فضيل سحنون أستاذ محاضر بجامعة المسيلة والأستاذ حسين بلهوشان أستاذ محاضر بجامعة المسيلة على موافقتهم المشاركة كأعضاء ممتحنين في لجنة المناقشة. كما أتقدم بجزيل الشكر والعرفان إلى الأستاذ فراحه بوزوارة أستاذ محاضر بجامعة جيجل على مساهمته ومتابعته لنا المستمرة وهو الآخر الذي لم يبخل علينا بتوجيهاته ونصائحه القيمة التي كانت عوناً لنا في إتمام هذا البحث وفي تذليل ما واجهناه من صعوبات، وكذا على موافقته المشاركة كعضو ممتحن في لجنة المناقشة. كما لا يفوتني أن أشكر فريق البحث (MAAS) بالمعهد الأوروبي للمرشحات (I.E.M) بمدينة منبجولي و على وأسهم الأستاذة (Sylvie Condom) و المكلفة بالجانب الإداري (La secrétaire Florance) على إستقبالهم و مساعدتهم لي خلال الترتيبات الإقامي بفرنسا. كما لا يفوتني أن أشكر أيضاً الأستاذ الفاضل والعاللي علينا فوخالي لزهري الذي لم يبخل في تقديمه يد المساعدة من أجل النهوض بمنجز الخريجات بجامعة قسنطينة 1. كما أشكر أيضاً الأستاذ الصديق والزميل مواطني رضا على تقديمه لي يد المساعدة. كما أشكر أيضاً كل من الأستاذ قروحة نور

---

الدين وقشي عبد الكريم. كما أتقدم بجزيل الشكر إلى السيدة نكار أحلام علي مساعدتها لنا في اتمام هذا البحث، أشكر في الأخير جميع الزملاء والأصدقاء بوحدة البحث فيزياء المواد بجامعة قسنطينة وعلى رأسهم الأستاذ هاروني سفيان وسرار حمزة وبزي طارق وبوالشعب عبد الغاني وطعبوش عادل وكريميش فتواك وحنيني فوزي، كما أتقدم بجزيل الشكر إلى وكل من ساهم من بعيد أو قريب في إنجاز هذا البحث.

## اهداءات

إلى من لا يمكن للكلمات أن توفي بحقهما

إلى من لا يمكن للأرقام أن تحصى فضائلهما

إلى والدي العزيزين أدامهما الله لي

إلى زوجتي العزيزة حرايبي أسماء التي أتمنى أن يكون لها حافظا ودافعا من أجل إتمام

رسالتها هي الأخرى في الكتاب.

كما أهدى هذا العمل إلى إخوتي وأخواتي: رمضان، عمار، مسعود، بلال، رتيبة، كنزة، فاطمة

الزهراء، روقية، آسيا.

كما أهدى أيضا هذا العمل إلى بهجة العائلة

الكتابية: منذر ووائل وعفوان وأمانى.

الفهرس

1	لمقدمة.....
	الفصل الأول: ع-مهي-ات حول ال مخنوي-ات
3	1. ع-مهي-ات حول ال مخنوي-ات .....
3	1.1. تعريف ال مخنوي ات .....
3	2.1. بطيعة ال مخنوي ات .....
4	1.2.1. ال طبيع قك يم هي اي ة .....
4	2.2.1. بلن يقابل وي ة .....
5	3.2.1. بلن ي ة الم ج دي ة .....
5	3.1. خصائص ص عام ق ل مخنوي ات .....
5	1.3.1. خصائص ص ل و اب ط ك موي اي ة .....
5	2.3.1. خصائص ص م ي ك ي لي ئي ة .....
6	3.3.1. خصائص ص ل و اب اي ة .....
6	4.3.1. خصائص ص ل ن ا ق ل ي ة ل ك و ب ي اي ة و ل حراري ة .....
6	5.3.1. خصائص ص حراري ة .....
6	4.1. أنواع ل مواد ال مخنوي ة .....
7	1.4.1. ال مخنوي ات ل ن ي ي ة .....
7	2.4.1. ال مخنوي ات ال و يظقي ة .....
7	5.1. تخضير ق طعة مخنوي ة .....
7	1.5.1. ال تخضيري ر ب ق ل ش ي ط .....
9	2.5.1. ل ض ا ف ات ل مخنوي ة .....
9	3.5.1. ال ش ل ي ل .....
11	5.1. 4. ال طب ي د .....
11	ال تلبي د لطي عي .....
11	بال تلبي د ب و ج و ي ف ا الت .....
11	الت ل ج ي د ت ح ت ت أشي رض غ ط خ ل ج ي .....
11	5.5.1. لئوق ال نوا ح س ي ن .....
11	6.1. در ب ل ق ب ع ض ل مواد ال مخنوي ة .....

11	..... 1.6.I. لصلال (لغضار)
11	..... 1.6.I. لك اوالن
11	..... أت-عريف
12	..... ببن-يتها
12	..... ج- نصل-صل-ها
13	..... لصل حوالصل حراري ةلكا الن
15	..... 3.6.I. لرابونال لالصل وم
15	..... نصل صل هلصل نصل
16	..... بصل صل هلصل نصل
16	..... جصل صل هلصل نصل
17	..... لصل سن ة
11	..... 6.I. لوكصل دل لالصل وم
19	..... لصل صل
19	..... ب- نصل صل هلصل نصل
21	..... ج- نصل صل هلصل نصل
21	..... 6.I. الل نصل صل
21	..... أ- لصل لل بلو صل
21	..... بصل صل صل الل نصل
22	..... 6.6.I. م نصل نصل الل نصل
22	..... الل نصل: $\text{CaO-Al}_2\text{O}_3\text{-SiO}_2$
23	..... بصل نصل: $\text{SiO}_2\text{-Al}_2\text{O}_3\text{-MgO}$
25	..... جصل نصل: $\text{SiO}_2\text{-CaO-MgO}$
	لصل لال نصل: عموم صل حوالل نصل (ل نصل) ول حوامل
21	..... II- عموم صل حوالل نصل-ة ول حوامل
21	..... 1.II. مقل ة
29	..... 2.II. نصل نصل نصل
29	..... 3.II. نصل نصل و مصل نصل
29	..... 1.3.II. نصل نصل

30	..... 2.3.II مبيزات-ها
30	..... 1. 2. 3.II عيب-تلاقص
31	..... 2.2.3.II سبب-ة التثقي-اي-ة
31	..... 3.2.3.II لث حنة التومينات-اي-ة
32	..... 4.2.3.II الم ساجية و طيق ة ح سبها
33	..... 5.2.3.II ل فاذي-ة
34	..... 6.2.3.II ت أشير درجة ل حرار قللين فاذي-ة
34	..... 7.2.3.II مق او مدة ل غشاء
34	..... II تبصني ف الأغش-ي-ة
35	..... 1.4.II تبصني ف اح سب ل ية فصل
35	..... 1.1.4.II ألغشري ة لم سلمي-ة
35	..... 2.1.4.II ألغشري ة ل لا سلمي-ة
36	..... 3.1.4.II تغشري لقت بادل الأليوني
36	..... 4.II تبصني ف اح سب نيته
36	..... 1.2.4.II ألغشري ة لت حاس-ة
36	..... 2.2.4.II ألغشري ة ل غر لم سانس-ة
37	..... 3.2.4.II ألغشري ة ل طوب-ة
37	..... 4.2.4.II ألغشري ة ل لفي ة لم جف-ة
38	..... 3.4.II تبصني ف اح سب شك لها
38	..... 1.3.4.II ألغشري ة لم سبوي-ة
39	..... 2.3.4.II أغشري ة ل ل زهوي-ة
39	..... 3.3.4.II أغشري ة الأبوي-ة
40	..... 4.3.4.II أغشري ة ل لفي ة لم جف-ة
40	..... 4.4.II تبصني ف ل غشري ة ح سب بل طي علق كوي اي-ة
40	..... 5.II ش كل ل ح وامل (لساند)
41	..... 1.5.II الح وامل لم سبوي-ة
41	..... 2.5.II الح وامل ل ل زهوي-ة
41	..... 3.5.II الح وامل الأبوي-ة

41	.....II.4.5.الحوامل الفيري الم حفة
42	.....II.6.بست خدائل غشية في معلقة لمي اه
42	.....II.1.6.بست خدام أغشية لتقوية لمي كروي (MF)
43	.....II.2.6.بست خدام أغشية لتقوية لمي كروي لمدقة (UF)
45	.....II.3.6.بست خدام أغشية لتقوية ان وتري (NF)
45	.....II.4.6.بست خدام أغشية لتقوية ح كسي (OI)
46	.....أ- لتقوية ح لمب اشر
47	.....ب- لتقوية ح كسي
47	.....II.7. أن م- اطلوش-ي-ح
48	.....ألتش ي بلج بهي
48	.....بالتش ي ح لم لمسي
49	.....II.8.بعض طق سحزير الأغشية ل خفية و دراستها
49	.....II.1.8.مق-م-ة
49	.....II.2.8.بعض طق سحزير الأغشية ل خنوية
50	.....II.1.2.8.بعض طق سحزير لحوامل لمسي
50	.....1-الحوامل لمسي
50	.....2-الحوامل الألبوية
51	.....أ- طرة الاستخراج (المثق)
51	.....ب- طوية الطرد لمركزي
51	.....II.2.2.8.بعض طق سحزير الأغشية لبست خدام طيق قلص ب
ل فلص اللثال: دراسة لموائل و ل طرق لتجوي-ة لتبع	
54	.....III.1.دراسة ل مواد الأوية
54	.....III.1.1.لاكا الن (DD2)
55	.....لتاح لي ل كيم يطي ل ك اولان (DD2)
56	.....2-ن عراج ل ش ع قلاسي
56	.....لتاح لي ل حارري ل فلص لي (DSC) ل ك تي (TGA)
58	.....III.2.1.لاكا الن (DD3)
58	.....لتاح لي ل كيم يطي ل ك اولان (DD3)

60	.....2-ن عراج أشع قلاسي رية
60	.....3للت حيل ل حراري تلفلضلي (DSC) لكتلي (TGA)
61	.....3.1.III. ثرابونات لثاسري وم (CaCO <sub>3</sub> )
61	.....للت حيل لكتلي لثاسري وم (CaCO <sub>3</sub> ) لكتل سن ة
62	.....2-ن عراج أشع قلاسي رية
63	.....للت حيل ل حراري تلفلضلي (DSC) لكتلي (TGA)
64	.....4.1.III. هس افات
65	.....2.III. ل طرق لتجربية لتبع ة
65	.....1.2.III. بتضير حوامل لك الن (DD2) + ثرابونات لثاسري وم (CaCO <sub>3</sub> )
69	.....2.2.III. بتضير حوامل من ل اوالن (DD3) و ثرابونات لثاسري وم (CaCO <sub>3</sub> )
71	.....3.2.III. بتضير أغشية عصرة بلتقوية لكرهية (MF) من مادة ZrO <sub>2</sub>
71	.....1- ل م الاقولي ة
71	.....2 بتضير ل غشية
72	.....3- ل م ع لجة ل حرارية
74	.....4.2.III. بتضير ل غشية عصرة بلتقوية لكرهية ل دققة (UF) من مادة ZrO <sub>2</sub>
74	.....1- ل م والدم ستخدم ة
76	.....2 بتضير ل غشية
76	.....3- ل م ع لجة ل حرارية
78	.....5.2.III. بتضير أغشية عصرة بلتقوية لكرهية (MF) من مادة ZnO
78	.....1- ل م الاقولي ة
79	.....2 بتضير ل غشية
81	.....3- ل م ع لجة ل حرارية
82	.....3.III. بتقيا اتقلي اس الي تلحيل
82	.....1.3.III. بتبار لني ذو كالتق اط
83	.....2.3.III. دراس بتل عينات
84	.....3.III. بتبلان فا ذية
84	.....4.3.III. حس ابال مس لمية
85	.....4.III. أ م أ لجة ل هس تلحية

85	..... 1. فهرن
85	..... 2. جهاللسحق
85	..... 3. ليهزانلحاساس
85	..... 5. جهازسجودألشعقلسني
	للفصل الرباع: رلتائ-ج ومباق شت-ها
87	..... 1.IV. دراس-ةالحوامل لمحضرة من ل اوالن (DD2) ولاللسيت (CaCO <sub>3</sub> )
87	..... 1.IV. لابتاحليالحراريلعجاتلكالك وخليطلكالن + 21% وزنا من اللحاسيت
90	..... 1.IV. لابتاحليلبواسطألشعقلسني
91	..... 3.1.IV. حسالبلن سبة ل حججيهلشعقات وتموس طق طرها
91	..... 4.1.IV. دراسعصائص فهاغات
91	..... أنسبها وأبع ادها
92	..... بن مطتويع فهاغات
94	..... 5.1.IV. بلني ل مجوي
95	..... 6.1.IV. عصائص طي كطيك
96	..... 2.IV. دراس-ةألغشيهل عصة اللتقيه لميكونيهل قديقه (UF)
96	..... 1.2.IV. لبقني بوتوس طق طرهاغلشيه
98	..... 2.2.IV. بلني قلمج هري
99	..... 3.2.IV. لخت بارلفافيه
100	..... 1ت غيرتدفق باللةالزمن
101	..... 2- حساب معامل للافافيه k
102	..... 3.IV. دراس-ةلحوامل لمحضرة من ل اوالن (DD3) ولاللسيت (CaCO <sub>3</sub> )
102	..... 3.IV. لابتاحليالحراريلعجاتلكالك وخليطلكالن + 15% وزنا من اللحاسيت
114	..... 3.IV. لابتاحليلبواسطألشعقلسني
114	..... 3.3.IV. حسالبلن سبة ل حججيهلشعقات وتموس طق طرها
115	..... 4.3.IV. دراسعصائص فهاغات
105	..... أنسبها وأبع ادها
106	..... بن مطتويع فهاغات
110	..... 5.3.IV. بلني ل مجوي

111	.....6.3.IV. خصائص صلي كيونكي ة
112	.....4.IV. دراس-ة ألغشري ة ل عصرة بلدتقوي ة لمي كوني ة (MF)
112	.....1.4.IV. لخي-ار ل احامل
113	.....2.4.IV. بتقوي بوتوس ططر لهر اغلشي ح ة
114	.....3.4.IV. بليري-ة لمجوي-ة
117	.....4.4.IV. لخت بار ل فافي ة
117	.....1ت غري ت ل ففق باللة الزمن
118	.....2- هاب معامل فافي ة k
119	.....5.IV. ب عضلال بتطقات حمل فافي ة ألغشري ة لست خلم تقري ل لتشي ح لمي كوني ل فديق (UF)
121	.....خ-الص-ة عام ة
123	.....ل مراجع

## القديم-ة

عفتت قوري المثل فص لباستخدام الأغشية لـ خفوية اهتمام بتزويدا خلال سنوات العشر الأخيرة، تستخدمت نول ووجي أل غشيري قفي عدة مجالات للكمي اء ولك غفية ولكل ووجي ال محيوية و مؤخر فيم عمل جة ال لعمست عملة. ف من بين هذه التقنيات نجد تقوية لتصفية الهيكلية (Microfiltration) وتصفية الهيكلية الدقيقة (Ultrafiltration) لتتسست عملان تخلص من جزيئات الكائنات الدقيقة وكذا المواد ال علق فباستخدام هذا النوع من الأغشية راجع لكونه يتجاز بيزات تكبيرة منها: الاستقرار لحراري للكمي يائي ومقاومة لفض غط ومدة حياة طويلة. يزود ال حامل لل غشطي غشاء ال طبق لسطح يققوة يكي ليكية وتك ل قوا وم ل شدة ال نك جة ال فر قف ي لفض غط ال مطبق عل ال غش لبا كمله ولك يف نفس ال وقتي جب أن يكون ل يها قوا ومة صغيفة لتفقت ال صغيفة. ال حوامل التي يتباعي الأوقا غها هتكون صنوعة من مركبات مثل: أل ليهين ( $Al_2O_3$ )، وال كورديت ( $2MgO.2Al_2O_3.5SiO_2$ ) وال مي ليت ( $3Al_2O_3.2SiO_2$ ) والتي له أسرار تعرف ع ق سبي. لي غرضت خفي ض أسرار هتقويهم موارد ال طلي عية، فبال مك ان تضير حوامل أل غشيرة ل طلاقا من مك يال كواو لان ل ك ال سريت الغشيري بشكل بك يرفي ل حاء ال عال م وبال خفوي بال ال اجزائر.

تهدف واستقنا هذه ال خضير حوامل أل غشيرة و الأخرية ل طلاقا من مك يال كواو لان ل ك ال سريت (ك ا ب ن المثل ك ال سريوم) (ل ام ح ل يين وكذا مك ي و ل ك س ي د ل في ر ك و ي و م) ( $ZrO_2$ ) و (ك س ي ل ل ز ن ك) ( $ZnO$ ). ك م ت م ال طرق ي ا ض ال ال ي دراسة أم خص ل ص هذال حوامل. ن ق س م واستق ال ع ق س ي ر ا س س ي ي ن:

ال قسم الأول: عبارة عن دراسة نظرية وهي ضم ص ل ي ن، حيث تطلق ال ي فصل الأول ال ال أهمل خص ل ص فلي ز ي ا ية لل ك ي ي ط ي ذلك خفي اب ش كل عام ودراسة أهمل خص ل ص ل مواد الأولي ال هتتم ل ق ي كل من ال كواو لان ل ك ال سريت (ك ا ب ن المثل ك ال سريوم)، ك م لي ا ض ل م ال طرق ال ي دراسة خص ل ص ل عض ال مركبات خ اة هه ال مركب الأورثي و كاذل تي ان ال م جم ال الم ا ز ان ال ي ي م ك ان أنت حاوي ما ذا ال مركب. الم ل ف ص ال ل ث ل في ق ا د خص ص ن ال ي دراسة أهم ميزات الأغشية وال حوامل (ل م س ال د) وكذا م خ ت ل أ ا ق ل ف هه وأل ك ال هه وم ج ال ات استخدا م هه وك ن ب ل عض طريق خضيري هه.

ال قسم الثاني يتم في هه ال دراسات جري قف ي ص ل ي ن ف ال ي فصل ل ك ال ث م ال طرق ال ي دراسة ل ال مواد الأولي ق ل ض اف ل ي عرض ال طرق ل جري قف ية ل حاة فاي ت خضيري ال حوامل والأغشية وكذا م عظام ل قري ات ال ج ه ل ق س ت عملة خلال هذال حاء. أم ل ف ا ي ل ص ال ال ر ب ا ع ق ا ت م ال ط ا ر ق ال ي دراسة و ق ل ث ق م خ ت ل أ ال ت ل ح ت ح ص ل ع ل ي هه خ ل ل ع م ل ي ق ا ح ض ي ر ال ح و ا م ل الخ ش ية وك ن ب ل عض ال ط ل ي ق ا ت.

## الفصل الأول:

### عموميات حول الخفيات



**1.2.I طلبية الكيمياء**

إن المواد المخفية هي مواد صلبة فضائية استيعابية أو لابلورية و انت مرببات لامعوية ولاعضوية [2]، حيث أن المخفيات لا يمكن أن تتكون من عناصر من لها الامعادن وتريبتا، أو من هذه الأخيرة م واحد أو أكثر من العناصر للمعوية، أ ج أن الروبطل الكيمياءات ويعة أيوية أو/ و تتكوية [4]. (الجدول I-2) [2].

**الجدول I-2: أطلت تريبتسين لها الامعادن وللامعادن للمكون ذلك مخفيات [2].**

البطي علكي ميطي ذلك مرببات	نمثلة
- لها معدن حر.	الكاربون (C)
تريب لها الامعادن.	- ريدالهور (B <sub>4</sub> C)
تريب لها معدن ومعدن.	نتري ألل فيوم (NAI)
تريب لها معدن ومجموعة معدن.	تريب أ، اسري دنخل اليجنال MgO, Al <sub>2</sub> O <sub>3</sub>
تريب مجموعة لها الامعادن ومعدن.	فاليور بلسيت Ca <sub>5</sub> (PO <sub>4</sub> ) <sub>3</sub> F
تريب مجموعة لها معدن ومجموعة معدن.	- مر، بلله هي ليكات 4SiO <sub>2</sub> .Al <sub>2</sub> O <sub>3</sub> .k <sub>2</sub> O

**2.1 إنقال بلورية**

إنفسال مر، بال تخفي للمكون من عناصر كيميائية تحت أفتقن هب محددت طابعه أن يتبلور في تويغات رية م لتفة تتوك في بلورات اتينى بمعدة ألكال [2]. تتعلق البيئي للبلورية ذلك مخفيات م بامر قبطية الروبطل للبلورية الهادة فإا، لت أغلبية الروبطل للبلورية الهادة أيوية تأخذ البيئي تتعية نخرصة، اتأ، برثافة ممكنة، أي نيح او، ل أيوناً، بر عدد ممكن من الأيونات اتل شرح ذلك مخافة له، ويحدث هدف مقل ال مرببات الأويية، حيث تكون البيئية من تراصل ذرات الأويي م حاو ق ب مقل الأيونات للمعوية التهمض عقي مواض ثلهية ال ووجه [4]. أما إا، لت الروبطل الكيمياء هي الهية علق تريبت وتوض الذرات بعدد الروبطل حرة، ليش كيميائية مختال قنيية ال ماس [4].

## 2.1.1. البنية لجهرية

تشكل البنية الجهرية للخفيات من تجمبل ورائص غيرية أو جيبات اتبعض غيرية و ات توج التمتخت لفة في فصل بين هذلم جيبات ووربيني يتتثل في الحدود الجيبية [4] بزيادة إلى ل، تكاد معظم الخفيات لا تدخلوا في فراغات الموعفي، امل حها لمادة. ،م لتعلق البنية الجهرية الجارية قببق اوة المادة الأولية الهمقخ دمة و بطرق لك حضير، إ أن ال عدال جيبية و البنية للوري لحدود الجيبية في حال قبل ورية أو جاجية (تور، ي ل فراغات ل التئري ربي في لك ص را أو لاهلوك الهمك لوكي ول حرار ج ل اذهال مواد [4].

## 3.1. خصائص عام قنفيات

### 1.3.1. خصائص الربط الكيمائية

إن أهم متتابة الخفيات عنباق ي ال موالن لينة هو امتال، ال ربطة هي طية ج دقوي قبين الذرات أو ال عاصر ال كور لة ل ش ك ظليل ورية [2] بال ربطة ل ك ي طية هي الم مؤلة عن تمل خ ال م و ل تل عب دورا امط ي ت ح ي ب عن خصائص او، ذلتميف ال.

### لج دول I-3 ي مثل وق ة ال ربطة عضال مرببات [5].

الرابطة	SiC	Si-Si	Si-O	B-N	C-C
لطقة (eV)	... 3	0.. 2	4.. 2	4.44	... 2

### 2.3.1. خصائص كيميائية

تلخ الخفيات قيم عالية من معا الت لمرونة مقارنة م المعدادن و ل خ بسبب قوة ربطة ال كيميائية، إ أن قوة ال ربطة هذ لات هم ج ازالق ال همقبيات للوري قبل ان بقل عض ال عض، م قبي للمعدادن، وبتال يتكون بصفة عامة موافق صفة القوة ال لازم ل خ ل ق تشو، بر مرال قوة ال لازمة لك مره) [6]. إ فم ج ال ل لونة عود درجات ال حراراق عادية غل ببال نبة ل اذهال مواد.

### 3.3.I. ضائص كهربائية

تعتبر الخزفيات نواقل، ابعادية رديئة ولتحتي جفليطية لمزدوج اقل وابط (أي روية-تق اهمية) أن خ أن جليل كترونات تلك لفلول عاصرر لمكون أقل مر، بتكون مقيدة لك بل رغب منزلن خلائق متوحد مجموععة من الخزفيات نص رقالة ورقالة وضيفي اقوة القلية ولخ ضمن مروو محددة [4].

### 4.3.I. خصائص الناقلية الكهربائية والحرارية

نظرا لطبيعتها العازلة، أن جليل كترونات تلك لفلول تكون مقيدة إن لطين ق الوحن بل قل ل ل حرارة رفو لتقزا الشبك طلب روية. أيضا القالعة ك ابعطية فتتب عن ورن قن البشار النوني أوف خروج، أن خ أن ل خوية انتكاشون عم رين ان ورن نل رين نل ق ل حرارة ول ك ابعطية ورن ل خوية خوية انتكاشون رقالة فيروم غن ابيهة ويروم غن ابيهة وفعلق لقل [4].

### 3.I. خصائص حرارية

نظرا لعدم كفاءة الخزفيات منقوة امتقار لربط ل ك ابيهة فان هذه الخزن ريفلن ق او فظن درجات حرارة عالية خ داق تصن ل ل نى لئق ر فن 0222°C بوالقطي يملن اسن خدام فذه المواد، عوا ل حرارية بل رغب من أ الكت حمل لاص دم اتل احارارية [1] يمين لاج دول I-4 درجة لاص الوعض ل خزفيات [7].

لجدول I-4: يمثّل درجة لاص الوعض ل خزفيات.

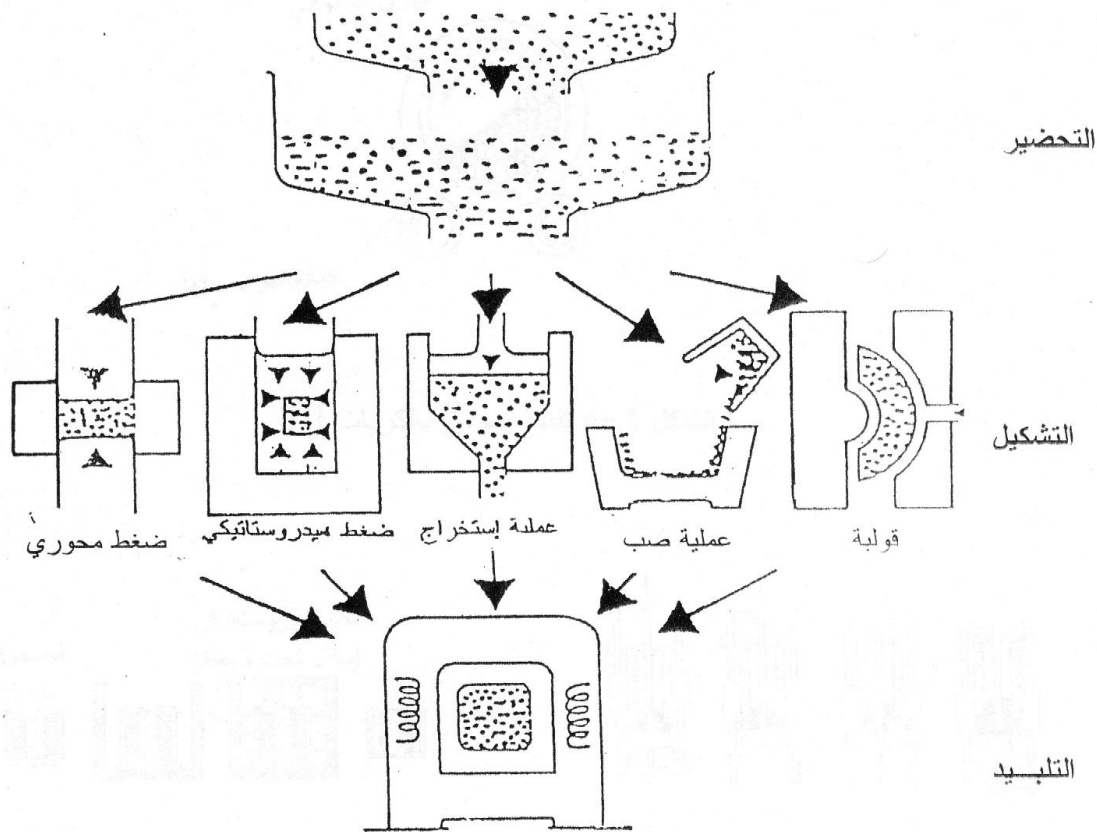
لركب	Al <sub>2</sub> O <sub>3</sub>	MgO	CaO	TiO <sub>2</sub>	SiO <sub>2</sub>
درجة الانصهار (C°)	02. 2	0322	0. 22	9342	9902

### 4.I. أنواع المواد الخزفية

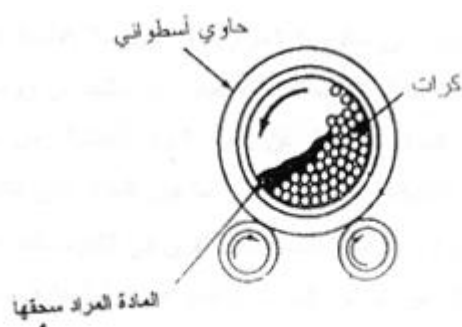
يمك تصني ل خزفيات حهب مج الاتتطيقا إلى قاهين وئيين [1]:



له حقاوسطة، ريات من أللويين ألل فولاً م وجود ماء مقطر [4]، جي شي كيتل جي ص هذه التقني قبي  
 لشكل I-2).



لشكل I-1: ألب مراحل لتحضير رقطة خفيات [3].



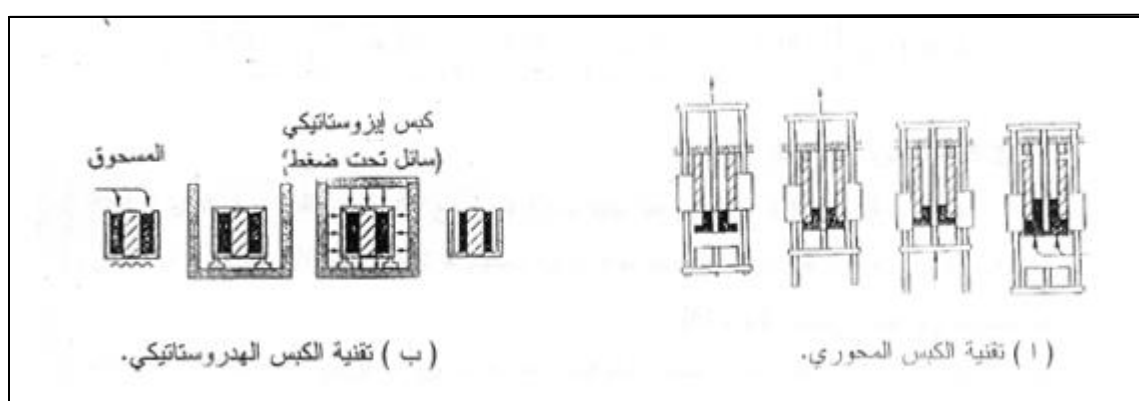
لشكل I-2: تقوية اله حقاوسطة الكريات.

## 5.1.1 هيات العضوية

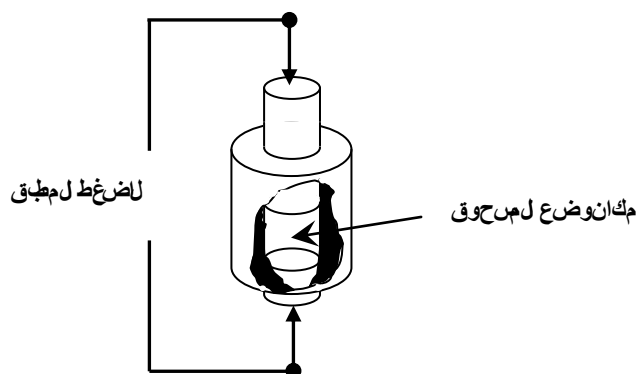
يكون من الضروري خبيب عرض الال من ان إضافة مواد عضوية لمن خ أن نراك فوادتفاع عد عن يبون ط  
 لاجزئية تبعض الال و تتمبال موادالربطة. ، ما أن نراك فوادمل رنة عم نل عنى حطين الال عنات فنتال نلق  
 نلق الملمعال حة لحرارة [8] فواذه الإضافة التي خ نل خ ل ص مننا خلال عمال فتلين د وأن خ نل نل خلاق  
 ال فر اغتلتل خ ب ي ادض غطل غا ات داخل ال جوات والتي يتود ج إلى خ دون تب عرض ال عنو ، فوا أن لواذه  
 الإضافات نهب محددة لي م ك نت ج او ها هذا ، ما أم ار الينه فا را [9]. ف ن يين فذه ال فواي م ل ن أن خ د  
 بوليفي ال ل كول (Poly vinyl alcohol (PVA)) ي بعر ، فواذة ربطة أم نبال ن م ل ن فوا ال م ل ن ف ن خ د  
 على سويل ال نبال و ن يي الين غلي كول (Polyéthylène glycol (PEG)) وهي عبارة عن إضافات تتف عمل  
 الال و يين [10] و ، ذا م و خ ز فية أخرى.

## 5.1.2 تشكيل

نق صال لتشكيل هو إعطاء المادة الأولية م ال م عن ا يتاسب وال دا من اا، ومن أمق يتيك ال لبس  
 الم حور ج و ل يتشكيل عن و ي ق الة ض غط مناسبة جي ثي طبق على الم حور ج ال موجود داخل القالب خاص  
 ض غط فلبا اي هم ج تشكيله لاشكل 3-I و 4-I. (نحصل على التحام ألي تي جة الاحتكاك بين اللبسات  
 تحت ألي رال ض غط الم حور ج م م ا و د ج لى نلوف اع م حل في درجة لحرارة و هذابا دال حصول لى  
 عينة نتم اس ك تشكيل ، ااي م نل لفرن [4].



لشكل 3-I و 4-I تشكيل عن وي قال لبس [4].



لشكل I-4 قالب مخبري مصن من الألياف وأسطح أكسيد الألومنيوم.

### 4.5.1 التليد

تتحول العينات المشكولة خلال هذه العملية من مسحوق غوي وغير متماسخ إلى مادة صلبة وصلدة، حيث يمكن تمييزه عن باقي المواد المتبقية من خلال تغير اللون أو الشكل [4]:

#### التليد ليعني

تعتبر هذه العملية التي تسمى التليد، هي عملية يتم فيها تسخين المادة حتى تصل إلى درجة حرارة تتسبب في تدمير البنية البلورية للمادة وتحويلها إلى بنية غير بلورية. من بين أسباب حدوث هذه العملية نقص الأكسجين أو وجود الشوائب في المادة. من بين أسباب حدوث هذه العملية ارتفاع درجة الحرارة العالية [3].

#### التليد بوجود وفائف الت

تتطلب هذه العملية وجود وفائف التل داخل القوالب الخفية لتسهيل عملية التليد، حيث يتم تسخين الوفايف من خلال التل. لا يمكن أن يتم التليد في الفراغ أو في الهواء العادي، بل يجب أن يتم في بيئة خاضعة للتحكم في الضغط ودرجة الحرارة [4].

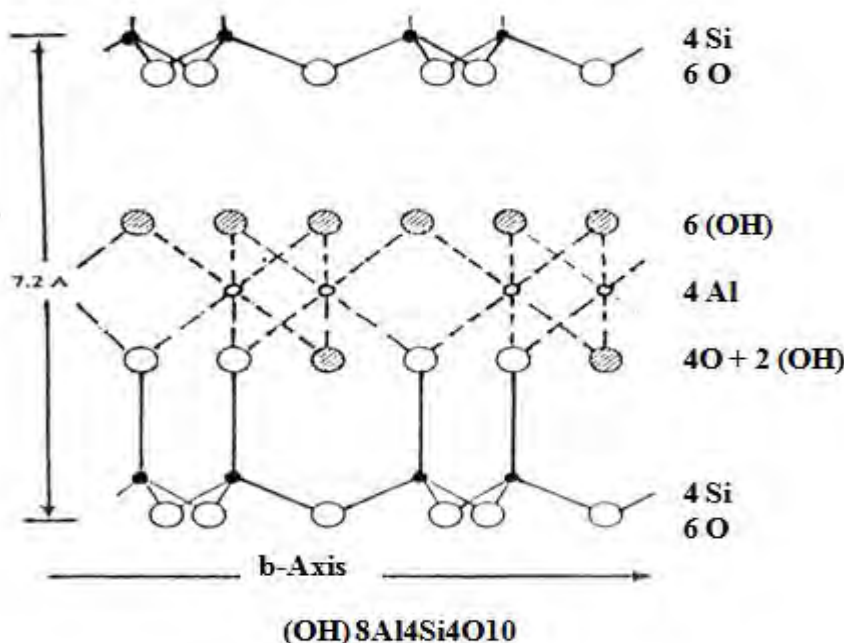
#### جالتليد تحت تأثير ضغط خارجي

لا يمكن أن تتم عملية التليد دون وجود ضغط خارجي على العينات، حيث يجب أن تكون العينات مغطاة بغطاء من مادة خفيفة الوزن، مثل الألومنيوم، لتسهيل عملية التليد. من بين أسباب حدوث هذه العملية ارتفاع درجة الحرارة العالية، ويغزر أن هذه العملية تتم في بيئة خاضعة للتحكم في الضغط ودرجة الحرارة. لا يمكن أن تتم عملية التليد في الفراغ أو في الهواء العادي، بل يجب أن تتم في بيئة خاضعة للتحكم في الضغط ودرجة الحرارة [3].



ببنيتها-1

تلقى وزال تلقاوان صيغة عاقرنهن صفة ح عصفري قلعوا اام شكلة لول، عشتتوضرن فنوق عضرناا لبعض باعاد ملتغير ملين 2.. و 92 μm ال نطقطر ومن 24.24 إلى 4 μm ال ن مقلنم خ [12،7]. تكورال صفة ح عنوري قتجم ال طبق اتضاية ال ووجولي عضرر A1 اللق عن قت خت ال هنة الهاين في راعي اللق لي كون [13]، عشتت عتزل ر اوس الشما عتات فننر لم تبة ب راعي ووه اللق لي كون بي عتات اللق درو، يد (OH-)، م لي طق على لجز على لملور منال ك ان لاب ال لول عت ن ميني نبل ونية ال عتية ال عتزل، ما هو مضمخ في اللق كل 5-I.



لش كل 5-I: البني ظليل وري ذلك او لايت [14].

ج- خصائص-5-1

تتمة ال كوان صفة ص بي ك لي كينة عاقرنهن فن قلوب ل لشند والثنوي، من أن لانام عاقرنهن فنوق عضرناا صفة ح عتية حرار عتية خ فضرنة، عت عت عت اي أضرب ق او م ت ال ن درج ات ال حرار عاقرنهن، لث خرنك ي م ل قن است خ دام ا عت درج ات حرار قت ج او 9.22 °C، ما أن الم ق او مة عت ل ا ج ال د ل حرار ج.

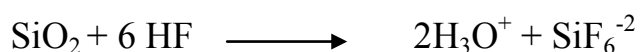
من لبة خصص صال كوان لقل لي زي اي ق م كن ، ر عت لي [14]:

• م ع ا م ال ت م د بال خ طي: (20°C - 700°C) (K<sup>-1</sup>) = (5 · 10<sup>-6</sup> - 7 · 10<sup>-6</sup>).

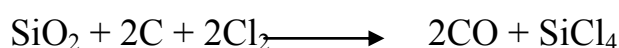
• م ق او مة اللق ي: (kg/cm<sup>3</sup>) = 50 - 210.

• قوا مة الاض عاو: (kg/cm<sup>2</sup>) = 1050 - 4220.

ويتعبر الـكاولان مرباخا الهيدروكسي، يؤثر عليه الأحماض عدى حمض الفلور (HF) لذجيفاعل من أوهيدروكسيكون  $SiO_2$  فقولم عدل تلك الهية:

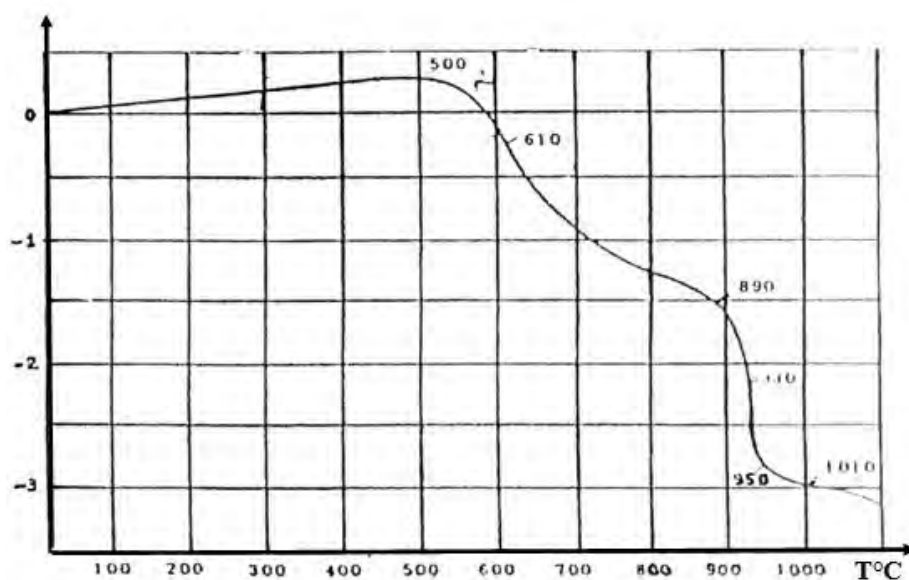


، ما أن أوهيدروكسيكون يتأثر الكلور عند درجات حرارة عالية وفضلا عن ذلك عن الـكاولان في لئابون ولخ فقولم عدل تلك الهية:



### دلت حوال تال حراري لك الـن

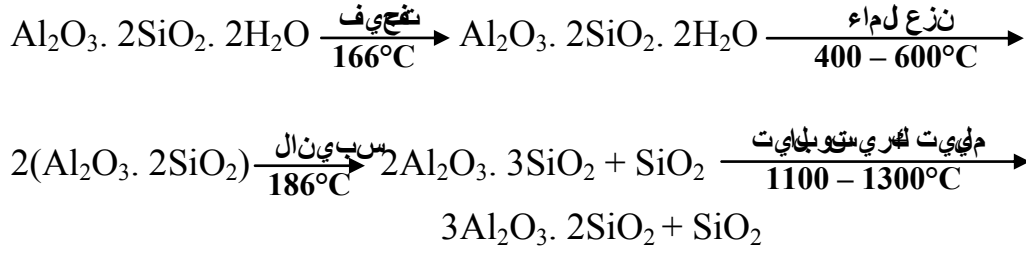
بيعت م عطف الـواسنات التي أجريت على الـكاولان لتقاع عمل تحت درجات اسن واء، لنت بقده الـواسنات عن وبقن مع اج الـضعة الـفنية (XRD) [18-15] أو عن وبقن التمدد الطولي في الـضعة (DTA) [6-I، 7، 12، 11، 20].



لش كل 6-I: التمدد الطولي في الـضعة لـكاولان [12].



يتم كتل خيصرسل هل ةالت حولات التي ت م رب الالك او لان ثقل المم عال ج ثا ح رار ي ق ي الم خ ط ط الك ال ي:



### 3.6.I. أكوابون الكالكاسيوم

نتواخذ ، ا بون اتلك ال ر ي م عنى ر ي ظ لى صن خور فني ج ي ن ل خ اء ان ل ف ب من ال جز ئ ر متين زي ل ال ون

ال ي ض فني حل ل ن ة رق ا ب ت ل ا ، صون غ ت ال ل ي ي ل ي ن ف ا ل ف ب ن ل ي ا ق ي :  $\text{CaCO}_3$  ون ال الن ف و ل ي ق ت در ب ن ن ال ي :

$$M = 100.1 \text{ g} \text{ ، تلت ال ح ج م ي ة ل ظ ر ي ة ح و ل ي } [2.71 \text{ g/cm}^3] \text{ [23].}$$

ي م كن ا ت صل در ج ق ر ق ا و ة  $\text{CaCO}_3$  ال ط ي ع ي ة ل ي ، ث ر ن 13% ن ن ال ت ل ن ة ل ح ج ي ن ل ن ظ ر ي ن ف م ان ي ت ع ي ر

ع ال ي ة ج ب ال م ق ا ر ن ة ب ق ي ة ال م و ا د ال ي ة ال خ ر ي . ا م ال ن م ب ة ال ب ق ي ة ا ج 0% ف ا ي ع م و م ا ع ا ر ة ع ن ل ا س ي د

ن ح ت ل  $\text{Al}_2\text{O}_3$  و  $\text{Fe}_2\text{O}_3$  و  $\text{SiO}_2$  [23، 24] . م ي ل م ل ن ن ا ن ت ع ن و ج ن ن ل ف خ ع ل ن ن ي و ط ب ، ك ب و ن ن ن ا ت

ل ل م غ ي ن ي و م ( $\text{MgCO}_3$ ) ، م ي ث ا ن ه ذ ل ش و ط ي ب ي م ن ا ن ت ك و ن م و ع ق ب ت ظ ا ع ل ن ال ب ف ا ة ال م و ا ع ن ي ر ي ظ ل

ت ج م ع ب ل ن ل ش ق و ق ل ص خ ر ي ة [24] .

### أخصائص هائلون ي ن ا ي ة

ي ي ن ال ك ش ب و ا س ط ة ل ع ر ا ج ال م ع ة ال ي ن ي ة ا ن ي ن ي ل ل ل س ال ح ج ر ج ( $\text{CaCO}_3$ ) ه ي س د ا س ي م و ي و ر ج

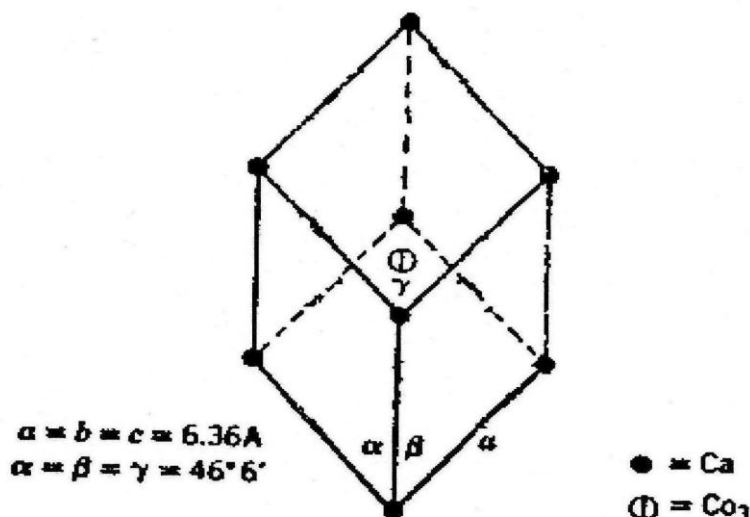
( ن ه ة ث ال ي ن ة م ت ق ا و ة ال ح ر ا ) [24] . م ي ن ث م ت ن و ع ر ا ت ل ك ال ر ي م ع ل ن ي ر ا و س ن ح ن و ا ج ال ف ن ط و

و ج و ي ة ا ت  $\text{CO}_3$  ب م ر ، ز ه ، م ي ي ن ه ل ل ش ك ل I-7) .

ل ي م ك ر ف ي ل ح ال ة ال ط ي ع ي ة ا ن ت ك و ن ث ف ا ة ، ا ب و ن ا ت ل ك ال ي و م ت ه ا و ج ال ال م ك ا ف ل ن ظ ر ي ن ة ل ن خ ا ن م ت و ا خ د

ب ال ف ر ا غ ا ت س ي ن و ا خ ن ل م ي س ت ر ا ر ن ل ح ج ة ع ر ت ك ي ن ل ال ا و ل ي ت خ ت ل ن ز ف ة ن ل ل ف ر ا غ ا ت ب ل خ ت ال ا ب ن ا و ق

ت و ا ج د ه و ه ي ع ا ة ال ت ج ا و 02% التقل عن % 2.. من ال ح ج ل ل ك ل ي [23، 24] .



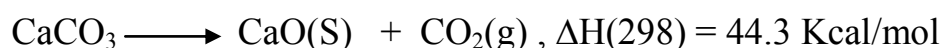
لشكل I-7 بيئي الخلية الأولى في كاربونات الكالسيوم [24].

#### بخصائص هاملي كيونك ية

تتقيا ، اربون اتلك اليفي وبمخ صر نطأ ص يي كيلي الخية ، جيتقن و صر نلايتها فليين 32 و  $912 \text{ MN/m}^2$  [25]. م عاملت محدها ضوييل جدا ليق درج حولي  $4.92 \cdot 10^{-7} \text{ m/}^\circ\text{C}$  [25] ، أهلي م لي خص م عاملي ن غييت راو بهلين  $(2.2 \cdot 10^4 \text{ و } 8.48 \cdot 10^4) \text{ N/m}^2$  [26].

#### جخصائص ص فلك ييم يي اية

تتعب ر ، اربون اتلك اليفيوم م رب ابي غي نرشن ط ي ويطن ، انذا ييق عطي زي يطينا لثو رننه ي يطينا . من نأب خواصر ن يلف كلكن لبتوفق اع در جة ال خرا لقت عطيني أو يي ذلك اليفيوم و نرا نثاني أو يي ذلك يينون فوق الم عدل فلك يي يي اية [27]:

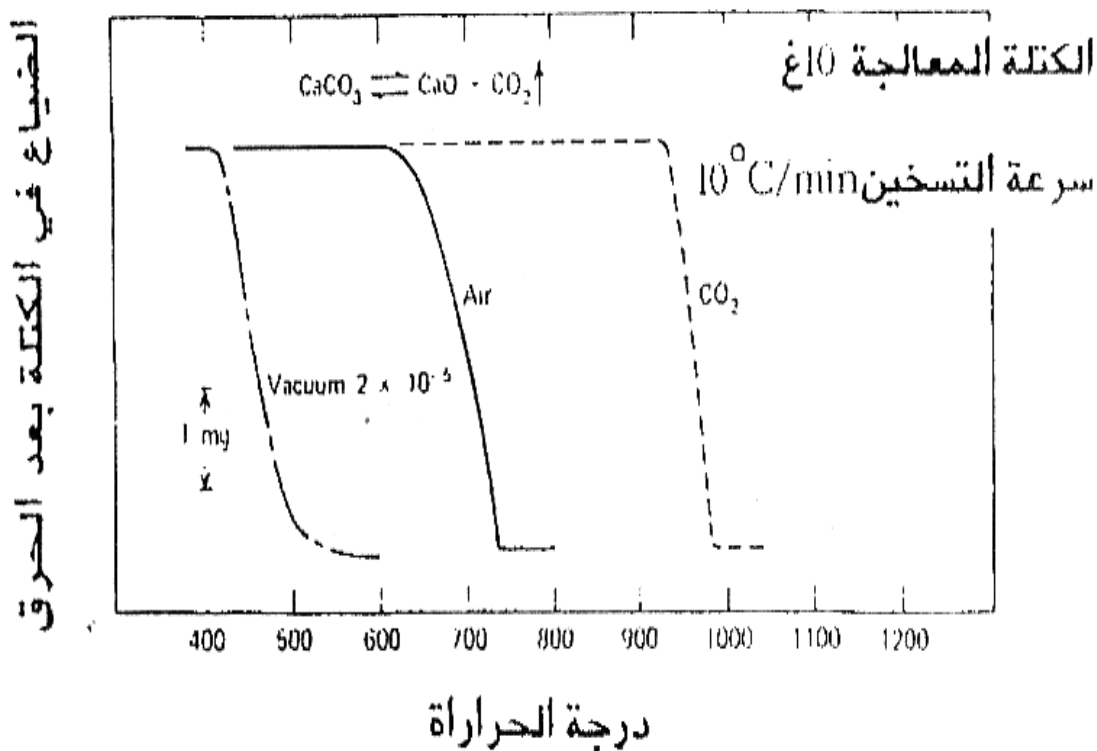


، م لتف اع ل ب ه ن اولة م ال خاضال ق وينتلع عطيني غا نثلي أو يي هل لثو ابون ( $\text{CO}_2$ ) هيشل نار حنرارة ، وينتفاع ل م أو يي لك بريت جند درجات خرا رة طينة نيفيا ( $T \geq 95^\circ\text{C}$ ) عطي ك بريت من الخفاة ألس اسري في صرنا غي ج بس ول خ فوق الم عدل فلك يي اية [24]:

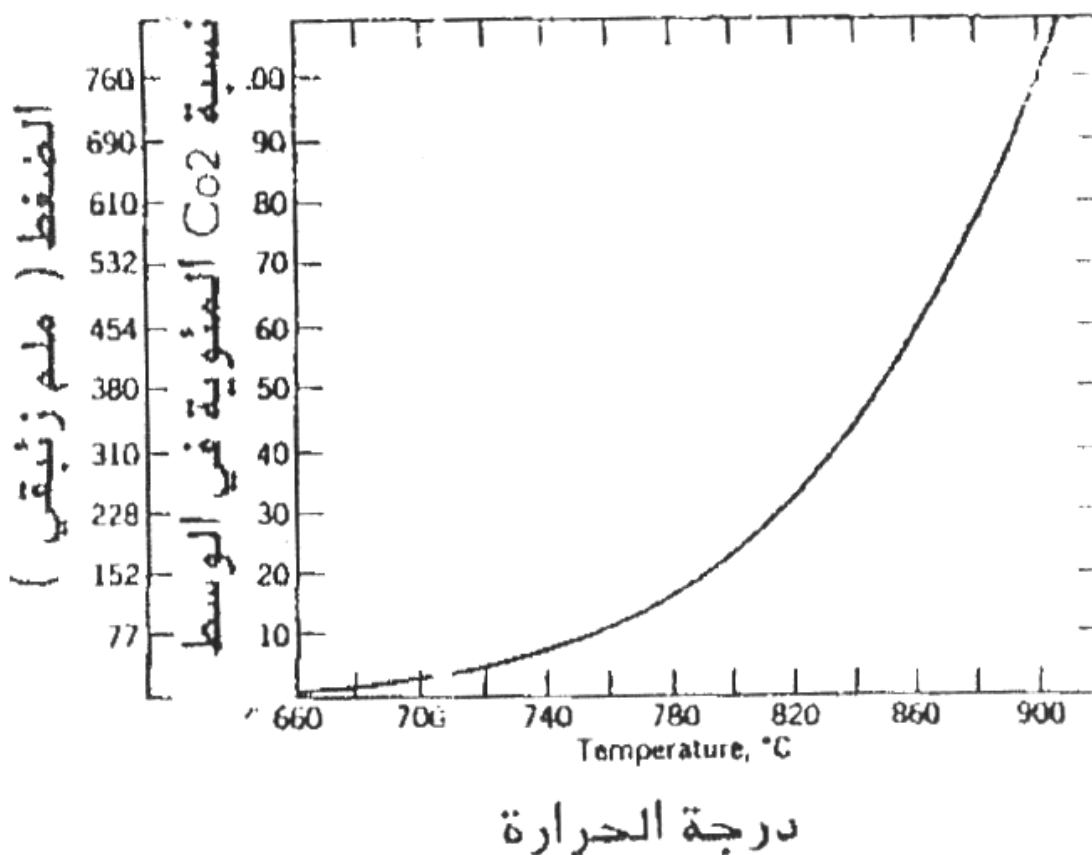


لكل سنة

يتم تسخين الكلس لدرجة حرارة عالية ولزمن نيت فيكون الخبيث غني انثولي أو بيبل لثوابون CO<sub>2</sub> للثيس CaO لكل 9 Kg من الكربونات حتى اج النى وذن قن دره 9.9 MJ، عند درجة الحرارة T(c) = 122°C [28]. إن درجة حرارتك كنخ الون زمن الن لازم لنخن وتب طب عدة عوامل، من الاصل ووسطالم بي طب الم ادة لم عل جة (CaCO<sub>3</sub>). بحيث أنه لم اقل ضغط CO<sub>2</sub> في الخ وال بي طب ان ا، لم، لت درج مختلفك خ T(c) ال لازم لتل خ ول بال ووسط الذ بي حتى و جل نى %922 من CO<sub>2</sub> و عند ضغط يه او جل وال ضغط ال جو و غ إن: T(c) = 990°C، ودرج مختلفك خ بي ال اواء T(c) = 922°C، أما ا، ان ضغط الخ ان خ فضا انثلا عند P = 2.10<sup>-5</sup> Pa إن درجة حرارتك خ خ فضا لنى T(c) ≤ 500°C [29].



لش كل 8-I: بتلورن وعل ووسطالم بي طب الكلس لدرجة حرارة خبيث حتى وذل ع ال خ فضا لنى درجة حرارتك ككه [30].



لشكل I-1: تأثير ضغط وتريز  $CO_2$  في درجة حرارة تفكك  $CaCO_3$  [24].

يبيّر الشريك الـ (I-8 و I-1) أن غرر  $T(c)$  دال أنقل وسنطال من بيطال كاربونات وتثوير ضمن غط غا  $CO_2$  في درجة حرارة كل من عمل على تريز.

يمكن أن نجد من بيّنات عوامل التثري في درجة حرارة الكلفة الكثافة الإنتاجية في كاربونات وأعداد صيبتان الأولى، حيث وجد أنه، لما، لتلك الكثافة أقل لم تكن في صال الزمن الارتفاع في كالك عند درجة حرارة تثبتة.

#### I.6.4 أبعاد الكالس يوم

هو عبارة عن مه حوق بيضي متخل صرب لوسطة عملية تهجين، اربون اتلك اليوم  $(CaCO_3)$  يندخل في صرعة الإسرة، في ادفس اسرية [24، 31]. ونظري صرعة الزرع يلج ختان لوانه [32، 33، 34] والرخاس والنفذ [35]، كما يتعمل في أضمن طن يت صفي في قال حيند، حين يثي ضنا إلى في حال حين مل مصرن اور

لصنع لبرون أو يهد الي لي يوم [36]. إضفة إلى أن ه قادة حرارية مافة حطوي نين رهن التي قات  
الصناعية [24، 35، 37].

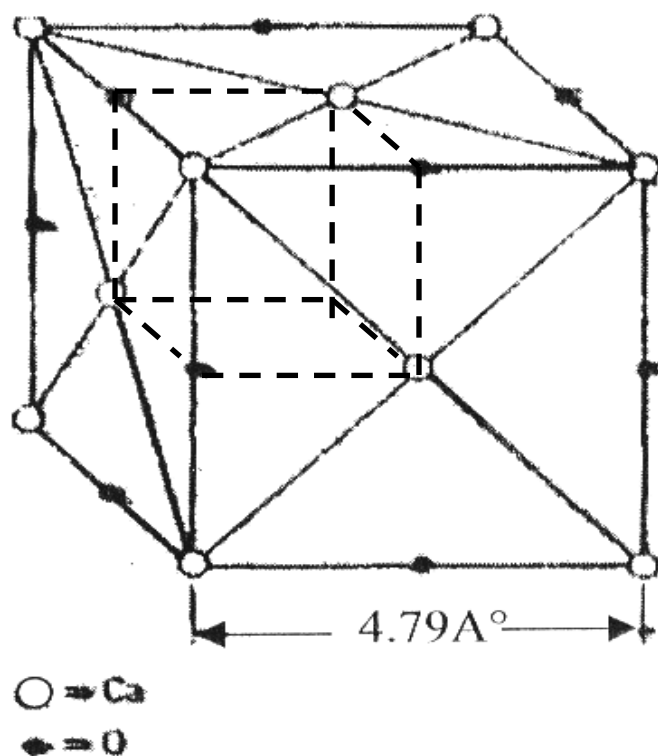
يتعبر الكلس (CaO) مادة غيرة تمقورة ي يطي، حيث أن هيف نل نال من اعبه نول التي عطي ناءات  
لك اليوم، حيث أن ه ال نيرقكون أميضا من الكلس [24].

### أبيته

ن إبان ورق الكلس عارة عن نيفتين مك عتين مم، زتي الوجوه نل نين (الشكل I-16)، إجم دام  
لك اليوم ال نرى لا ون نين ب نل رة أو ن نين إلى رة، اليوم أول اع لئ سن ح نون عن ن نيفكة  
مك ع ب ه يطة (SC) ل ع هين، ل نين من نفس النوع ي ه اوج  $a = 4.81 \text{ \AA}$  [24].

### ب- خواص مولي كين كية

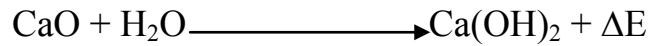
نتترا وقه اوتة ملين 0 و ع ل كس لب موهس، م عاملت مدده ل حرار ح نون ج د ب ن نيق در ب ح ولي:  
 $0.14 \cdot 10^{-6} \text{ } ^\circ\text{C}^{-1}$  وهذا درجات لحرارة لحرارة م ح صورة من  $T = 0^\circ\text{C}$  إلى  $T = 9922^\circ\text{C}$  [24].  
درجة وانه لعية جدا  $T(f) = 2625^\circ\text{C}$  [38].



لشكل I-16: بني فاخ لية الأولى لأوكسيد الكالسيوم [39].

## ج- خواص الكيمياء

إن لب خصري تقيتا باا أو ،يذلكاليوم متوقاعله م لماعف عإضاة لماءل فإن يعطي ماءات  
لكاليوم وحرارة ميده تقيشرة فوقالمعدل تلكاليوة:



$$\Delta E = 16 \text{ cal/mol}$$

يقتوننات الفاعل عئارة عن منحوق و عئينات قئنة خداوي رجن أنخال يسررة الفاعل والظونة  
العالية الباتجة منه مبرهت مسواسية أثسلك بالإضفة ليقاعله م الأحماض قوية ،لتأمض عئبة.

## 5.6.I. أل نورثيت

يعبر الأورثيت مرينفلسرسي، عئث اللحيون من سئيكات ألل يوم ولكاليوم (من سئنة  
لبال عئو، لاس (Plagioclase) [40]. وفو مرينب، ادر سئبال شور عئت سئنة .930 فئن فر اللوب  
ROSE واضواحي عئنة لبلا لظالية [41].  
إن، لمة لأورثيت مشققة منلكماليون لئنة "Anorthite" [42] والتي عئ عئل (Oblique) فنظمه  
البلرج الثاني (Triclinique) لصوغ لئلي عئاي لئل لأورثيت هي  $\text{CaAl}_2\text{Si}_2\text{O}_8$ . لونه عادة عئكون لئضا  
أو رمايك قد رص لا تدب لئلي 6 GPa إلى 6.5 GPa ، ملق در سئقت لئضا لئلي  $0.94 \text{ g/cm}^3$   
[42]  $2.76 \text{ g/cm}^3$ .

يملك تشكيل الأورثيت صنف عئ عئ وين قن حق خلن ط فوادأل و عئن لئليكية و مرينات ، اللويوية عئل  
، ابن اتلكاليوم، يدر وأ ،يذلكاليوم، وأ ،يذلكاليوم.

يختنا الأورثيت تبقي او فئة عئ دقل إجل ادال عئ رارج، أ ج أن مع اعقت قدها ضئ عئ ، قئ أن سئقت عزل  
الك لئلي ضئ عئ، قذ لئلي ولئل اللاس عئ اللقي لئل اللك تر و عئ انتبي لئور الأورثيت فنق لئل ج لئنة  
(CaO-Al<sub>2</sub>O<sub>3</sub>-SiO<sub>2</sub>) م حصو رفي يدان م حدوب خم سئن قاوت حول لئليكي، لئنت عئ ردر ج نال خ حرارة  
في المجال (9490-1170°C) [40].

## أ- بليني ثلثيوري

يحتا الأورثيوتسببون بقل وورين ثا الثينة اليمنل أوسداسرية [43]. ، فيلتين و خودن و عيقل درن بليني نين الأورثيوتس لبقل من لثين ثلثيوريك c يواج  $14^\circ A$ ، الأورثيوتس خلية بلينيطة (P) ال خري و خلية ممر، زة لجمب (I) لالفس الأعلق رها. الأورثيوتس P هال ثوبلت الشوكي تلك الية [42]:

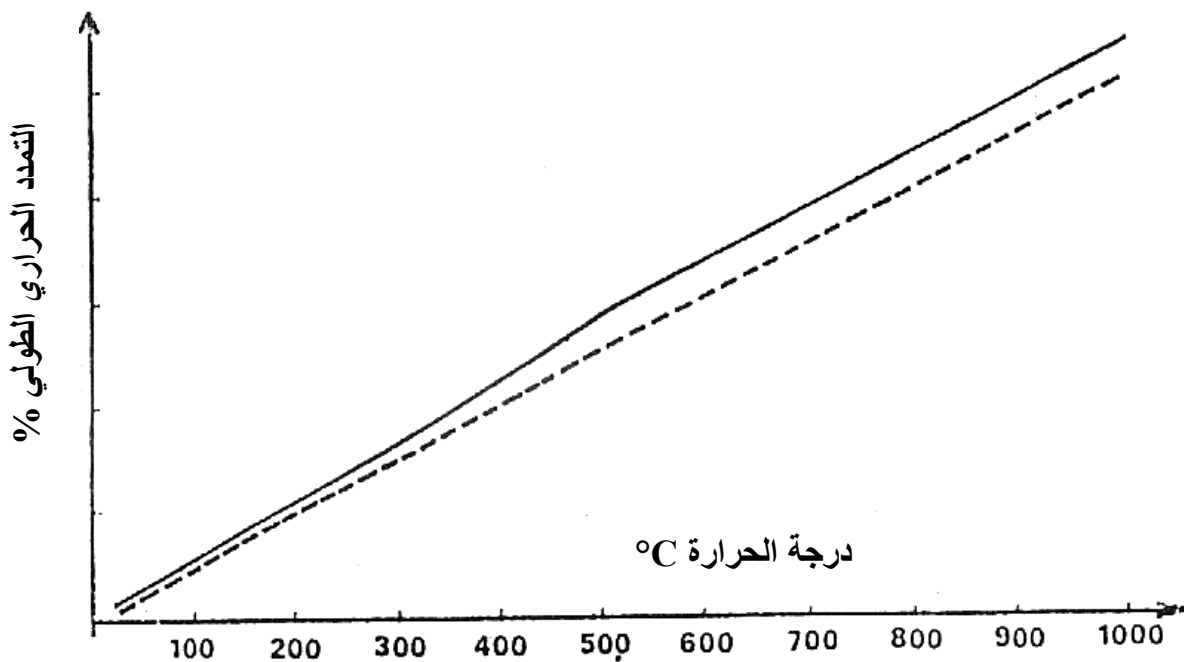
$$A = 8.177^\circ \quad b = 12.377^\circ \quad c = 14.476^\circ$$

$$\gamma = 91.22^\circ \quad \beta = 115.85^\circ \quad \alpha = 93.17^\circ$$

تخروج خيل لثيوريك P لثين ثا انثرترينة  $Ca Al_2 Si_2 O_8$ ، أجن ثعش نر موطن بلينة الوخوه نين زة عيقل عضن ال عضل وورين اي لثون تموسن طالب بليني مرقز الم خيب و رات الأوكسجين (T-O) مه ايلق رها  $9.4^\circ A$  في ثمالية مواق راع عي قومش غل بذر انثل مل ييوم (Si) أمن لثي ثمينة ال ثقي فيك و نتموسن طالب عد (T-O) مه ايا  $9.941^\circ A$  ي كون مش غل البذرات ال بلينيوم (Al) بين ملتق و ع راتلك ال ييوم عل فراعغات غير منتظمة م حصور قنين عش نر رات نين الأوكسجين، لثين نت و اجد ال بعة الأور جوار عل صعد  $0.4^\circ A$ .

## ب- خصائص الأورثيوتس

يحتا الأورثيوتس صلب خصل قواومة الإجهاد لحرار ج ثبلت عزل، ايلاي ضعي، من لي ثقا يأض لبال ال دة العلية وقواومة التآ، لل لثي يطي و م عملت مدد حرار ج بظب و ضعي، جين ثتن راو و يمينه ملين  $(6.5 - 4.5 \cdot 10^{-6})$  (لثك ل-11) [43] له، تالنة ح مچن ثقق درين والي  $0.94 \text{ g/cm}^3$  ورجنة خرارة استعم الف ي حدود  $9442^\circ C$ ، هذل خصوئل ت جعله واحدا من بين ال مرببات ال مامة صن اعيا.



شكل I-11: منحني التمدد الحراري لـ [43].

### 6.6.I. مخططات اتزان أطوار

ألمنظام:  $\text{CaO-Al}_2\text{O}_3\text{-SiO}_2$

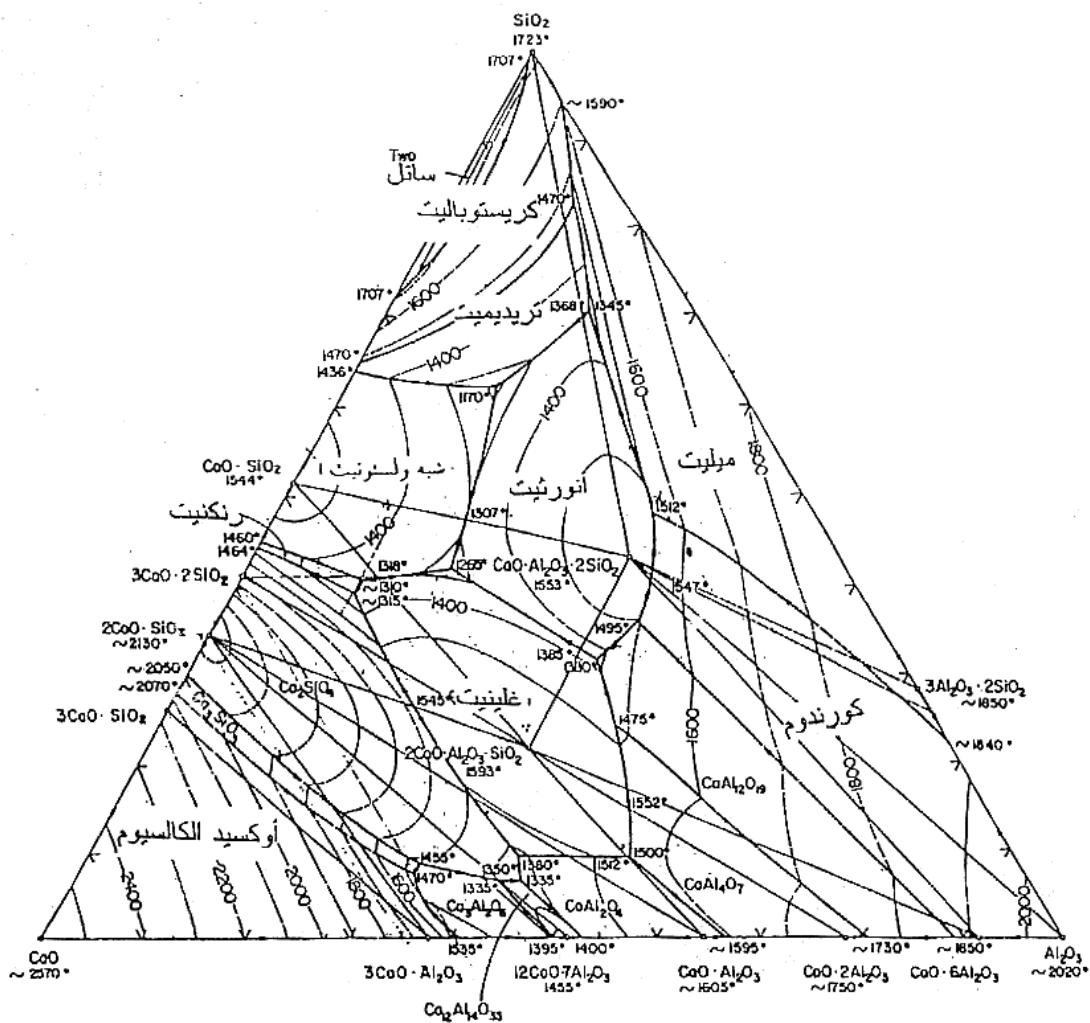
تستعمل هذه المخططات من أجل وصف المخيطات في الأنظمة الثنائية والثنائية والثنائية الثلاثية. ونيت عمل مكننا خاضعة لتقني صرفة

الخزفيات حيث نجد 94مر، باي هيدروكسيد، قالكعشر مرربانتفخ، و خمه مرربانتق صار [44].

و  $\text{CaO} \cdot \text{Al}_2\text{O}_3$  و  $3\text{CaO} \cdot \text{SiO}_2$  و  $\text{Al}_2\text{O}_3 \cdot 2\text{SiO}_2$  و  $3\text{CaO} \cdot \text{Al}_2\text{O}_3$  و  $3\text{CaO} \cdot 2\text{SiO}_2$  أمال مرربانتالي

تفخاي:  $\text{CaO} \cdot 2\text{Al}_2\text{O}_3$  و  $4\text{CaO} \cdot 3\text{Al}_2\text{O}_3$  و  $\text{CaO} \cdot \text{SiO}_2$  و  $2\text{CaO} \cdot \text{SiO}_2$  وأب ما يميز ذلك جملنة

هيال مرربالثالث الأثية مثل الأورثيت الوصي غلأي هياي تلك اليه:  $\text{CaO} \cdot \text{Al}_2\text{O}_3 \cdot 2\text{SiO}_2$ .



شكل I-12 الراس بيلياني لإتزان الأطوار لنظام: [44] CaO - Al<sub>2</sub>O<sub>3</sub> - SiO<sub>2</sub>.

### بالم نظام SiO<sub>2</sub>-Al<sub>2</sub>O<sub>3</sub>-MgO

ي يعينر هذا المخطط ثنائي المخطط البالي في الأهمية لشكل I-13 (تضمن أهميتين في وعينة ال مرات التي عطفها المثلج الالويين وأو، يدل مغيولي فورسيت والفين للال مليات لوكودييت، على مراتتها بدرجة لصل الاليفاي أسال عي من لحراريات. مزيجين أب هذال مراتنا ج:

**1 الكوديرييت**

صنعت للكيويطينة ناعية أي:  $2MgO \cdot 2Al_2O_3 \cdot 5SiO_2$  يذوب بصفة غير متوافقة في المصقول المصقول  
 $1465^\circ C - 1355^\circ C$  م إعطاء مليات [44]، مليمكن أن يتواجد في بيئته السريعة في ع رطبي هذا حالة  
 بالاشدالي لتأج يملخ مق اومة محذقتك غير اتلحاراري الفماجة.

**2 السابوين**

صنعت للكيويطينة، ما يلي:  $4MgO \cdot 5Al_2O_3 \cdot 2SiO_3$  يذوب بصفة غير متوافقة عند درجات حرارة  
 أعلى من  $0222^\circ C$  م إعطاء البينال.

**3 السابينال**

ورقو مرقق بشقاي صنعت للكيويطينة ناعية أي:  $MgO \cdot Al_2O_3$  يذوب بصفة متوافقة في المصقول المصقول  
 $09.4^\circ C$ .

**(4) ال-ملييت**

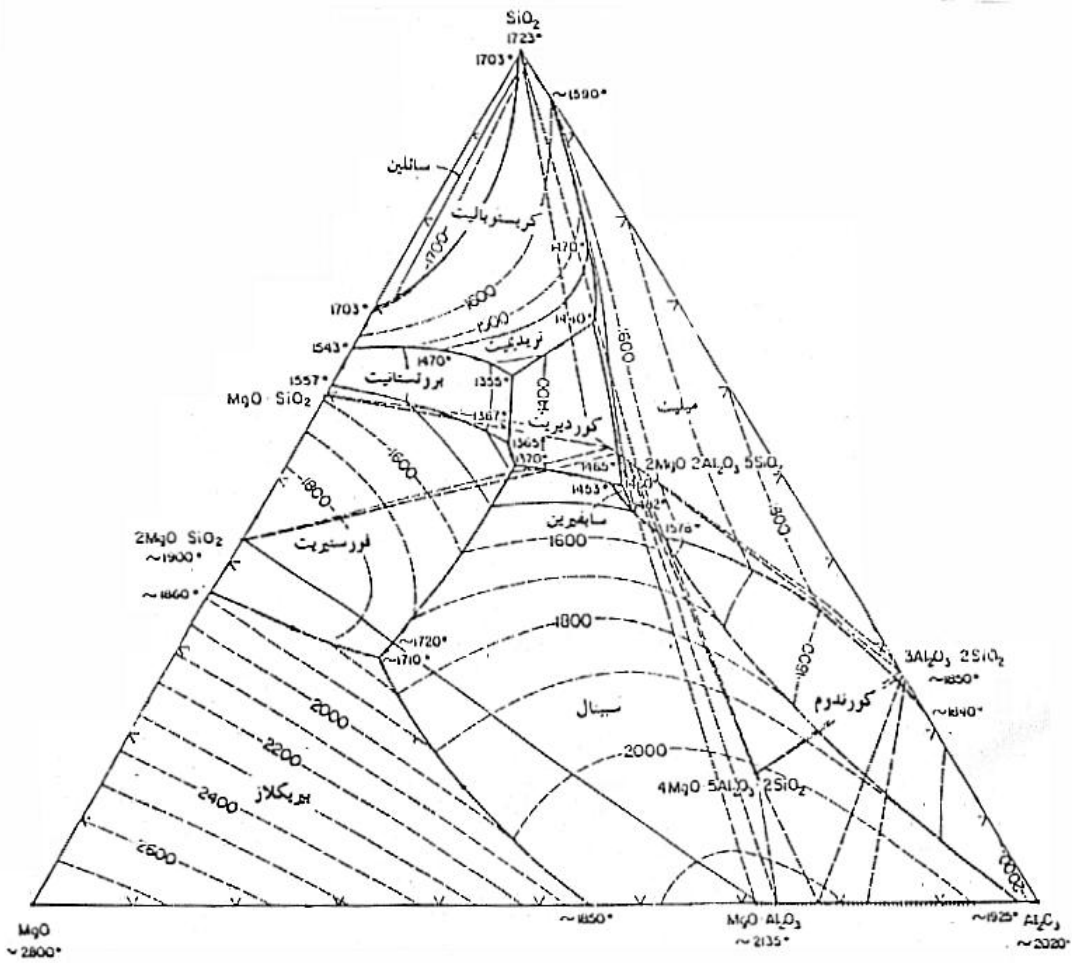
صنعت للكيويطينة، مليالي:  $3Al_2O_3 \cdot 2SiO_2$  يذوب بصفة غير متوافقة في حدود  $9391^\circ C$ .

**5 الفوستورييت**

صنعت للكيويطينة، ما يلي:  $MgO \cdot SiO_2$  يذوب بصفة غير متوافقة في حدود  $9312^\circ C$ .

**(6) ميتسل كاتال م غنزيوم  $MgO \cdot SiO_2$** 

يذوب بصفة غير متوافقة في حدود  $9449^\circ C$  م إعطاء ألوستيرييت.



شكل I-13: مخطط التوازن الأطوار لنظام:  $SiO_2 - Al_2O_3 - MgO$  [44].

### جملن نظام: $SiO_2 - CaO - MgO$

يُمثل الشكل I-94 مخطط الألوار لاندالن نظام فيخوج على 9مر، باي هيطي انقب فذهال مريبات نفي

[43]:

#### (9) الديوبسايدي

صيغته هي  $CaO \cdot MgO \cdot 2SiO_2$ ، ما يلي: ليق بلورية أحيائي ميل، ودرجة وان قدر

بحوالي  $9412^\circ C$ .

(0) ال-مختسليوت

صلي غللاي هيلة ، ما يلي:  $\text{CaO} \cdot \text{MgO} \cdot \text{SiO}_2$  ، لمبيقلوريه معنوية.

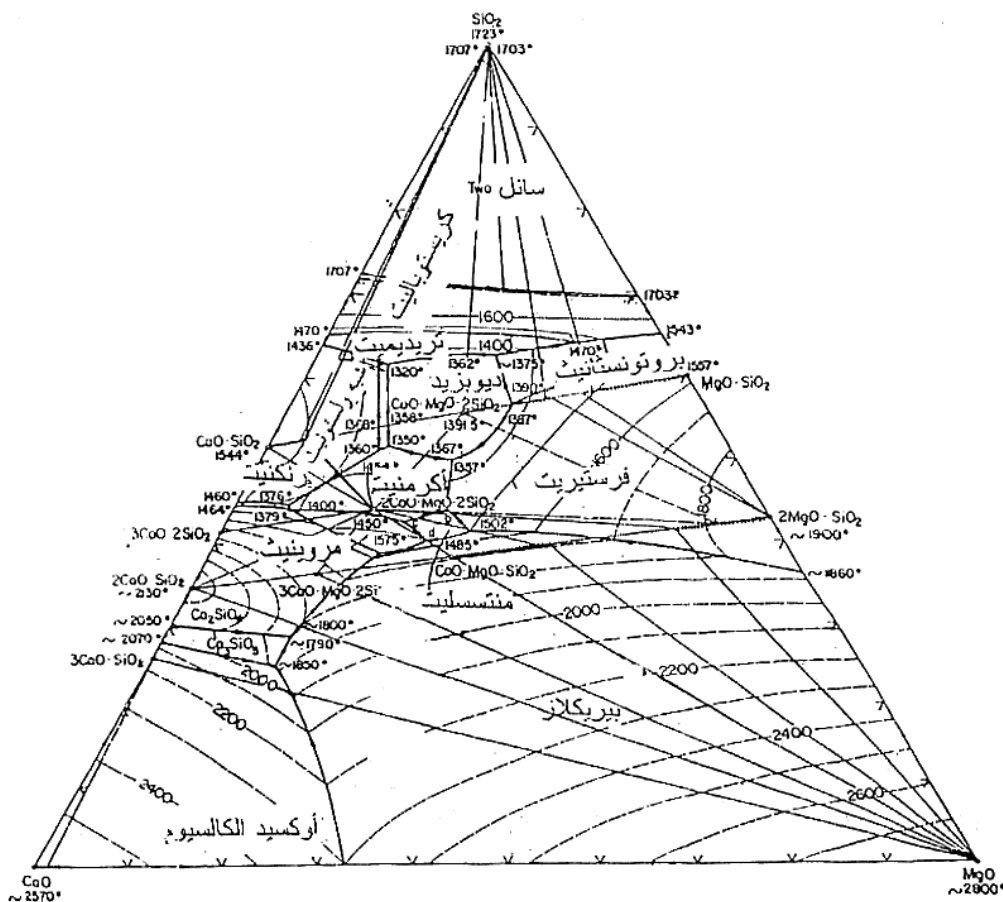
(.) الكرميوت

صلي غللاي هيلة ، ما يلي:  $2\text{CaO} \cdot \text{MgO} \cdot 2\text{SiO}_2$ .

(4) ال-مرونيت

صلي غللاي هيلة ، ما يلي:  $3\text{CaO} \cdot \text{MgO} \cdot 2\text{SiO}_2$ .

بالاضفلةلى مربات أجي لبتيبالطرقإلي١١.



شكل 14-1: مارتسايبلياني لإتزان الأطوال لنظام:  $\text{SiO}_2\text{-CaO-MgO}$  [43].

## الفصل الثاني:

عموميات حول الأثرية (الشريعة) (ولحوامل

## II- عموميات حل أل غشيرة ولحوامل

### 1.II. مقدمـة

لقد هلت شاف عم على قتر شري حواس طة أل غشيرة (الشرائح) في القرن الثامن عشر مقبل حين أوتون نوليه (Abbé Jean-Antoine Nollet) في عام 1735م. ومع ذلك فإن التطور الصنعي لتقنيات الأثرية لم ييسر حل ألفي سنة 0691م بواسطة فلبي زالم يزل غشيرة (وسنة 0691م بالسرقة تقنيات لتقال الم ح اليل، حي يثق ص ب طي اليز العملي في تكتك ز على فو ذل سواى ل عبر الأثرية عن طريق ظامرة التشال غر ضف ص لب عض ل لم كونات [45].

لقد عرفت طية تقنيات أل غشيرة في م عالج الية الم لم ت عمل قن زي داسي عام ع تطور الأنواع الية من الأثرية المركبة غير المتناظرة من طرف لوآب وسوري رجان (Loeb et Sourirajan) عام 1960م [46].

إن ازي الست عم ال هذه أل غشيرة في م عالج الية الم ا ه نكج من عوامل تاجارية ومجطية لك أن زيادة الطب على ال ماعل شروب استعدت استغلال هيدع الية ذات النوع لردية طينتكون هذ لك تقنيات غير لغلية لوكلفة.

تعم بتقنيات أل غشيرة على فصل الية في التي ثلاث طلب بضاة المركبات الية طية لك يتضرر بالمجط و هذا مي يؤدي ل طضاة قطة أخرى م عالج الية الأخرى [74].  
ت غطيت تقنيات أل غشيرة هيدل ا بس ع في م عالج الية الم مثل: نز ع ل ج سري مائل ع القة و أ ل ج س المي ك روية وال مواد الية عي طوع وضوية ومختلف الية.

إن محدودية سابق عم التقنيات الأغني من هكج من مشقلة التقل رالتة دي جي لتحق (الفافية). هذا التقل رة رفة الية هكج وال مردوية الفصة الية ذل تقنيات [74]. حجة بعين تال واسرة الملت ج رية أن تقل رالتة قن تك ل س اسها من طنة اهيين: طة امرة السبق طابلكة ي هي عارة عمن طة امرة بلكة عكس قية وظامرة الإنسداد والتي هي عارة عمن طة امرة قير عكس قية. إن طة رة ان سداد الأغنية تك مفة ي طي عين التي نفع الية الأول يتمثل في الإنسداد على سطح ذلك عن طريق طة امرة تشبة نعال غزاز أول سقل على سطح الحس المصل بوكذا ظامر تك بين طبقات الية. أم البنية التناهي تتمثل في الإنسداد في عمق ذلك عن طريق طة امرة سد لم سة امرة التناهي في عمق ملامحها. إن تقل رالتة قية الية نة النة م رية والنضارة ل عكس قية يرجع إلى طة امرة السبق طاب وظامرة الإنسداد على سطح، بالقبلة لفة إنفة الية المي ك روية والتي ية المي ك روية هكج في مكن إرجاعه إلى طة امرة الإنسداد في عمق [74].

سيتنوك زال بواسف للذفصل حول تصريف الأغشية وتطبيقات ظففي مجة التقيوة اليه اه وبمعدأ عمل ةا ومظفأش كل اوكل لكب عض خواص ا.

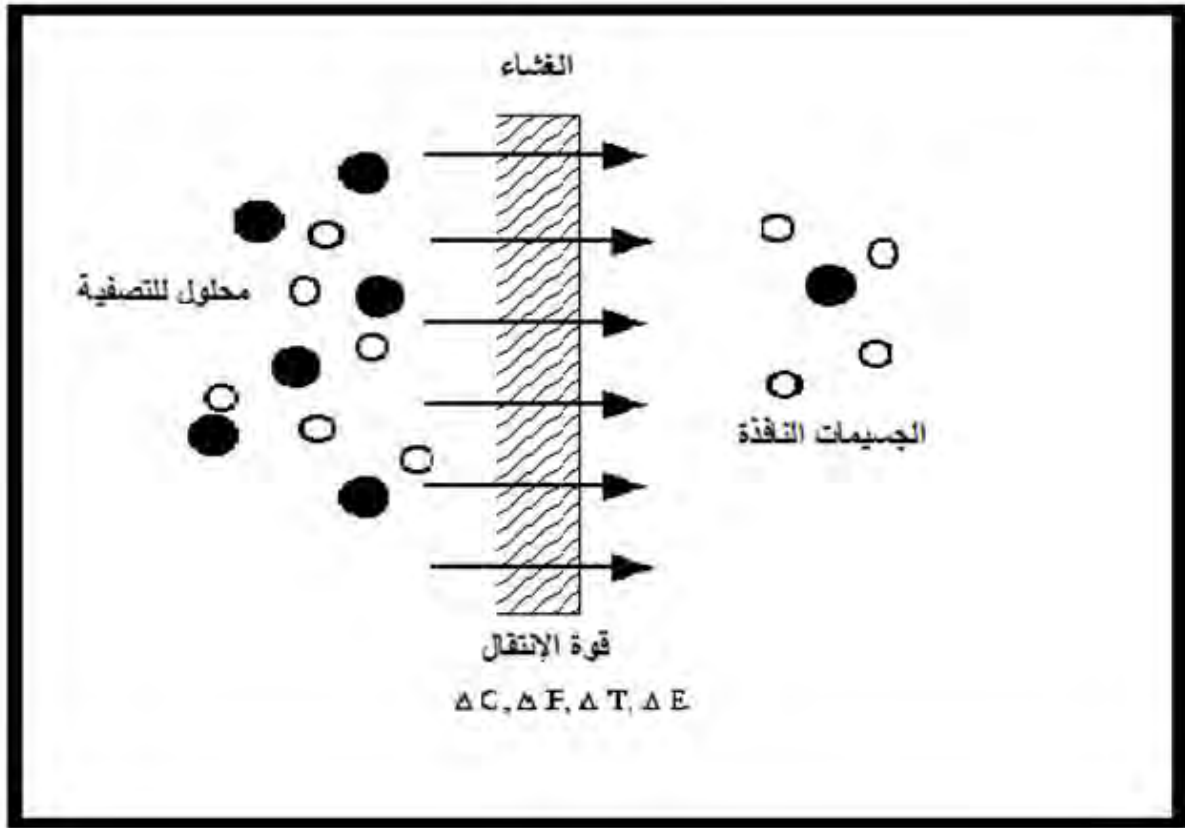
## II.2. ع-ري قلت رشيح

الترشيح هو عملية لال فاحسري مائل طلبة الة فيقة أول من حل في ال سائل وتكبتمريرة لبعر غشاء نفوذ أو طبقة ذاتفتح انضغيرة [105]. إن احدى بلقوي المائل ساسري في ال صناعا تل لفي يطيءة، جي أنل ةا تطبيقات عيدة من امع لجة ال ياه على وجلل خصوص.

## II.3. عري فلل غشي ةوممي زته ا

### II.3.1. عري ف

يملك واصل فلي اغشاء على أنه بعةارة عن خاجز ذاسم كيتقرا و كعب عض النمةا من النةق مترل على ب عض لمل يبقرةا والة ذبيسة م حياقك أو تمريرة ب عض الأصناف من لاجس قما تبقي ال وسة طي نال ةفين يفصل م كحتف أيرقوة الإل تقال [50] (للكل II-1) [52]. ليملك تنعفه على رة بعةارة عن طبقة رقيق ص فنفوثةل كعب دورال خاجز اللق قئي الة ذبيصي صةال عاصرة ال مذبةة و عيرة ال مذبةة كحتف أيرقوة لفي يطيءة قائلوك يز... (فوي زيطيءة) لضعط. على ل عموم ال عاصر التي ك ونبأ عاده اقل كنبأ عادمسة امات ل اغشاء يملك ا أن تمرب م كحتف أي رال لضعط مطبق على لبي مة ال عاصرة ولج زبةا تلك ةي ك ونبأ عاده ا أكبر منبأ عد مسام ال عشاء يملك يلقف ا من طرفل اغشاء [105].



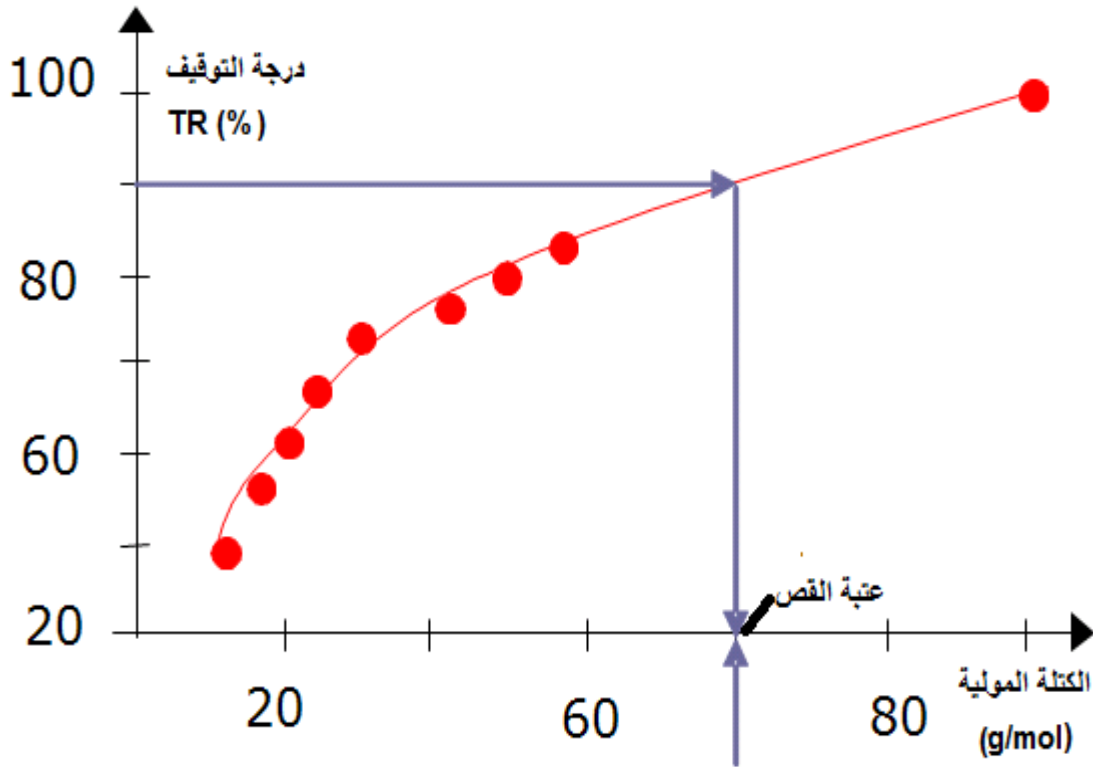
لشكل 1-II: رسم توضيحي للغشاء [02].

### 2.3.II. محيزات-ا

تتميز الأغشية بخصائص رشيقة من قاء: عبءلقة رنوسة الإقوية إلى شحن قالك رعبءل مسام لاسطح وأعالل مسام و...الخ.

### 1.2.3.II. عبءلقص

تتمثل عبءلق ر (Weight Cut Off: WCO) الكلك للمولة أالصغر لاجسيمات التي يتم إقاف قان قبل الأغشاء [74] بتعلق عبءلق رباش رقبأعالل اجسيمات وكذالك عد مسام الأغشاء بتقاة عبءلق ر بوحدة القالتون. (Da=1g/mole) بقة إلى حالة القالتية من حقتن سقبة عبءلق قاة الققل حقتن 65 % (شكل 2-II).



لشكل II-2: بتغيرين بةالتوتري فبال لظلت لة الوهمي ظي عرض لاجسري مات [54].

### II.2.3.2 سبب-ة الشقاي-ة

لتقوية غشاء هيل قدرة على بي عاف أوت مية رال مح الي دل بعة ره فلة كحسة تكتل ةال مولية ة. كحطي مكفن  
ت عي فببصلة عام على أنزل سب ةالتوتري فلل عاص رال مادية ( أملاح، جزيئات م الكروية، جسري مات ) [55].  
وت عرفبال معامل TR(%).

$$TR(\%) = \left( \frac{C_0 - C_p}{C_0} \right) \cdot 100 = \left( 1 - \frac{C_p}{C_0} \right) \cdot 100 \quad \dots \dots \dots (1-II)$$

$C_0$ : بلكي ز الابتطال لم حل ول.

$C_p$ : بركي ز الخن صر في لام حل ول المرشح.

### II.2.3.5 لشحن ةالك ورس تاي ة

ع داس ت عم التوتري ات الأغيثة لتطير ال هي اف إن بةال فراغ ال غشاء هيل عامل الأساسي لام س وول  
في عم ليفتصل عاص رال مح ول [06]. بال م طلب إن عم لي قلوبق ي ال ف ع ال تي كة ون في ةق طة ل فراغات الكبر

منبأ عدالجسيمات من 2 إلى 3 مرات. هذاجسيميكت حملشحنات ذاتإشعارةمعاكسشحناتفراتخات  
[74].

### II.7.2.3 المساهمة وطريقة حسابها

يتمقيمة المساهمة المرشحةحانتبواسنطةجهازخاصيقدمعجهازقيمةالفراتالنيمة  
(porosimètre à mercure)، هذايقومتسدمجيمعفةظلمسةالقيمةيالحنات ونسطةطقظلالفرات  
المفتوحالتيميكن أنتصلبلعادهاضى 0.5 nm [57]. بما عمل هذاالجازي بمثلأساقاعلةيخاصرية  
مادةالزيككونه لايلدلالموادالتيةيوضعةعليهتوضعةعنمسةالقيمةوعامةهزئةقيمةإن هذا  
الأخير لايتوغلفي مسامتة البتطبيقض غطمحن. قد أعطيتالعلاقةالضغطوبالفراتحن  
قبل Washburn

$$P \cdot r = 2 \sigma \cos(\theta) \dots \dots \dots (2-II)$$

حي: P: الضغط المطبق

r: نصف قطر المسام

$$\sigma = 4.94 \cdot 10^{-5} \text{ N/m} \quad \text{مقدار بلت}$$

$$\theta: \text{زويقالتمابين للزئبق للحنقفي حة الألونى مثال } \theta = 142^\circ$$

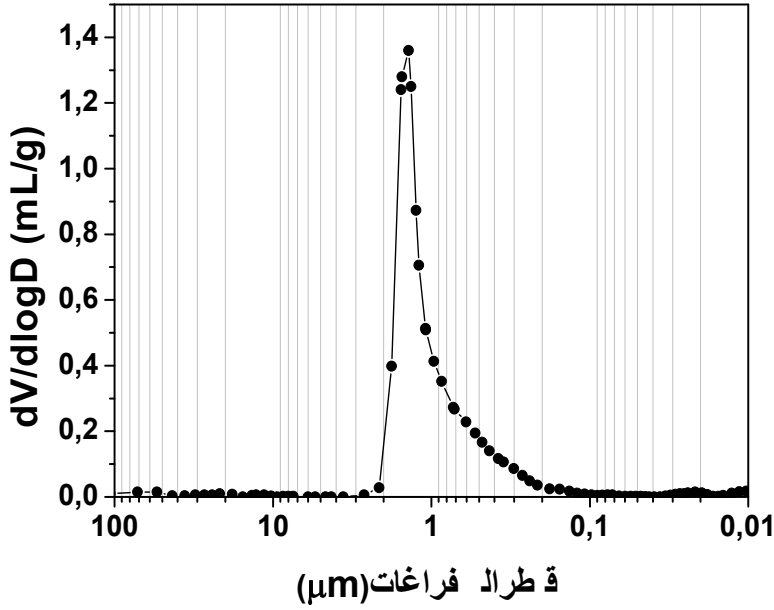
يتم معفة حجم الزئبق والذيتولغفةيفر اغاتالحن مقوي ةاسعةالعطفة (عمودالزئبقيةخلية  
القي) [52].

$$V_p (\text{mm}^3/\text{g}) = 10.18 (\sum \Delta C/m) \dots \dots \dots (3-II)$$

حي:  $\Delta C$ : التغير في رطل سعة وهي متب طبقت غير حجم الزئبق خال الكغ في رطل ضغط.

m: كتلة العينة.

الكل II-3 يمثل نمطوزيةالفر اغاتفي حنة خوية. كحلي عطية هذاالجهازيم عمل ومثل أخرى تحول  
الحن مثل المساهمة وتموس طقظلالفر اغات، يتالمحصل على لبواس طلق حاسوبالمصقول بجهازقي  
الفر اغاتالزيقي porosimètre.



شكل II-3: من مطبوعتي الفرافغ انفي عينه خوية [57].

### II.2.3.11- من فاذي-

فافي في اغشاء (A) هي خاصية نتيف عمل قبم اشريت راييه. عم لقي مكن ت عريه الفافاني من سوب قبين

التفق (J<sub>p</sub>) (فرق الضغطين جتول اغشاء) ΔP<sub>m</sub> [58]:

$$A = \frac{J_p}{\Delta P_m} \dots\dots\dots (4-II)$$

كما ي عرفه التفق J<sub>p</sub> على أن فالس بقبين حجلم سائل المرشح Q<sub>p</sub> وسطح اغشاء S.

$$J_p = \frac{Q_p}{S} \dots\dots\dots (5-II)$$

بت عويض ال علاقة (5-II) هي ال علاقة (4-II) ن جد:

$$A = \frac{Q_p}{S \Delta P_m} \dots\dots\dots (6-II)$$

عم لويك عين فافي في اغشاء لعمي للام متقيم J<sub>p</sub> دالة ΔP<sub>m</sub>.

### 6.2.3.II بثير درجتي حرارة فلين فاذا

يمكن اعتبار أن فاني في غش اعتقاس بعكس ما مغلز وجل سطل وهذا إذا تعبرنا أن درجة الحرارة في ل ت أي لير على يني في غشاء [58].

$$A_{T1}\mu_{T1} = A_{T2}\mu_{T2} \dots\dots\dots (7-II)$$

### 4.2.3.II مقاومة للاغشاء

يمكن تعريف المقاومة الهيدروليكية ( $R_m$ ) للاغشاء على أنها مقاومة جزيئات السائل بعبءه وهي تتمثل مقولوب في اذية [58].

$$R_m = \frac{1}{A} = \frac{S\Delta P_m}{Q_p} \dots\dots\dots (8-II)$$

بفرض أن مسام السائل غشاء ذات تشكال أسطواني فنل مقاول في غشاء أي يمكن التعبير عن بلقون (Poiseuille) المقاطع الية:

$$R_m = \frac{8\delta}{n_p \pi r_p^4} \dots\dots\dots (9-II)$$

حي :  $\delta$  : سملل اغشاء.

$n$  : عطل فراغتفي وحذل سطح.

$r$  : ن صقل ل فراغات.

بأخذ مقول وبال علاقة (7-II) حصل على في اذية [58].

تبي لنا مدهال القة أن في اذية قنتقاس ب طرداعن سبة ولع ال فراغت في ل غشاء بعكس ما م عس ملل اغشاء.

### 4.II تصني فال غشية

يمكن تصني ف الاغشية حسب يي عا م ختلفة من آل في فصل ويطعت فللي نية ل لية يية [74].

## II.4.1 الفصل

توجد المثاليات لمختلف صلات لحيق الخصلة والنوع لينة عصر الة ذيقمة شرقية لوقا فة من قيفة لاشاء:

الفصل ال ذبي عم دعل للفر قفي الأعداد و تخ ر كقل من القيق لقمي كروية (MF) والقيق لقمي كروية القيق (UF) وللايز (DIA).

الفصل ال ذبي عم دعل للفر قفي ذوي قوشة ارال عاصرة بعلة لاشاء و تخ ر كقل من فانيه ل غازات (GP) ولتناضح الكسي (OI).

الفصل ال ذبي عم دعل لفر قفة لاشة حجات لأواعل عاصرة الة ييقفصل ا و تخ ر كقل من نت ح لية الك بعلي (ED)، وللايز دون ان (DD) ف حسب ه ال اتي مكن تميز ال ث لواع من الاشيرة، الاغشية المسماهة، الغشيشي ال لامس ايهة، غشيشي ال تبادل الأوني [174].

## II.1.1.4. الأغشية المسماهة

وتشمل كل من التقوية ال ميكروية (MF)، التقوية ال ميكروية القوية (UF)، التقوية النة وبتريية (NF)، لئن ج دقم عول ل غولة والاحتكاكي ليمان دورا م الكني كزل قولى لسطح أتلعب دورا م ككذلك كما في التقوية النة وبتريية (NF)، يمكنت قسري الم فر اغتفي هذلاح الة لى عدق أسام [58]:  
اليفراغات لام الكروية ويكوزال ق طرفي الكبر من 51 nm وتشمل كل من التقوية الكروية (MF) والقوية الكروية القوية (UF).

اليفراغات الكروية قويترا و قطر ه اهلين 2 و 51 nm وتشمل القوية الكروية القوية (UF).  
اليفراغات الكروية وكوزال ق طرفي أصغر من 2 nm وتشمل القوية النة وبتريية (NM).

## II.2.1.4. الأغشية للامس ميهة

هذه الاغشية عجارة من أوساط لينة. حجة نتقم عمل قوشة ارال عاصرة فية من خلال الفراغات الموج و دقبي رال س لاسل ل جزيية لة اللق غشة اعوشة م كقل من القياض لة لكسي (OI) وفانيه ل غاز (GP) [58].

### II.5.1.7. الأغشية المتبادلة الأونية

أغشية التبادل الأيوني هي نوع خاص من الأغشية يتغير للمسامية [74]، حجة أن تلك عطلت تحت بمعداً فصلة الأيونات انقبضت لثرة حركتها [45] في تعلق أساسة من البوليمرات في مكثرات الحصول على البتةءاء من مركلات التبادل الأيوني ذات الحبات القوية جدا [59].

### II.2.4.1. في هاء حسيبييت هاء

يمكن تصنيف هذه الأغشية حسب بروتينات إلى أوعية أصرف و هي: الأغشية المتأخرسة والأغشية غير المتأخرسة والتأخرسة المرعبة لوالفي القم حوفة.

- الأغشية المتأخرسة تكون هذه الأغشية إما لثافة أو مساميته تملء كنفة البيوتة عفى كامة لمتعداد سم على أغشءاء [58، 60، 61].

- أغشية ذات سبييت غير متأخرسة حجة تتغير وة البيوتة من طقوة لأخرى [58، 60، 61]. يمكن تهييز نوعين آخرين.

أ- أغشية حاضرة من ف المادة.

ب- أغشية مرعبة: وتكون أساسا من بطقتين:

- طبقفة ال عمل مشك لثرة أو غشءاء رويق حءاء وة لك تعلق فة يتما بماشرة من على سائل المراد ترشيره.

- طبقفة حاملة لكونل اسمك وفأ القبر من سبقت ا.

تعد أغشية التلقيا كروية ولنف مرتيرة من النوع غير المتأخر ل أن هذا النوع مفافية على [57].

### II.1.2.4. الأغشية لمعانسة

أغشية هذا النوع هي أغشية التلقيا كروية (MF) وتتميز بظافة حقة من سبييتا [62]. كما أن هذا النوع من الأغشية عرض بسولة لظاهرة الانسداد والبال بيقل لمت عمل معين ما الأغشية المتأخرسة ألفتقر اس عمال هي الأغشية لثافة لك أن مسطيت بكاتكون رضءة [63].

### II.2.4.2. أغشية غير لمعانسة

لكمبشاف اسنة 0691 ف يتكون من بطقتين مرضوعيين فوق عضة م الة ععض (الشكل II-4)

حي أن:

-الطلق فلية هيترا و سمك ا ملين 011 و  $211 \mu\text{m}$  [62]. دورها هو ضم القوة الميكانيكية الأغشية  
[63].

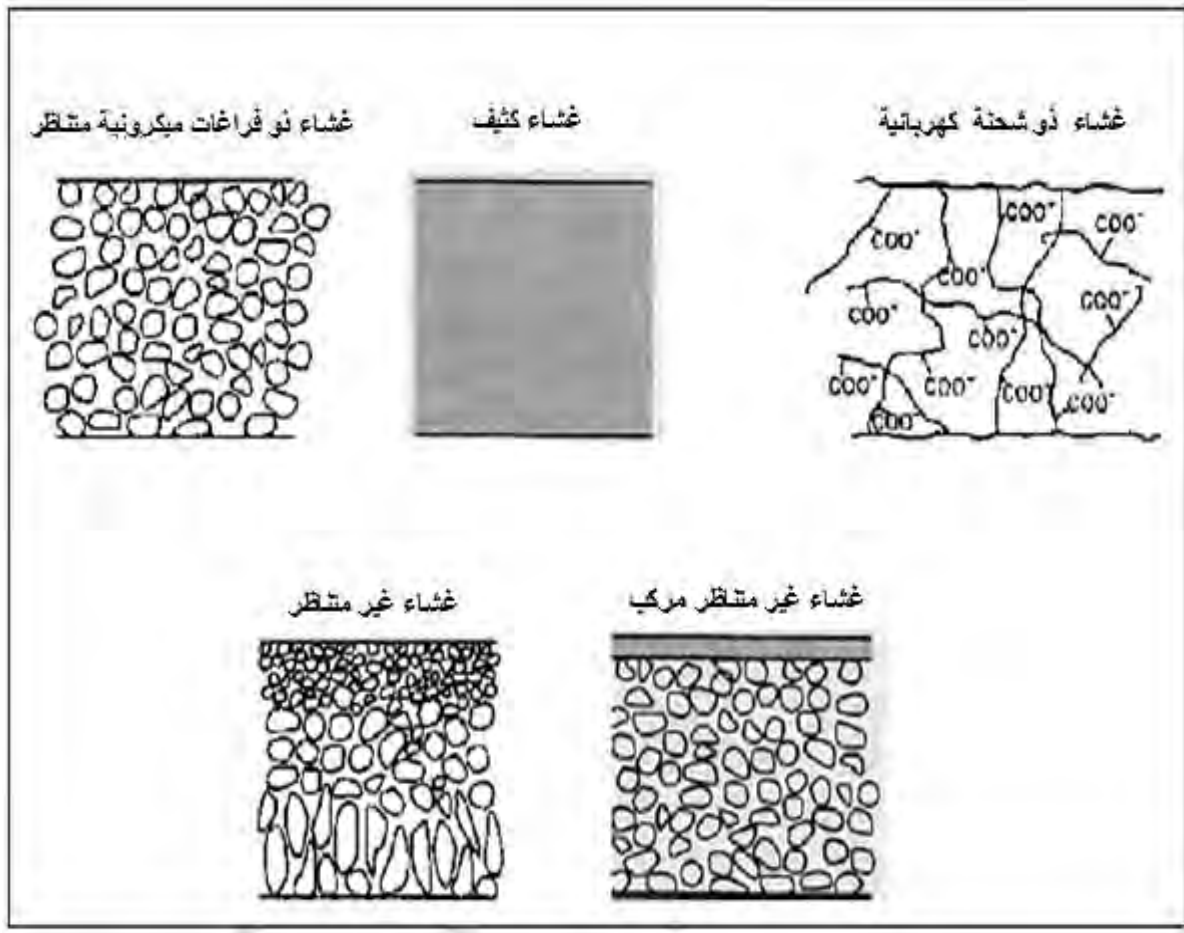
-الطلق قاعلية (تقوية جدا) هيترو سمك ا ملين 1.0 و  $0.5 \mu\text{m}$ ، حجة أن خصائص الترشيح ل هذا  
النوع من المرشحات (البيادية، التغطية.. إلخ) تتعلّق بقطر شرة الطلق اعلىوية. خصصة وأن فافية الأغشية  
تتقاس بعكس امع سمك ا [62].

### 5.2.7.II. الأغشية لركبة

ظرة رت هذه الأهنية قة يبطل قتلسة عينات وتنمية زببية غيرة بنة اظرة لة تكتة وان قشرة أو البطقة  
ل اعلىوي أكثر تقو متلكالي تملك الأغشية ل كالميكانيكية غيرة المرلبة، هذا النوع من الشريحية صغارة عن  
بطلقات مرض وعق و قعض اللي ععض حيت ختقل في ملين اس وافي البطل ع ل كالميكانيكية أولاح قللي زيوية.  
كلمليمكن أنتكون هذه الأغشية إما عضوية أو خوية [70] بت تطوير هذا النوع من الشريحية ب دف الزيادة  
في فافية الشريحية ل كالميكانيكية ذل كتبع في ضم سمك ال بطل قعالة الشريحية [62].

### 7.2.7.II. الأغشية ليلية المرونة

تكون هذه الأغشية من رلي بجمجوفة جي هيترا والقطر ا خارجي ل ذه الألبق ملين 51 و 011  
 $\mu\text{m}$  الي قطر ا داخلي ملين 25 و  $011 \mu\text{m}$  تكون بيوت ا غيرة بنة اظرة عمومها حجة توضع ال بطل قتل عالة  
عل طلس سطح ال داخلي أو ا خارجي ألبوب [62].



شكل II-4: رسم متوضيح حول بعض نماذج الأغشية [64].

## II.4.5.5 نيفها حس بشكلها

يتم تصنيع الأغشية حس بالمثل الذي صنع علي يد:

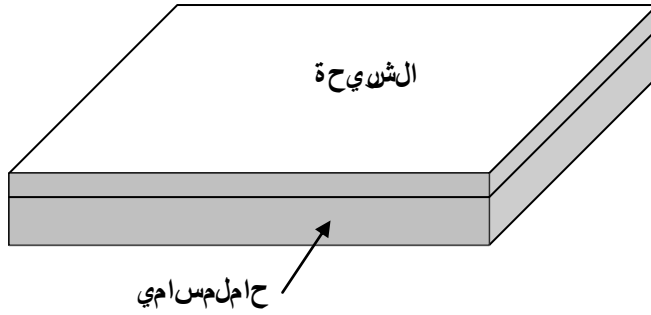
- أغشية مستوية.

- أغشية أسطوانية.

## II.5.4.1. الأغشية المسبوبة

يعد هذا النوع من الطبقات (شكل II-5) بسيط التركيب والمواد، حيث نجد على وشكله صفائح أحادية

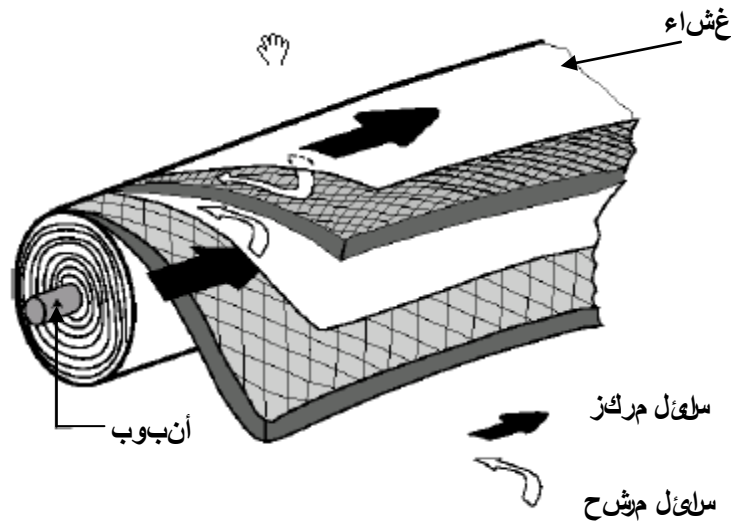
وألواح على هيئة مكبنة من عدة صفائح [57].



شكل II-5: كالتوضيح لبطقة متبوية.

### II.2.5.4. الأثرية الحزوية

في حقيقة الأمر هذا الشكل هو عبارة عن مجموعة من الطبقات اللينة ظلام سريوي تتطابق حول الأتوب  
يحتوي على فتحات انتقذ من خلالها المادة المرشحة (شكل II-6) [61]. تجتوض عين كل طبقة شبكة  
مزة ت عمل على خلق اضطراب انتفي جري ازال سائل [57].

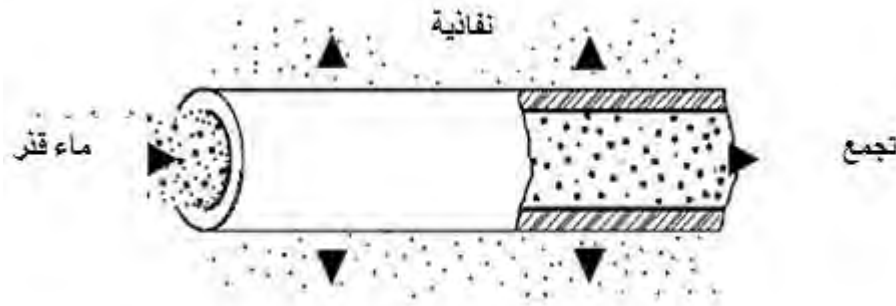


شكل II-6: كالتوضيح لالأغشية الحزوية [61].

### II.3.5.4. الأثرية الأنبوية

يتكون هذا النوع من الأتوب (الحامل) لة مسامية وفيه فتحة على شكل حبة تتوضع على طبقة أو عدة  
طبقات متتالية. كلياتهم اختياراً أبعاد هذا الأنبوب حسب الحاجة لأول مرة. أنه ليمكنه انصاف قطره

ص غير كل ظلت الطاقة لمبتلكة والظفل فنته الإنتاجية. يمكن تمييزه وعين من هذه الأغشية، رأبي بأحادي القنارة (شكل II-4) وأبي بتم عدل قنارات [57].



شكل II-4: شكل توضيحي لأغشية الأسيوية.

#### II.4.5.4 الأغشية الليفية المصنوعة

هذه الأغشية عبارة عن رأبي بيترا و قطرهما 1.5 و 2 mm في قنر يمكثن وضرة الطبقة في المرشحة داخل لي فسد لكال يف إن عم لظل قنر شريحي تكون من داخل لي فن حوال خراج فية يبع الأ حجة ان نجد عكة لكت ماما أي وضرة الطبقة المرشحة علة على سطح الخراج لي فسد لكال يف إن عم لظل قنر شريحي تكون من خراج لي فن حوال داخل [63].

#### II.4.7 مكنون فيل أغشية ح س ب طلب في كل ميوهية

تصنع الأغشية لطلاقا من مواد عضوية أو غير عضوية أو كليهما معاً وأغشية الأغشية القوية ضرورية التجراري قنر لطلاقا من مادة الهيليوم أو مواد غير عضوية بتوضر الأغشية فيل عضوي أساساً من المواد الخفيفة (مثل الألومين  $Al_2O_3$ ) أو كسقي الذرك رويةوم ( $ZrO_2$ ) أو كسقي دالبيثان ( $TiO_2$ .. إلخ). تتجاز هذه الأغشية امتقار لكي يهليومي وكذا امتقار حراري حوال بوال قبلة لن نجد هل صفة أو الكبر كل ف قنر مبل كالم حضرة من مواد عضوية [58].

#### II.5 شكل الحوامل (المساند)

بما أن الأغشية عبارة عن بطقات ذات سمك رقيق جداً في التحدية الإلجادات الخارجية فتصنعها في فية يجب حجة إلى دحل حجة إلى حوامل أول مسقل دي مكنة تصرية ف هذه الحوامل إلى أي لحة رة أو أي سقية

تداول في الأسواق [45]، وتتضمن في كفل من الحوامل المسقوية، الحوامل الحزوية، الحوامل الفسوية، الحوامل ذات الألياف الجوفية.

## II.1.5. الحوامل المتوترة

إن الحوامل ذات الكلال المتوترة هي التي يتم سحبها من جري الزلازل الحركية [45]. تتوضع الأغشية في شدة كل وبقوات تفصل عن عضبها واسطة إطارات وهي التي يفض من جري الزلازل الحركية [45].

## II.2.5. الحوامل الحزوية

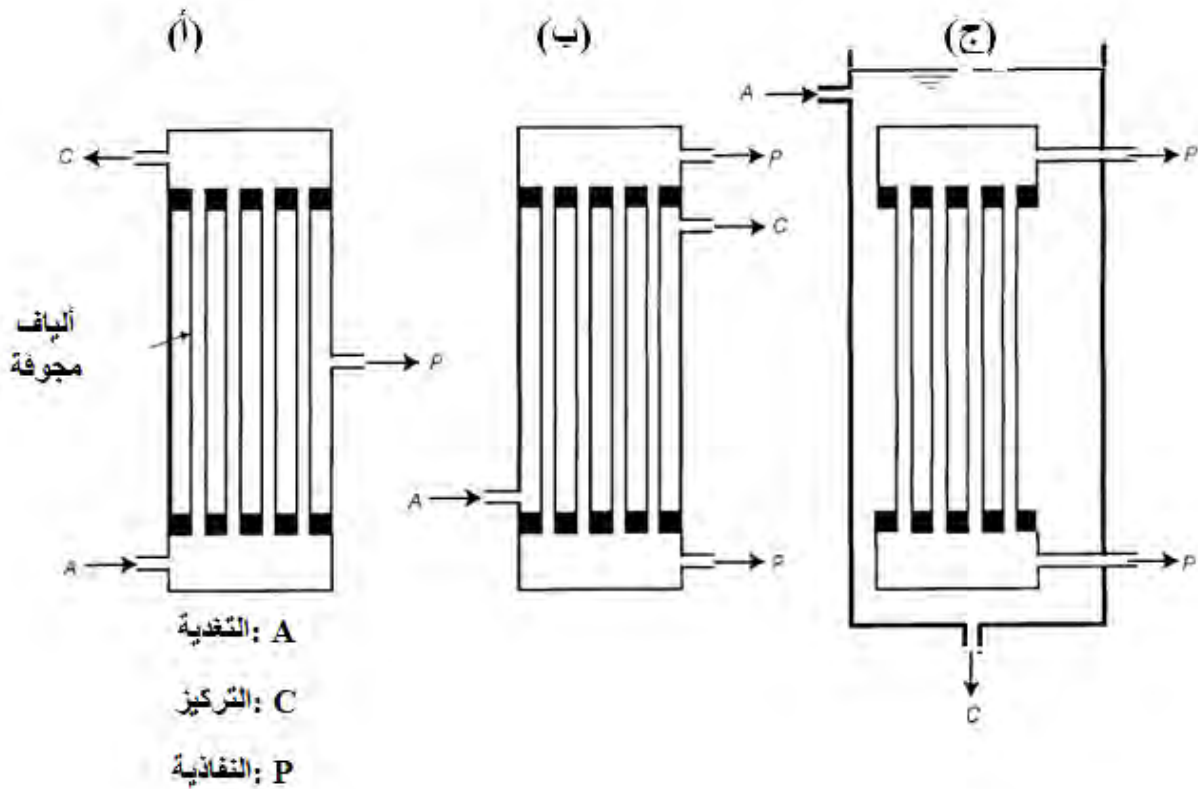
الحوامل ذات الكلال الحزوية عبارة عن أغشية متوترة وهي التي يتم سحبها من جري الزلازل الحركية، هذا الأخير الذي هو من جملة إعادة المرشحة. لتعلم من كفل في جدارية أضعة لاسعة طوان يتم تحديد المطقات التي تكون من جري المادة الفلذقية احسب من كلال الحزوية حوال الأوبال مسامي التي يكون من جري السائل محوري في القنوات [45].

## II.5.5. الحوامل بلووية

الحوامل ذات الكلال البلووية هي التي يتم سحبها من جري الزلازل الحركية، ويتم وضعها في الأغشية داخل جوف الأوبال لمسامي عن طريق عملية التصلب. هذه الألياف لة قطر يتراوح من 9 و 41 mm [74]. يوجد هذا النوع من الحوامل على شكل أوبال وحيث أن أوتها قد تكون وات.

## II.7.5. الحوامل الفسوية الجوفية

يتم إنتاجها من الحوامل ذات الألياف الجوفية على التوازي حوال شبكات الحزوية:  
 - شكلها داخلي خارجي (شكل II-4 أ): ويشبهه حالة الحوامل الفسوية الشدة، في جري الحزوية الحزوية الحزوية داخلياً أم الفسوية يمكن استرجاعه خارج الألياف.  
 - شكلها خارجي داخلي (شكل II-4 ب وج) بالمداء المرادع التي هي جري ختاج الألياف أم الفسوية فيمكن استرجاعه داخل الألياف الفسوية اللوح التي تتكون الأغشية من جملة علة شدة كل حزم حجة فيتم وضعه أطرفه داخل الخيطية فين فوذة يتكون الحوامل للصرن اعيا واحد في عشرات الف من الألياف [45].



شكل II-4: مخطط لحوامل ذات الألياف المجوفة.

## II.6. استحداث أغشية قشيرية معالج قلبي

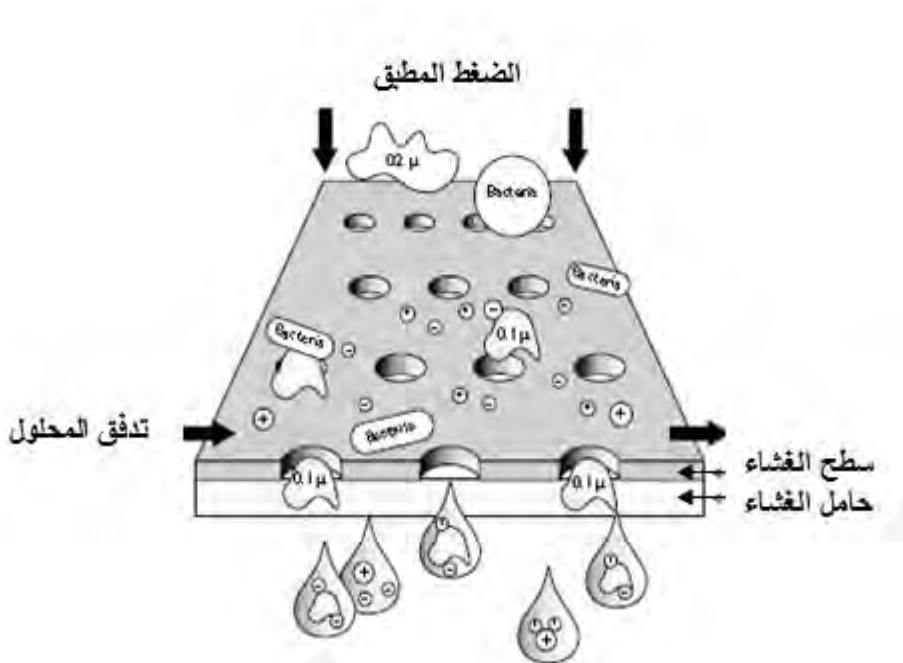
نتيجة لتطبيقات مثل صرق عملة ألغشية قشيرية معالجة قلبي في عدة مخطوطات الأغشية القشيرية من قبل لو أبوس وريجان (Loeb et Sourirajan) سنة 1961م، أصبح الاهتمام مرئياً على استحداث هذه الأغشية قشيرية معالجة قلبي السطحية وكذلك الباطنية لإنتاج المياه الصالحة للشرب. إن السبب الرئيسي لاستخدام الأغشية قشيرية معالجة قلبي السطحية عملتها كغشاء نصف نافذ يمنع مرور الجزيئات الكبيرة والمواد العالقة، وتعمل على إزالة الأملاح والمواد السامة من المياه العذبة. إن هذه الأغشية قشيرية معالجة قلبي السطحية تتميز بخصائصها الفيزيائية والكيميائية التي تجعلها مناسبة للاستخدام في معالجة المياه العذبة. إن هذه الأغشية قشيرية معالجة قلبي السطحية تتميز بخصائصها الفيزيائية والكيميائية التي تجعلها مناسبة للاستخدام في معالجة المياه العذبة.

## II.6.1. استخدام أغشية قشيرية معالجة قلبي (MF)

إن وحدة معالجة المياه العذبة مع معالجة قلبي السطحية عملتها كغشاء نصف نافذ يمنع مرور الجزيئات الكبيرة والمواد العالقة، وتعمل على إزالة الأملاح والمواد السامة من المياه العذبة. إن هذه الأغشية قشيرية معالجة قلبي السطحية تتميز بخصائصها الفيزيائية والكيميائية التي تجعلها مناسبة للاستخدام في معالجة المياه العذبة.

فالتغشية جينت أنالوحدة عمل على زال الملوثات الفيروسية وبتشكك في نظم كالمحت عمل على تغشية على فتن عكر لماء إلى أقل من 1.3 NTU وكذلك الصلابة العالية في قلة على 66% وبالغالب في قلة دخل ر أن التغطية الميكروبية التغشية الأساسية مقابلة بال طرق تغشية الأخرى [56].

تستخدفي هذالتقنية غشيتراو قطر لمسامي 1.0 و 01  $\mu\text{m}$  (الشكل II-4) فتي تس معبوق فيل أجسري المثل عالق وكذا الملوثات التي ضافة إلى لاجسري مانتل غشيترة وكثنتب ععض الأيونات التي يتحيد بطبيعة الترسب في الأغشية الميكروبية هي إذن لطيفة كالأكثر استعماله في معالجة المياه العذبة أغلبال حالات يتم استخدالمعالجة أولي لظغض التقرية الأخرى. هي توجطل عيدي من وحدات معالجة المياه واسطة التي تقوالميكروبية في قطة.



الشكل II-4: نموذج لمرشحات خاص بالتقنية الميكروبية (MF) [165].

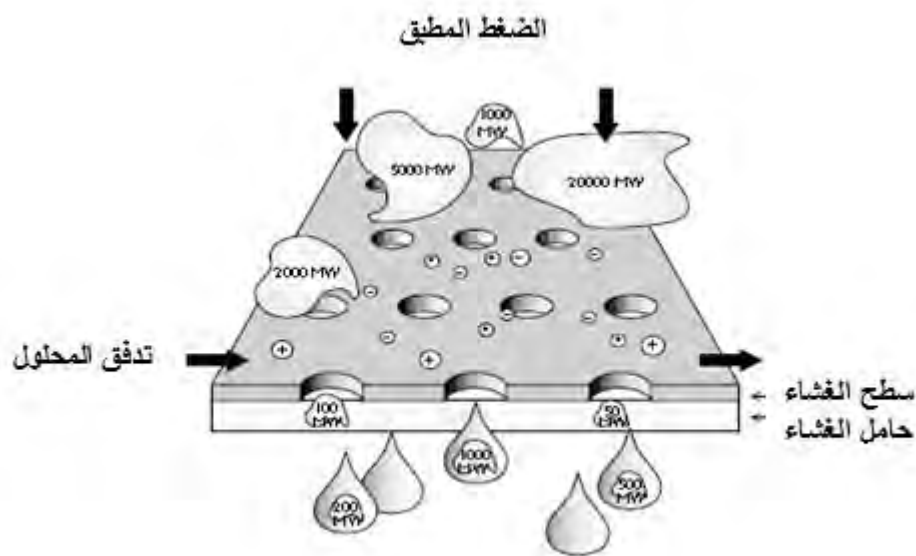
## 2.6.II بستم أغشيتالقي للفيروسية دلالق (UF)

لقد اهتمو كل من لثوب وارانكالن (Knops et Franklin) نظم أغشيتة التي تقوالميكروبية على قفوة لشركة بلجيكية (Yorkshire Water Services)، هي أن هذالوحدة قفوة على لنتاج 61 مليون لتر في اليوم من الماء الصالح للشرب ليحلت عمالقسمة قنالماء لمعالج عملي قغسويل. كم ثلثين ال عتبةارة أنه يمطلنتخل ر من 66.666% منالجرلي م.

أطفي ميدان تصفية المياه في طبق داسيت علمي كغبار فينيل ورفقا ه (Vial et al.) طريق نفيم عال جة قصف ولسة ولسة طال  
الذلي فنتعلاج أعمال م أدت إلى بي جاد و حدة لتاجق ادرعة على لتاج  $401 \text{ m}^3$  في اليوم كم بعين ت التتلاج أن  
كهي الة الموالط لباقي ع الققيم كن أتصلة إلى  $0 \text{ mg/l}$  لاطلة بل لكي في قائل ال وكسة سجن DOC يتنقل ر حن  
91 إلى  $31 \text{ mg/l}$ . كم لتوصل الياض و ن إلى أن است عم الال حوامل للم ستوي نل ي بقص اي اسولتال في است عم ال  
ال حوامل ذا ألي افعال م ج فويك و أفضل [56].

في لاجز اى رفا ن لك نشر جي ذلك مزويش ورفقائه (Derouiche et al) [66]. ولذلي بي رفي دا أن  
فة الليف عة بق صق ادية عة قلس عم ال ت ركيه صة عخر قة التي توي لقم مي كروية ال قيقوة ( $21 \text{ m}^3/\text{h}$ ) لت زوية  
ال قرى الم عزول في ال في اطلال طي لية. أ جري تصفي عمل عم هذا واسة علة عي نة ات أخذت حن في اسة نقة ادرعة  
تحتش عروط جويي قة تخ لية، وق بعين ت التتلاج أن نة الليف خفة اض حة لول حوامل الم ظل باقي ع اقة و كة الال حوامل  
ال عضوي ال طي عية كم بعين ت أن مذل م حل و لي ي كن أكثر اس عم ال في كل في اطق ش م ال فلي ي.

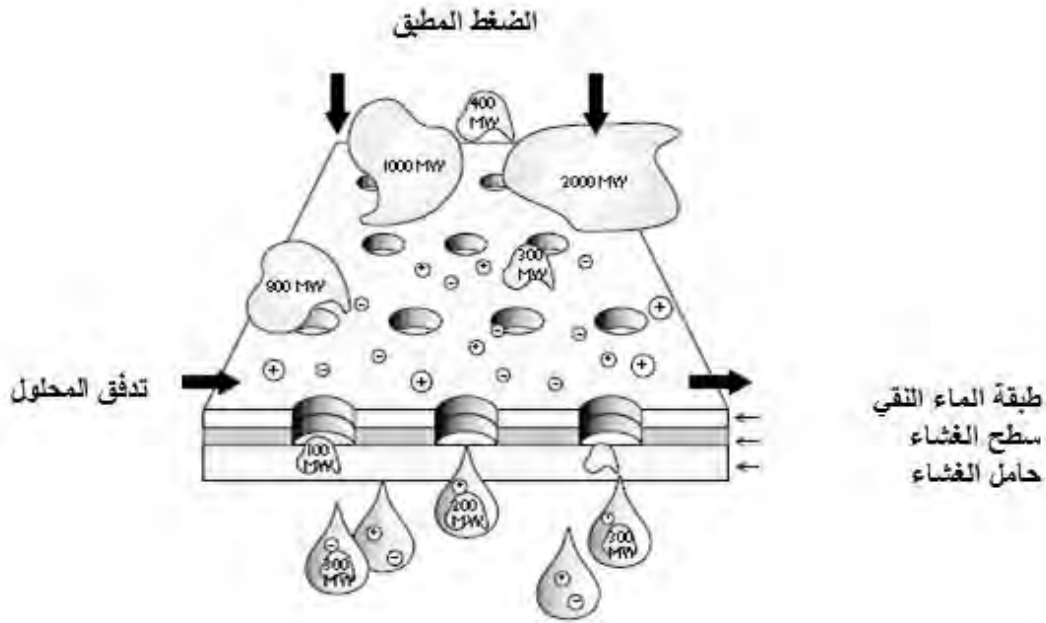
تسفة خ دفة ي هذا الن قوع حن بل قورية الة الأغشية الة تصفي يت قرا و بأ حة ادم سة املت لبقين  $0$  و  $011 \text{ nm}$   
لش كل II-10). ف يت س م ح م رور لاج سيم التصغير ق مثل لماء الال م ال وت عم ل ع ل يت قية فل لاج س قيمات  
التي ل الكلة مولية ع ال ق مثل المولي م ار ال برومينات، ل غري ات... ال خ ف م ز بي ن است خ دامك ال لفي م ن ت رلي ز  
ال م ح ال ق ل ذات لاج س قيمات لم الكروية قة مت ح ض قير ال مية اة ال قة ل قة اول ل لاسه خ دامات ال طية و كة الال ص ق اعات  
ال ل ك ت روية قة ص ق ل و قها ت رلية ال برومينات م ع ال حة مية اة ال م ح قاري، ازال قة ل ص قها غيات الال ت خ ل ر حن  
فلي روسات [58، 61].



لش كل II-15: نموذج لدمشحات خاصلت بن قية اليم لكوني ال قيقوة (UF) [65].

**5.6.II استخدام أغشية التناضح الأمامية (NF)**

تستخدم أغشية التناضح الأمامية في إزالة الأملاح من مياه البحر (الشكل II-11) المعالجة الأولية للصحة العامة لجيش شرق ولتفح عبيتة الهيكلي ريفي زالة الموالي عضوي والطيح وولكن لا يزال مخزن وجمعية الأيونات الأحادية تلك لطيف ووكذا إزالة كغفل الأيونات يتم عددها لتفح وولكن لا يزال على سبيل المثال فان غشاء التناضح الأمامية التي تكونت من عبء في ريفي زالة من توبة 200 Da فبسبب التي فت قدر بـ 91% من NaCl، 01% من بركابينة الكالسيوم و60% من كبريتات المغنيسيوم ملاحظ أنه يوجد أيون من الخش يقيم من أن تصل لسبب إيقاف الإلهة هلكة سريعة [56]. كما أن من التطبيقات أخرى نذكر من إزالة العناصر للمعدنية من الماء، لفي من تركيز المركبات العضوية ذات كتلة الجزيئية مثلال مضادات حيوية، زالمون من الماء. [58-61].



الشكل II-11: نموذج لمشحات خاصلت للتناضح الأمامية (UF) [65].

**7.6.II استخدام أغشية التناضح العكسي (OI)**

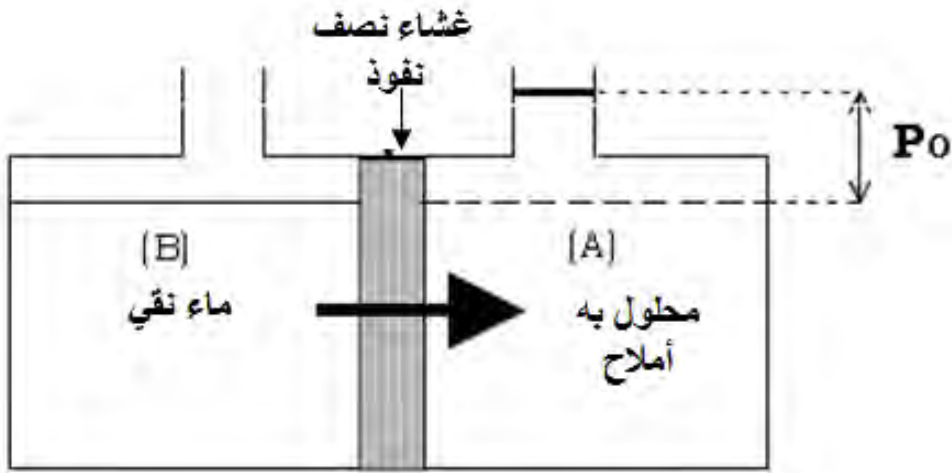
إن التناضح العكسي هو نتج من التناضح الأمامية وهنفي الأجل معاك [67] يستخدفي التناضح العكسي (OI) لتفح مقسم حرمور للمفح عر هات عمل في إيقاف ك الأملح [45]. وتستخدم في مولي:

- إزالة الأملاح من مياه البحر.
- إزالة الأملح من مياه المرقاة التي طاق شراب.

- لتاج ماء عالي النقاوة.

أ- ناضح لمباشر:

عروض عنف الكمية من مافقي (B) ومحلولي يتوي على مال (A) فيوس طيفص ولين غشاء  
نصفين وف إن الماء اللقي يهتقل مرال وسط (B) نحوال وسط (A) لة أي عتيق فذا المشقة اللضرة غطال نقتج  
مرال سائل التحواجهفة (A) فةر قل م سبقو يبقين الويس عطيني ثمة للضقط الة موزي  $P_0$  (الشكل II-12)  
[67].



الشكل II-12 لتنضالجمباشر [59].

باستعمال اللقريب الأول فلن يمكن حساب اللض غط الأسموزي بيتطبي ققل ونفرت هوف (Van't Hoff)  
يجي يبين أن اللضط الة موزي  $P_0$  لمطبق من طرف المذابيس اوي الة اللض غط لمطبق من قبل الة م  
في حال الة غاز التمثالي وذلك من أجل نف الة مرفف درجة الة حرارة [59].

$$P_0 \cdot V = N_j \cdot R \cdot T \dots\dots\dots(10-II)$$

$N_j$  : عدد مولات المذاب  $z$ .

$R$  : ببتال غازات التمثالية.

$T$  : درجة الة حرارة المطلقة.

بالتفكك الة مذاب إلى أي ونف الة موزي غطويكون الكبر ب  $i$  مرة ببولتالي يي لحن لتسبة:

$$C_j = N_j / V \dots\dots\dots(11-II)$$

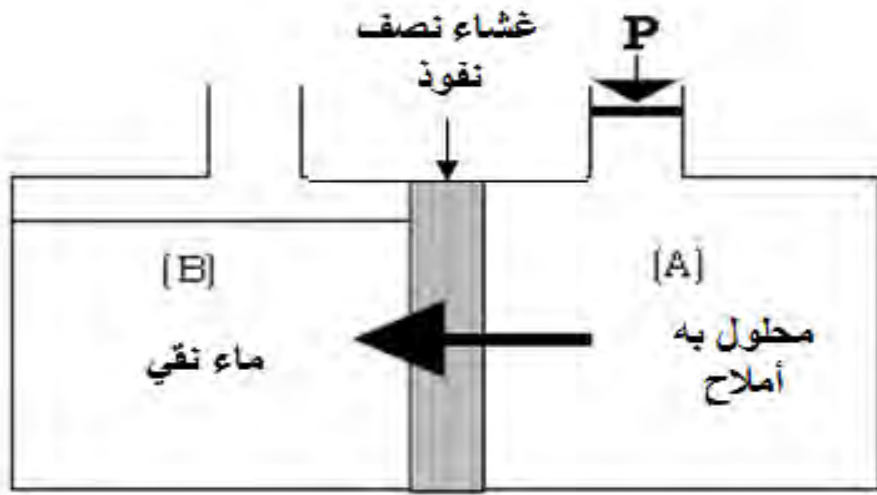
إذن

$$P_0 = i.C_j.R.T \dots\dots\dots(12-II)$$

بج أن هذا القولون في رصالح الفيلامح اليل المذاب أي نيكورلض غط الأسموي ضريف احوالي  
[59] (70 -91bar).

ب- نلض ح عكسي:

إذا طبق علولامحلول (A) ض غط  $P_0 < P$  فان لماء النقي يتقلق لفيالاتجاه لامع اك من (A) نحو  
(B) عبرل اغشاعن ص فلن افوذي (س محم رور لم اغقط) عرف هذابلتنض ل عكسي (لش كل II-15)  
[59].



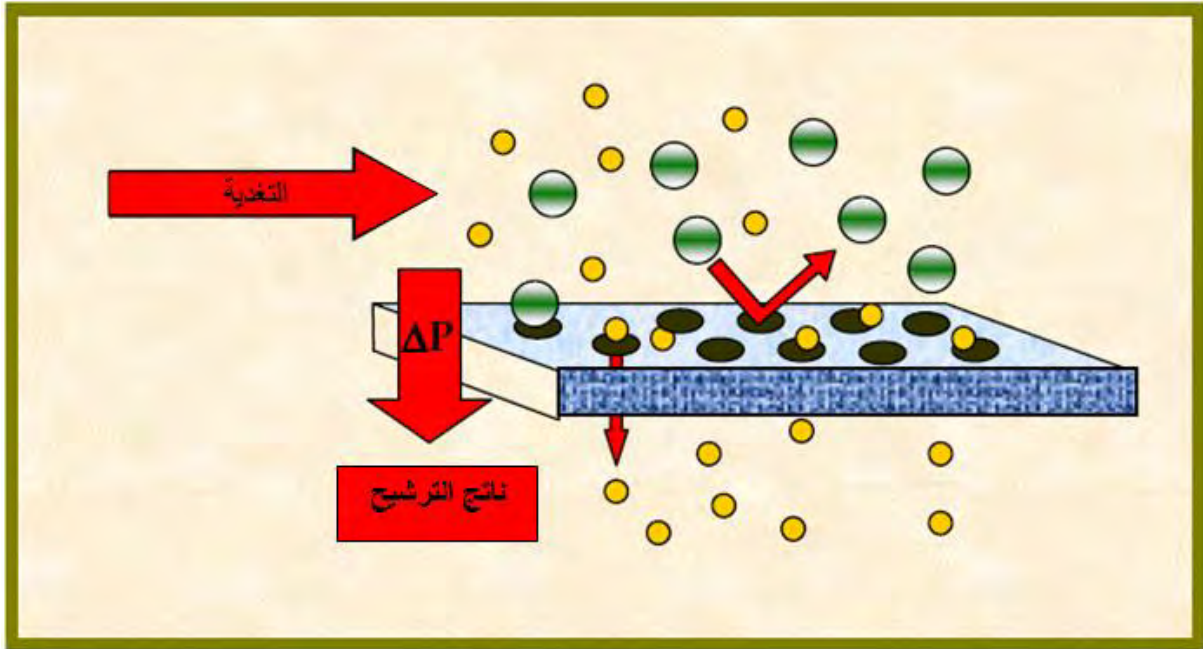
لش كل II-15 نتنض ل عكسي [59].

## 7. II. أنم-اطلوش-ي-ح

يملك نأتست خدم الأغشيفقي عم ليل قتر شري ح سب طقي قتي رتي س قتي نل لاشق غ اللت شرقي حال حة ي أو  
الترشي حل اماسي [68].

## ألتشريخ لملحبي

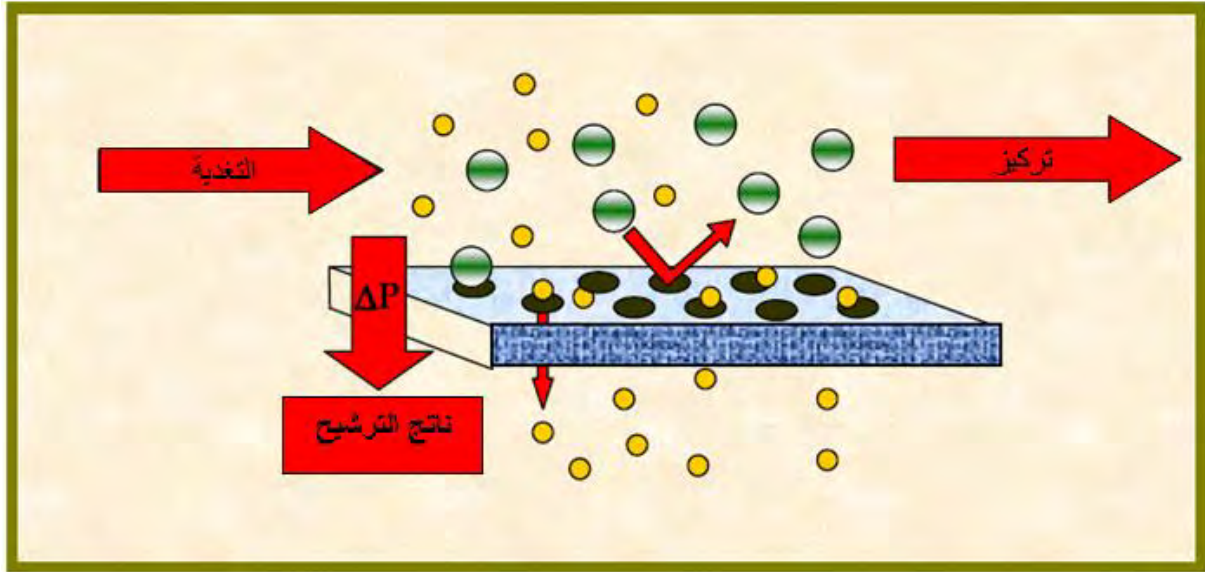
يرتفع الاملحل لمرلترشريخ شةكل عمودي على مسبقوى سةطالخ غشاء فلجس قلمائل مقلبة وال من حل الةقبوية غلن ترشريخ مةن شةن ا أنتكة دفقوس سةطالخ غشاء على شةكل بطقوات مشلغل قبلنك مةا يس ميب الانسدادبوللالي ييتطلب هذاللع لم نترشريخ الةنظي فالملحلي [67] (الشكل II-17).



لشكل II-17: تنظير بمللألتشريخ لملحبي [69].

## بللألتشريخ لملحبي

يكون نةفقالملحل لمرلترشريخ فةلترشريخ لملحبي مةماسة موزي فاس سةطالخ غشاء مةية يةفون مةن مةن باواس سة مضة [67] (الشكل II-10). إن تدرجل مضة غطال مبطق على سةطالخ غشاء مةن شةن مال سة مةن تك دال مةال مةولترشريخ ا. عت فخرال مضعف إن أصرن الةترسب الةل تصلل إلى ساطخ غشاء تسبق غرق وقتالك مةن ابوللالي ف إن الةنقوي يةف الةنق ر إلى أة صةلة ح الةطام سةقورة. إن ترشريخ لملحبي غال ايمبلت مضعف ال صرن اعة لك ل نة عملت ح تنظام ذوتففق بللألتشريخ [68].



لشكل II-10: تمثيل لمبدأ ترشيح الحامل ماسي [69].

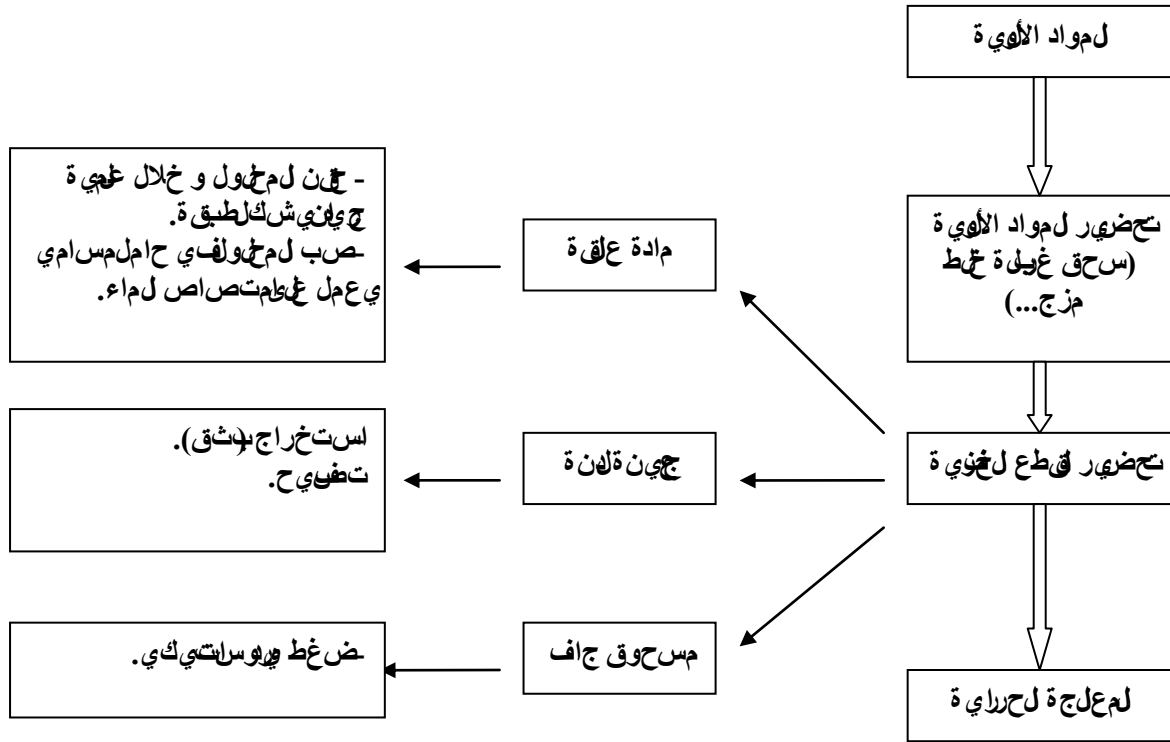
## 8.II بعض طرق تجرر الأغشية الخزفية و دسلتها

### 1.8.II مقدم-ة

لقد عرفت الأغشية الخزفية التي جارية تطورها لسوقها عشاوية من الألياف، حجة أن التصيحات تستخدم كترقي هي ايشيتى خاصة من امعال جة الية اه [70] بسبق خدام الأغشية الخزفية لظوظة لثيرة ن الال متقرار ال حراري للية هياي ومق اوملل ض غط ومدة حياة طيلة وكذا خصرعلاء الكخغيرة نيا [71]. كما أن هذه الأغشية والتي هي عبارة عن بطقات رقيقة لا يمكنها أن تحافظ على غطالمطبق على اخلال عملها لترشيح فيتوضع على حامل ليفرل الال حلياق كاملة [72].

### 2.8.II بعض طرق تضيير الأغشية الخزفية

تكون الأغشية الخزفية لظوظة لثيرة نيا هياي خاصة من امعال جة الية اه أو حاهل ومجموعة من الحوامل، يمكن تضيير هذه الأغشية بعدة طرق [57] فيلخ رائسكل II-16 أم مراحل توفيري انتحضري الال عينات.



شكل II-16: أم مراحل التحضيرية التي تتبعها طريقة خفية [73].

## II.1.2.8.1.2.8. II تحضير الحوامل المسامية

### 1- الحوامل المسامية

توجد طريقتان رئيسيتان لتحضير الحوامل المسامية:

الأولى هي طريقة روساتتيكي في هذه الطريقة يتم تحضير مسحوق المادة الأولية في إناء بمرشحة تحت ضغط معين [72، 74].

بالتالي هي طريقة عجيقة تستخدم لتخليق الحوامل المسامية في هذه الطريقة يتم تحضير الحوامل المسامية في إناء بمرشحة تحت ضغط معين [72، 74].

### 2- الحوامل البوبوية

الطريقة الثالثة هي طريقة روساتتيكي حوامل البوبوية التي تسمى هذه الطريقة بالمرشحة تحت ضغط معين [77، 78، 79].

## أ- نظرة الساتخراج (المثاق)

تستخدم هذه الأثرية قماش لواسع وفي عدة هيئات صناعية وهذارج على عض هيئت والتي يذكر في الأثرية  
هيالي:

- إملأاي للوصول على قطع زفوية ذك لكثافة زمتظمة وعالية.

- إملأاي للوصول على قطع زفوية ذك مقطوع متظم ول اشكل ذوي م عقد.

- قدرة للتحليل الأولية وكلفة منخفضة [57].

## ب- طريقة لطرديل مركزي

في طريقة لطرديل مركزي يتألمت عامل م عمس حوقل لمادة الأولى قمتشيتته فة الةاء وتحتنف علقوة  
الطرديل مركزي يتفصل المادة طلبة عزال سواي لترسيب اعلى جدارا لسطوانة لعمون قبل كش ال لسيوا  
[57].

تتماز هذه الطريقة عن سابقت فني وهي الة عنات ال مخررة هي ن جد:

- سطح ال حامل ويك وامل سا ن اعما جدا [80].

- مجالتوفي الغفر اغت ضيق جدا [80].

لن ان ال خاصيتان متمان جتظن وعمة طح ل حاملة هي الة التي تقيت ح ك فية سة ملل شة ريحة. ال سة مك كمة ا هو  
م عروف له علاقتب اش ريقا الة افقة ك ل ماق ل لس مك از دات الة افني قمو ل لاي زادم مردوالم رشة ح . أةا م جة ال  
توفي الغفر اغ انقالم لكن ضيقا س م جت ح ي طاج سري مات ال يي مك فصول [57].

## II.2.2.8.2. طريقة لبستخدام طويق قلاص ب

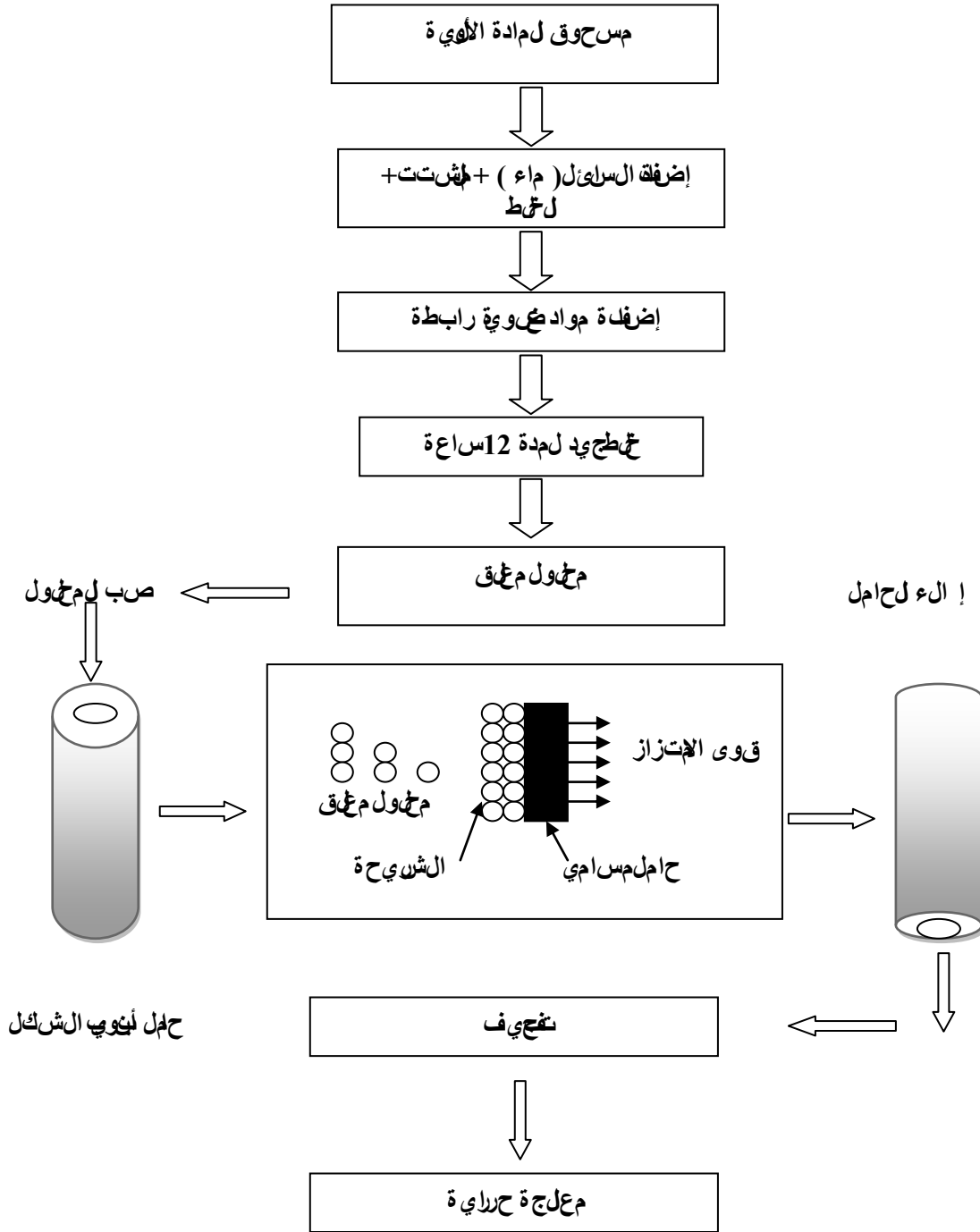
تستخدم الأثرية لصل بلك حذوي ر قطع خوية ق لاي ية تم علق طلة شة نكل [41] عة يجمع عروفة في الة الم فة ي  
مج الل صرنا عة لا خوية [71]. أطي هي دان صرنا عة الأغصيفتق ت م است خدام هذه الأثرية لوضع طيقة أو عدة  
طبقات رقيقة (بضرة عي كرونات) علة سة طح حاملة م سة امي [73] ييقن أن لفاش نكل II-14 أةم مراحلة هذه  
للثقية والتي ن خص فلي هيالي:

تحتضن ر م ح لول علق فني هذه الة عملية قيفة تم شبي الة مادة الألية قفة لةاء مة اضقة مواد عضوية (مادة  
ربطية، مادة لينة).

- ص بل م ح لول فني حامل م س امي ه ال نخر ععمل علة ي للمصصة اص الة لة عة لة لة قة لة شة عرية وهذوية  
إلى توضع الة لصل لة علة على سطح الة ش ك ي لل اغشاء.

- علق لوصول على الة لاس مك الة لة لة غش الة الذي يزداد مة ل م ن ية م إخلاء الة حامل م ل م ح لول.

- يوضع لة م رش ح (ل حامل) لة شريحة) في درجة حرارة عاي لة ج ف سب طم ي ع لة ج حراري [71].



لشكل II-14: أمم مرانطلحضي رشريحة [71].

## الفصل الثالث:

### دراسة المواد الأولية والطرق التي يجب اتباعها

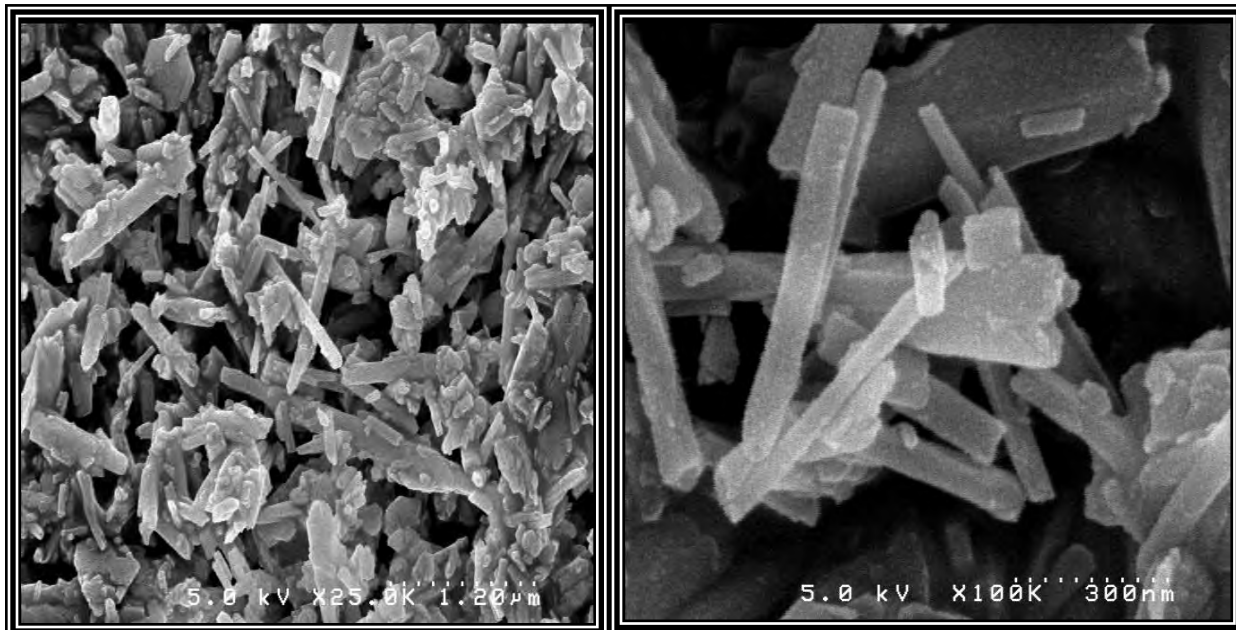
## مدخل:

تطرق في هذا الفصل لدراسة المواد الأولية لم يستخدم في هذا البحث ولكن لتتبع اليل المجرأة عليها  
 والتي تشمل نتاج اليل للبيبي والتلحي لب واسطة الأنسعة لسريوية نتاج اليل لب واسطة ألشعة السريوية لم فورة  
 نتاج اليل لحراري اقتضلي والتلحي لحراري اليل ي. بهدف هذه الدراسة وكذا مظيف من نتاج اليل لم عفة  
 ترلي بالمواد لم يستخدم مظيف الظر اهرال حشأقتن الممعالج لحرارية. كما يتم الطرق إلى مظيف الطرق  
 التي بي بي المادة وكذب ع الظرن تستعمل.

## 1.III. دراسة المواد الأولية:

## 2.1.III. كوالان (DD2)

تم الحصول عليها من جبال البافض واحي ميقنقال مة بتمازبلونها البيضية وكلة حجوي يقدر  
 بحوالي  $2.53 \text{ g/cm}^3$ . يوضح لن الشكل 1.III صورتي بالمجهرال لكتروني لحيبات المادة الخام والتي تبدو  
 على شكل عصي. كما أن هياضتوجد عدة أنواع فيها، حيث يتل ف في طبيعة وتكيزالموال شرطه الداخلي  
 ترليها.



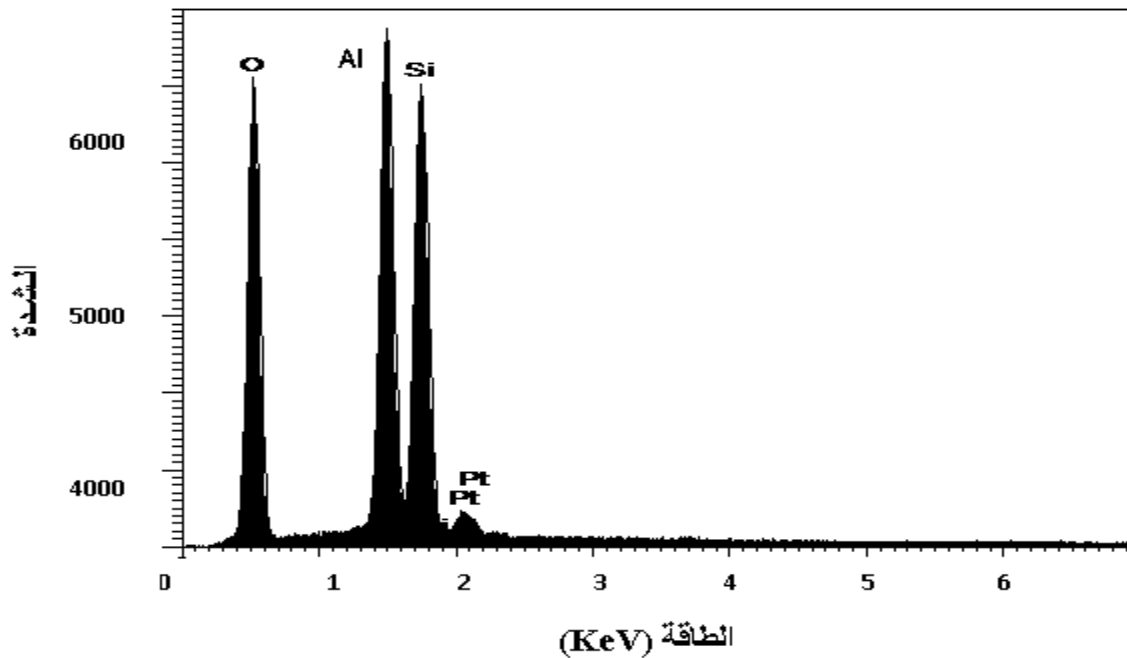
لشكل 1-III: صورتي بالمجهرال لكتروني لحيبات مادة كوالان (DD2).

### التحليل الكمي لمركب (DD2)

استخدم الأشعة السينية لتحليل المركب (DD2) وتحديد تركيبه الكيميائي. حيث أعطت التحليلات الأولية للمركب (DD2) النتائج التي هي مفصلة في الجدول III-1. كما تم تحليل المركب (DD2) باستخدام أساليب التحليل الكمي (SiO<sub>2</sub>) الألكسيمي (Al<sub>2</sub>O<sub>3</sub>) وبتقنيات القياسات الحثية باستخدام أجهزة التحليل (Pt) مع إشارات إلكترونية أختارها المواد المتعددة البتيني (Pt) عن استخدام جهاز التحليل الكمي سطحية التخليق التركيبي للمركب (DD2).

### الجدول III-1 التحليل الكمي للمركب (DD2).

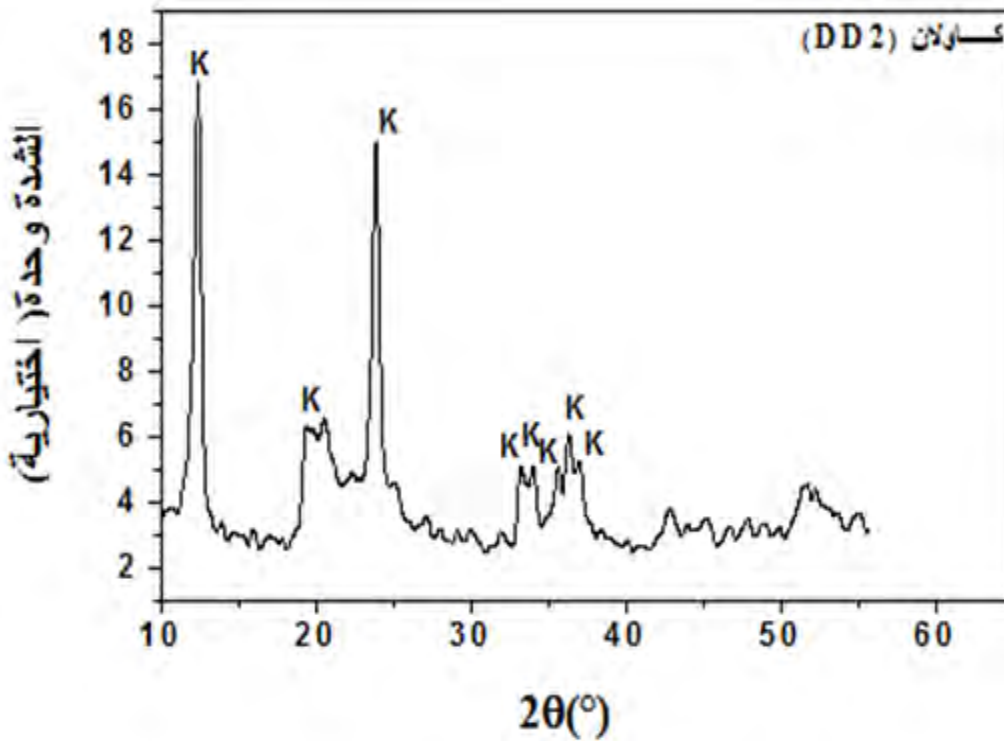
L.O.I	F <sub>2</sub> O <sub>3</sub>	TiO <sub>2</sub>	CaO	K <sub>2</sub> O	SiO <sub>2</sub>	Al <sub>2</sub> O <sub>3</sub>	Na <sub>2</sub> O	الأوكسيد
7.83	4.23	4.22	4.32	4.0	30.44	33.33	2	النسبة الوزنية (%)



### الجدول III-2 التحليل الكمي للمركب (DD2).

## 2- نتائج التحليل عن طريق XRD:

يظهر الشكل III-3 مخطط لنتائج التحليل عن طريق XRD لمادة كاولان (DD2)، عملها في فحص صيغتها أن كل خطوط النتائج تتطابق مع مادة كاولان (DD2).



الشكل III-3: مخطط نتائج التحليل عن طريق XRD لمادة كاولان (DD2).

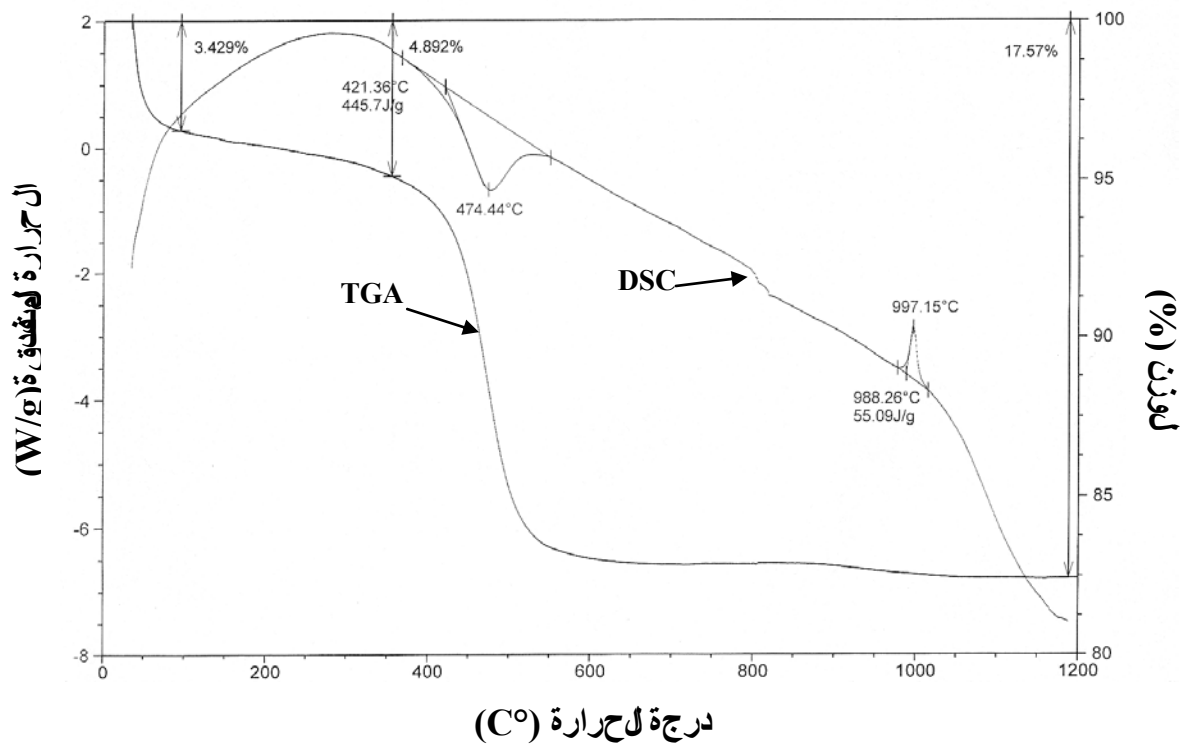
## تحليل الحرارة باستخدام (DSC) والوزن (TGA):

يستخدم تحليل الحرارة باستخدام (DSC) لقياس كمية الحرارة الممتصة أو المنطلقة من طرف المادة وذلك عند حدوث تحولات فيزيائية أو كيميائية أثناء تسخينها أو تبريدها أو عند تغير الضغط أو تغير الكثافة أو تغير الحالة الفيزيائية أو عند حدوث تغيرات في التركيب الجزيئي للمادة. أما تحليل الوزن (TGA) فيستخدم لدراسة التغيرات في الوزن للمادة عند تسخينها أو تبريدها أو عند تغير الضغط أو تغير الكثافة أو عند حدوث تغيرات في التركيب الجزيئي للمادة. ومعيته الخارجية [22] في نتائج تحليل الحرارة باستخدام (DSC) والوزن (TGA) للمادة الأولية.

عملية قس نخب عض المواصل ص الي تي ادي الى احتراق الموالل عضوية وكذا خروج لماء ال داخل في تركيبها تفكك عض المربك اتالك ابوية. إلخ، بولك ال يي لم ننتب عتسيير درجة لحرارة على علفيقق دانل كل في لمادة ال دروسة و لظما ي عرف بملادك ل ل ل حراري ال ك ل ي (TGA) [22].

يسمضال ل ل ل ل حراري ال ك ل ي ب ح ي دل ك ي اتل ضرة ع من ال مادة ال دروسة و ذلك حسب غي ر درجة لحرارة. فدرجات لحرارة ال مفلوق ل ضري اع ي ال ك ل عت ح م ل م ل ومات م ك ل ل ل ل ل ال ح ص ل ع ل ي ب واس ط لقت ح ل ي ل ال حراري ال ك ل ي [22].

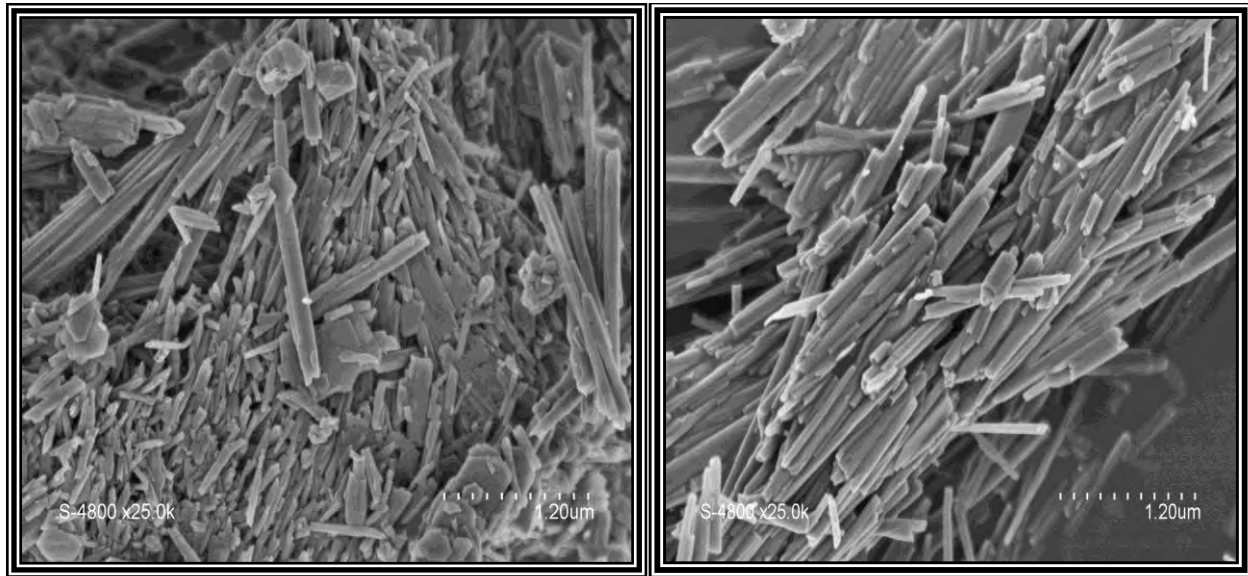
يبين الشكل 4-III في التحليل ل ل حراري ل ل ك اولان (DD2)، حيث تم استخدام سر ع قس نخب ن ت قدر ب: 4 °C /min.



الشكل 4-III: التحليل الحراري (TGA+ DSC) ل ل ك اولان (DD2)

**III.1.2.1. الـكاولان (DD3):**

تتم الحصول على هذا الكوك من مجال الباغ بوضوح مبنية قلمة تمت ازيلون هال رما ديتقريب كوتت هال احج هيفق درج والي  $2.53 \text{ g/cm}^3$  كم ايجوض حلن الش كل III-5 ص وبقال مجلال لكترن يال ماس حل حجات المادلة خا متلج يريخ ت امفين والي يتبو على ش كل عصي.



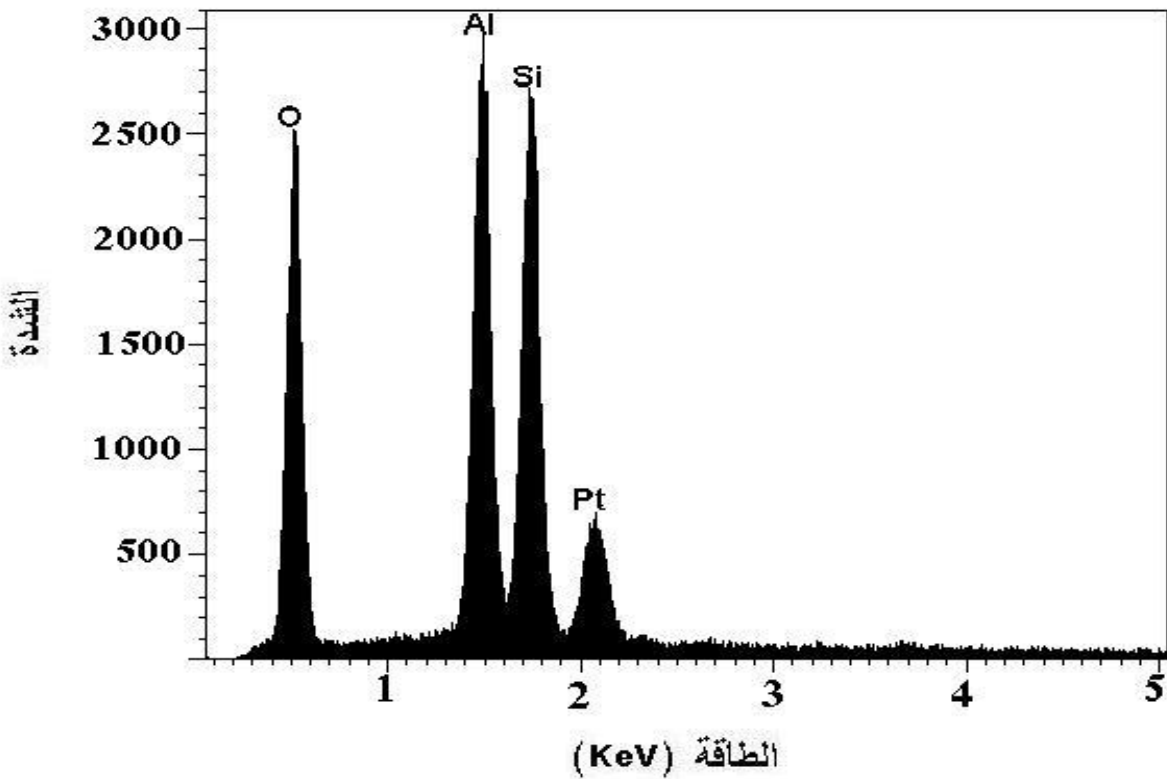
الش كل III-5: صور انب لم جلال لكترن يال مل حل حجات مادلة كاولان خام (DD3).

**التحليل الكيمياء لـكاولان (DD3):**

تم استخدا المألش عمل سيني لم عفلقة ترلي بال لفي هئي وكثا لن سبال وزني لم مظى فال عاصر الـخال قفي ترلي بـالمواد الأولي لم ستم عمل قفي هذا لـحـث. حيث أعطى نتال لـلل لفي اى لـكاولان (DD3) الـنتى الـجينة في لـجدول III-2 فـكم انتين الـنتى أن الـكاولان (DD2) تكون أسبلا لمن سيل ي (SiO<sub>2</sub>) ولـلـوهين (Al<sub>2</sub>O<sub>3</sub>). وهذا مـت الكده نتى نتال لـلل لفي اى الـجينة قفي الـجدول III-2. مـغل فـم أن الـخال مـوقـلل الـبـتين والـجينة فـى الش كل III-6 لـيعنـي أن مادـة الـبـتين تـدخـل فـي تـرلي بـلـكـاولان ولـم انت عن ملت خدام هذه المادة تكس ي قس ط حل عينة.

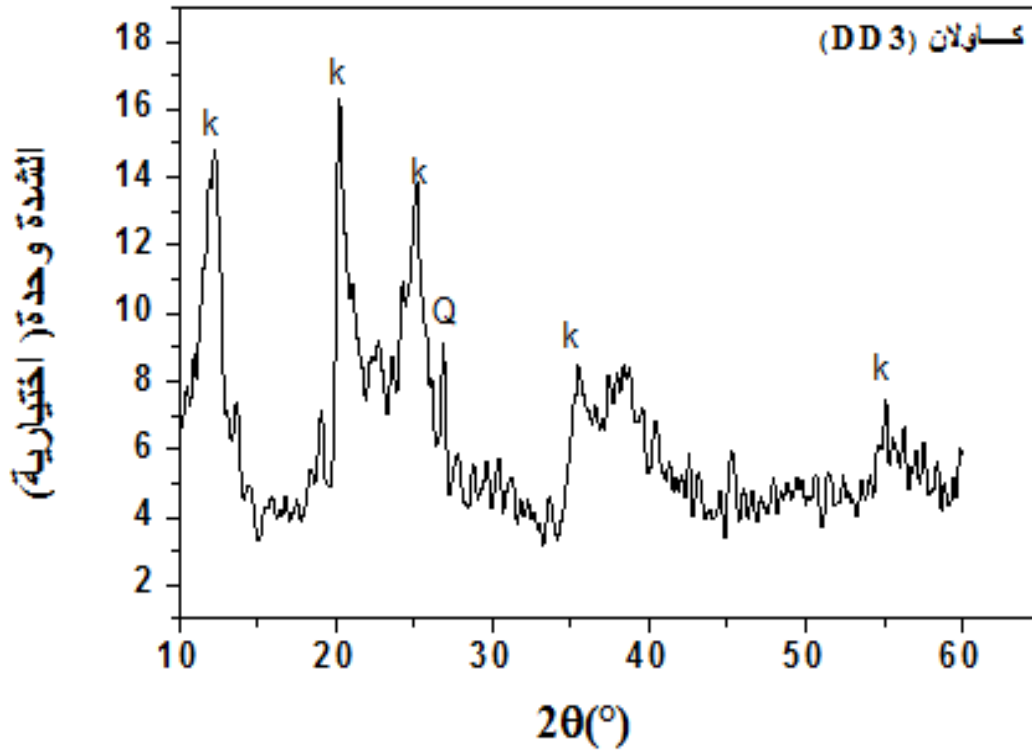
جدول III-التركيب الكمي لمركب (DD3) [55].

L.O.I	F <sub>2</sub> O <sub>3</sub>	TiO <sub>2</sub>	CaO	MnO	SiO <sub>2</sub>	Al <sub>2</sub> O <sub>3</sub>	MgO	الأوكسيد
. 7.46	0.67	4.09	4.38	4.41	43.69	37.27	0.06	النسبة الوزنية (%)



شكل III-التركيب الكمي لمركب (DD3).

## 2- نتائج التحليل عن طريق XRD:



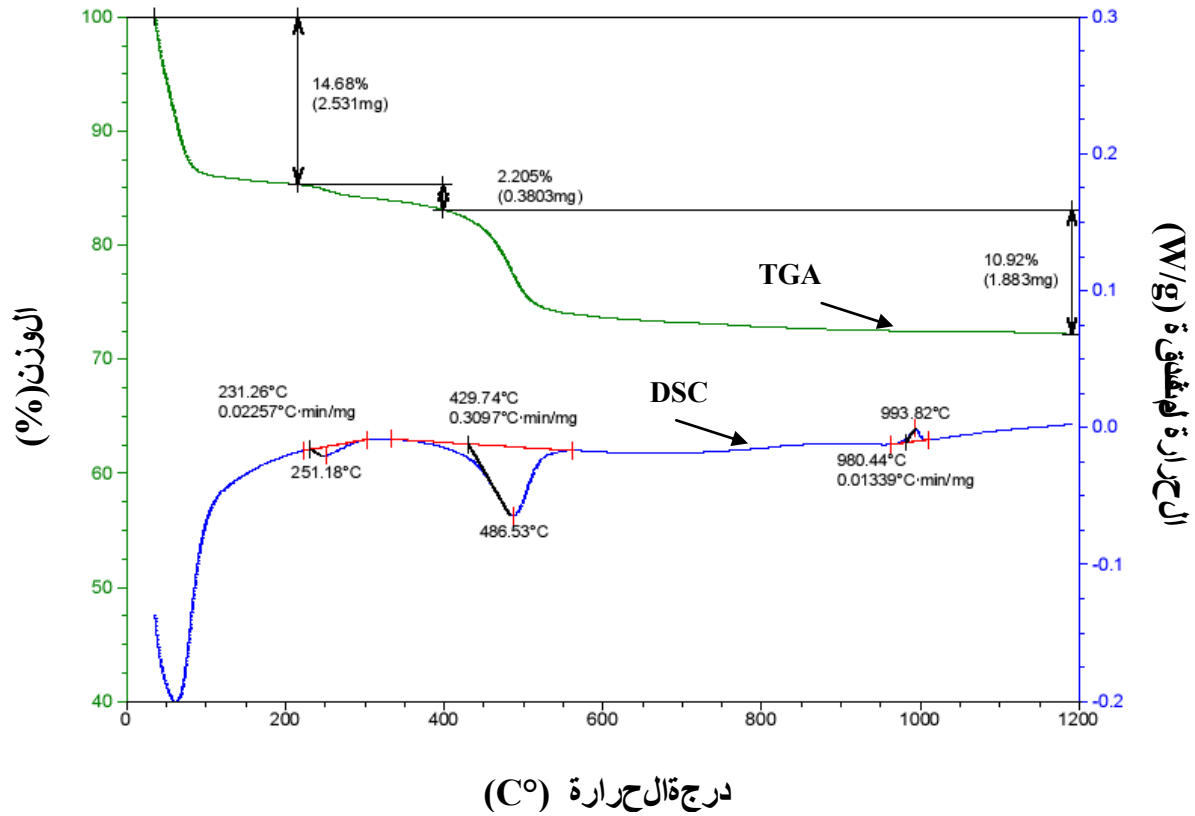
الشكل III-5: هيكل ان عراجال شغل سينيية ( $\alpha$  Cu) لكاولان (DD3).

حيث: K: كاولينييت، Q: كوارتز.

تحليل الحرارة بتفاضلي (DSC) وكتلي (TGA):

يتم إجراء التحليل الحراري (DSC+TGA) لكاولان (DD3) ويتم استخدام

سرعة تسخين قدر ب  $4\text{ }^{\circ}\text{C}/\text{min}$ .



شكل III-2: التحليل الحراري (TGA+ DSC) لكاولان (DD3).

### 1.III الكاربونيك الكلسيوم ( $\text{CaCO}_3$ ):

تم الحصول عليها من محجر قبة واربض واعي ميق وسطية، وهي عبارة عن مسحوق ذلون بلقيض ناصع عتيق كتلة هال حجيبة حوالى  $2.7 \text{ g/cm}^3$  وهذا ميق عادل 4% .. 7 . من الكثافة النظرية.

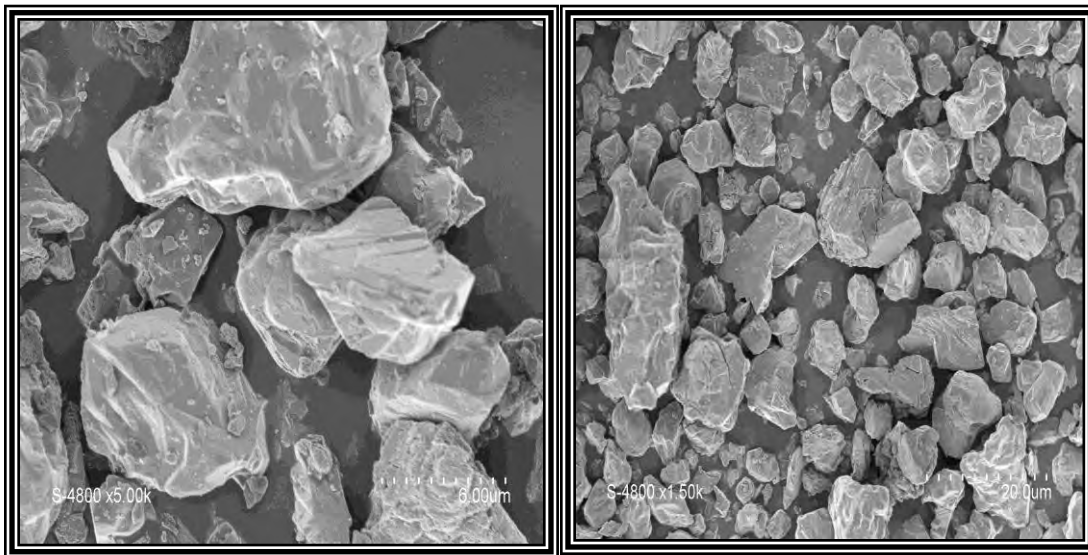
كم ليوض لجنال شكل III-9 صور قبل مجلل لكترن ماس حلل م ادقال خام ولى يتبدوع ليش شكل بيحبات .

لتاحل لى الكيم ميق لى كاربونات الكلسيوم ( $\text{CaCO}_3$ ) مكل سنة:

أعطى التحليل الكيمى لى كاربونات الكلسيوم ( $\text{CaCO}_3$ ) مكل سنة التحليل ميق لى كاربونات الكلسيوم III-3.

الجدول III-3 تركيز كل من العناصر الكيميائية في الإسمنت (CaCO<sub>3</sub>).

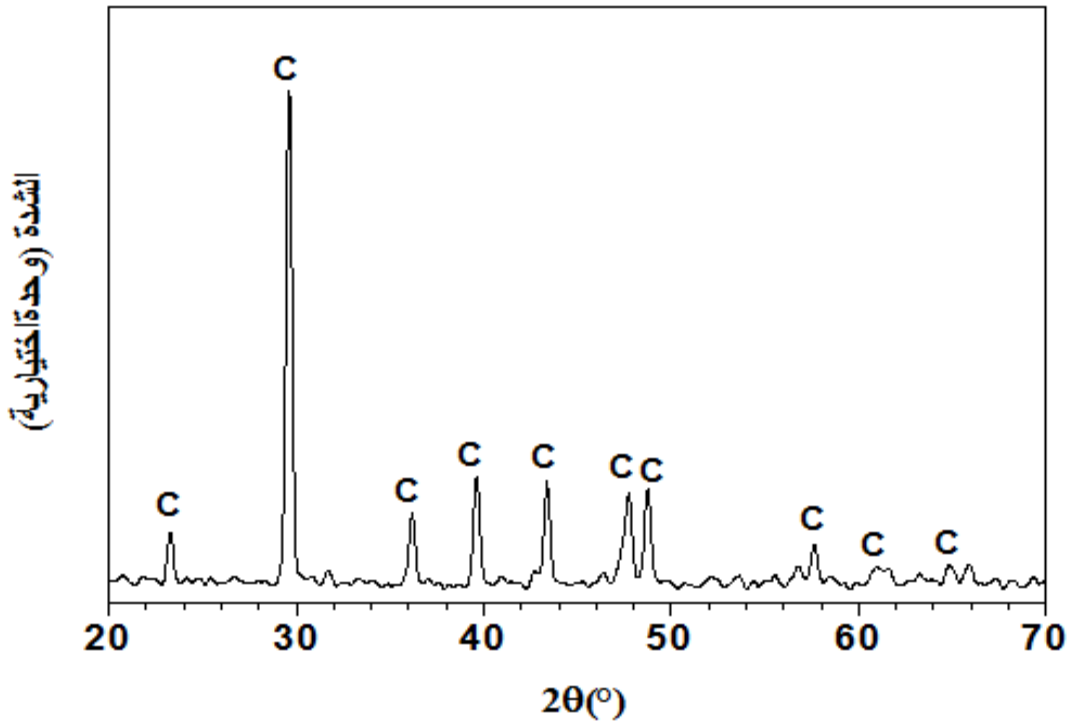
الأوكسيد	P <sub>2</sub> O <sub>5</sub>	Al <sub>2</sub> O <sub>3</sub>	SiO <sub>2</sub>	K <sub>2</sub> O	CaO	SrO	Cl	SO <sub>3</sub>
النسبة الوزنية (%)	0.006	0.088	0.145	4.448	2. . . . .	4.4. 3	0.037	0.011



شكل III-9: صور انبعاث إلكترونات من مادة كربونات الكالسيوم (CaCO<sub>3</sub>).

2- أنواع الجسيمات العنصرية:

بينت نتائج حيود الأشعة السينية للمرضح في الشكل III-10 مع حليل هلب الأنت عن نطاق انتعريف العناصر A.S.T.M أن كل خطوط الانعراج تتبدع على كربون الكالسيوم، كما أنه يوجد طبقات مع طيف لنعراج الأشعة السينية في كربون الكالسيوم المخبرية والتي تصل درجتها إلى 7. . . . %



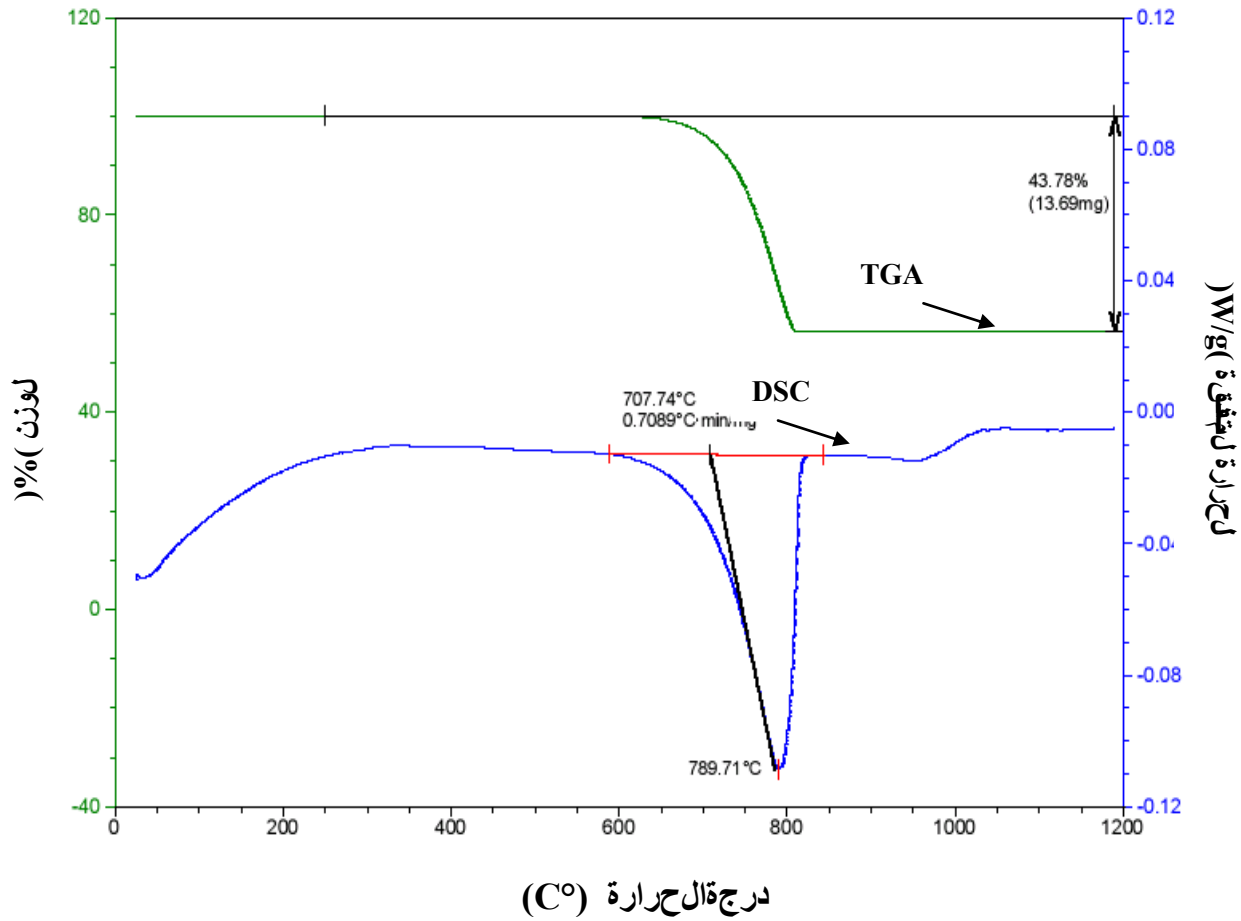
الشكل III-10: مطياف الأشعة السينية (XRD) لأكسيد الكوبالت (CuO) الناتج من التفاعل الحراري لـ  $(CaCO_3)$ .

حيث C: أكسيد الكوبالت.

تحليل التآكل الحراري بتفاضلي (DSC) والوزن (TGA):

يتم التآكل III-11 في خزانة التحليل الحراري بتفاضلي (DSC) والوزن (TGA) لأكسيد الكوبالت الناتج من التفاعل الحراري

المسجلة في 744-844 °C. خروج أكسيد الكوبالت وفير في المجال (844 - 744 °C).



الشكل III-1 التغيرات الحرارية لـ (DSC) و (TGA) لـ كربونات الكالسيوم المستخدمة لعملية (CaCO<sub>3</sub>).

### 4.1.III. الإضافات

لغرض تحسين الخواص المرونية للبوليمر، إضافة مثلاً كيميائية للتحسين، إضافة مثلاً عضوية وتستخدم كل من: Améjel و Méthocel.

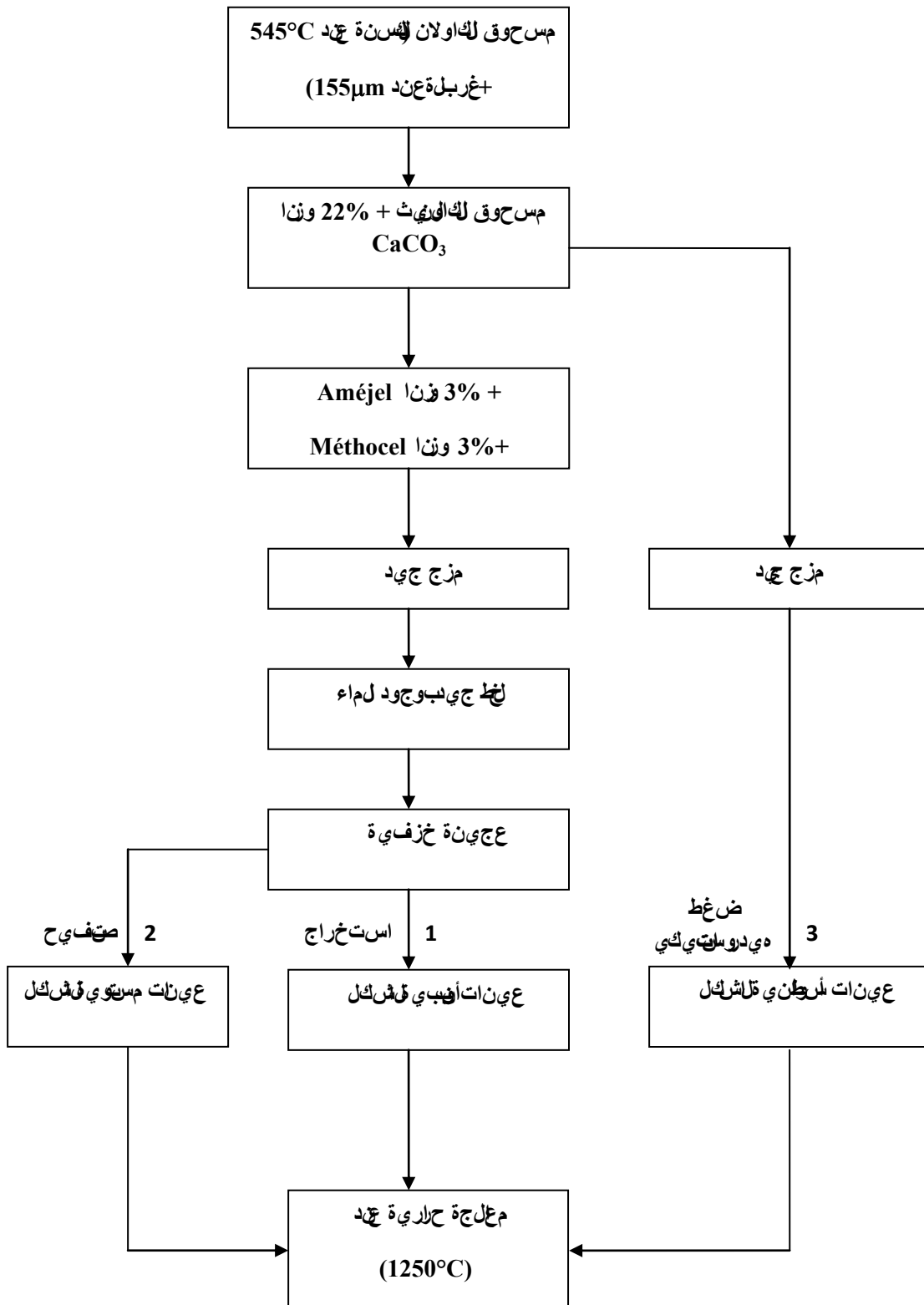
### III.2. الطرق التجريبية - ملتبعة -

#### III.2.1. بعض حوامل من الكاولان (DD2) للكربون تنكالكسيوم ( $\text{CaCO}_3$ )

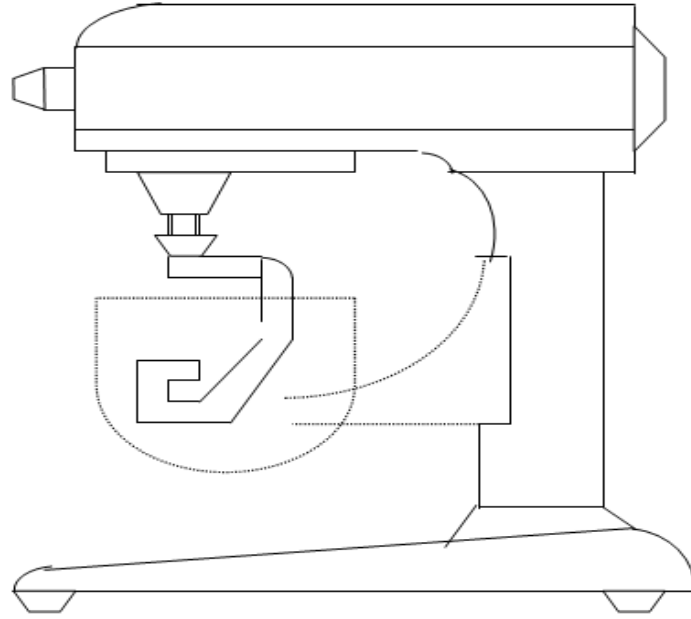
يصل خصائص الكاولان III-12 أمهال خطوات البعوضة لعملية نقل الحوض بين الين سبب ذلك طريقة الأولى يتدمس حادة الكاولان (DD2) حقا جي داب عند ذلك في يوم عمل في ظلل سنة عند  $34^{\circ}\text{C}$  لتقدم سرعة، تلتها عملية ليعمل على تى مسية و  $04\ \mu\text{m}$  يدع ذلك انضغاف إليها التي تمتع كارت الكالكال سوي ومبذلت يتقو نسبتها %27 وزتا وكذا بعض المواد التي عضوية المتضمنة في كل من Améjel و Méthocel والتي قد درن سبب ذلك من هاب %3 وزنا وذلك لغرض تحسين خواص ال عجين قلس هيل عمل الكالكال تنشك يلي بعد ملق ومتمزج لاختيول جيداً ذلك كبوضج والي تمتع من الماء حتى ينال حصول على عجين قلس الكالكال تنشك ييل ذلك لباستخدام ججازال بضج طالك هيتي لي ش ك كل III-13).  
توضع هذه الأخيرة داخل كيب سويك يي تغلتا جيداً وتت رد لتعمدة 2. ساعة أو ألفت رتخ وتعيش تال م بتات كل عبيد بعد حضي رال عجينه ل تخوي قتم عملياة الاستخراج [23] الحضي ر عيذك على ش كل أن ييب وتبادل استخد ام ججازال ضج اص ل هذال بعرض (الشك كل III-14) بتوضيح على عيذات الم حضي ر بقع ذلك بلق ش م ترة على أسطول ات تمن آل ل يي وم، هه آل عيذت ح ر هب حركة هاريه وهنل عيذت جف الألي ب ش كل ن جان .

في الطريقة الثراي تم است خذ ل م قو ية قلس في ل حصول على عيذات مستوي ة الكالكال لطق تات المنال عيذت ل م حصول على هه كطبي ل طريقة الأولى هذهل عيذات است خذ م ت ل دراس ل خ ص ط ا ص ال يي ك لي ا ية.

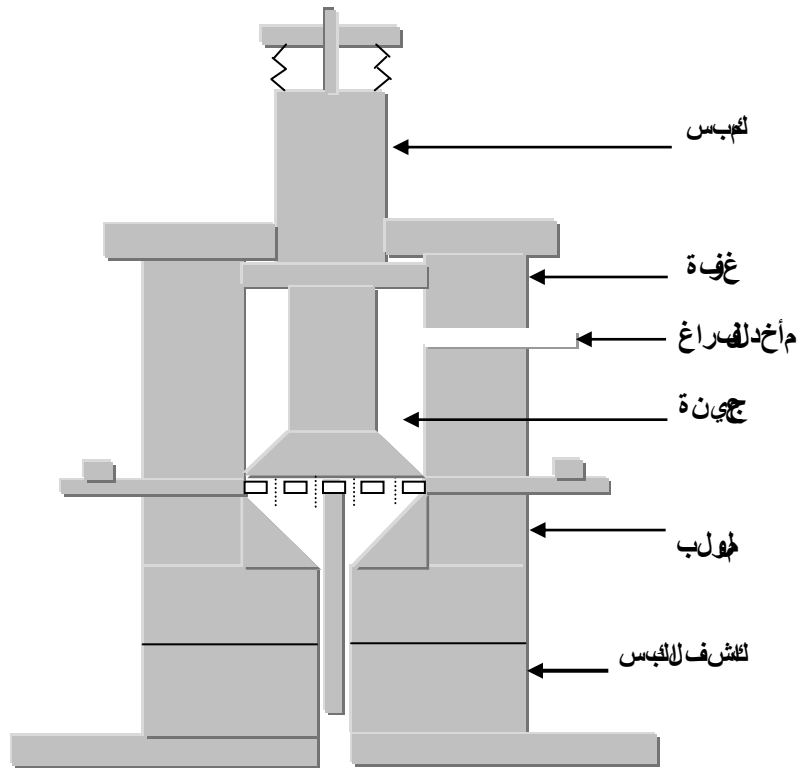
في لطي ق يظلال شقم ك ب مسية ح و قال ك ا و لان + ك ا ر ت الكالكال سوي وم جاش ترة دون إصافك أخت ر ذلك كفت ضج ت ضغ ل ي ق ت درب ضغولي 80 MPa ال عيذات التي يت ل م ح ص ت و ل على عيذت سني على ش ك ل ف ر اص، ق ط ر يها 2 mm .  
وس مك ه ل ي ت ر ا و ح م ل ي ن 3 و mm، 0 س ت ع ط ت هذهل عيذات ل دراسة ل ع ر ا ل ش ع ل سوي ية.



لشكل III-12: أمال خطوات التجهيز حيزي ال حوامل (DD2).



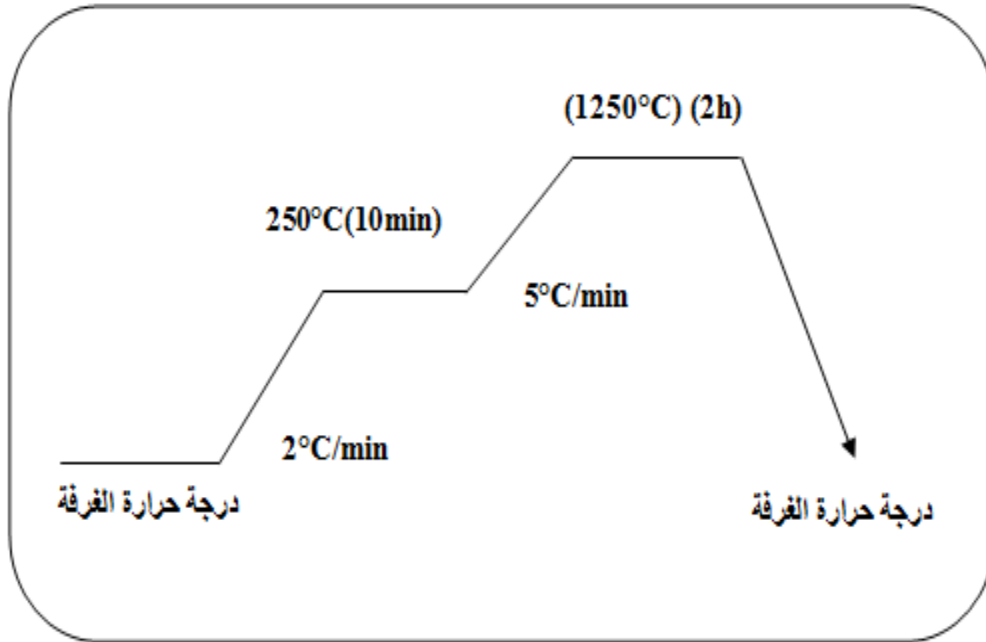
شكل III-13: رسم تخطيطي لطيف الخ طالكهويئي.



شكل III-14: رسم تخطيطي لجهاز اليتا او اليت خراج.

## العمل على الحرارة

بعض خصائص المواد التي تتغير بالظروف المحيطة بها، مثل تغير اللون، والرائحة، والذوبان، والصلابة، والخواص الميكانيكية، وغيرها من الخصائص، يمكن دراستها بدرجات حرارة مختلفة (250°C). لذلك، يجب إجراء التجارب الحرارية في نطاق 15-III.



لشكل 15-III: رسم خطي بياني لبرنامج التسخين لدراسة الخواص الحرارية للمواد الأولية (CaCO<sub>3</sub>) و (DD2) وكربون الكالسيوم (CaCO<sub>3</sub>).

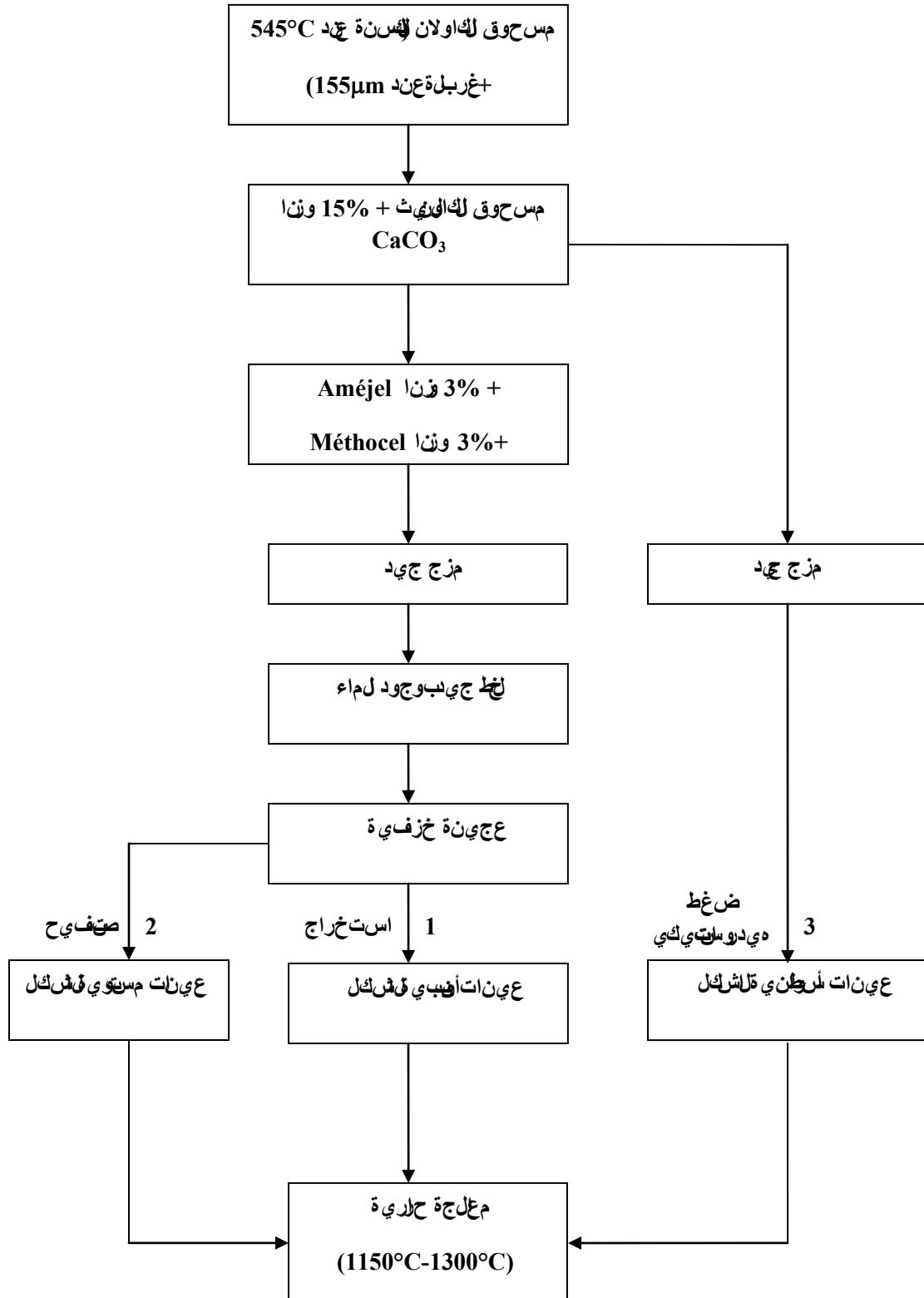
لقد تم إجراء التجارب الحرارية في نطاق 2°C/min حتى يتغير لون العينة، ويلاحظ تغير اللون، والذوبان، والخواص الميكانيكية، وغيرها من الخصائص، دون إحداث تشقق العينة.

### III.2.2. بتضخ حوامل من الكاولان (DD3) كاربونك الكلسيوم ( $\text{CaCO}_3$ )

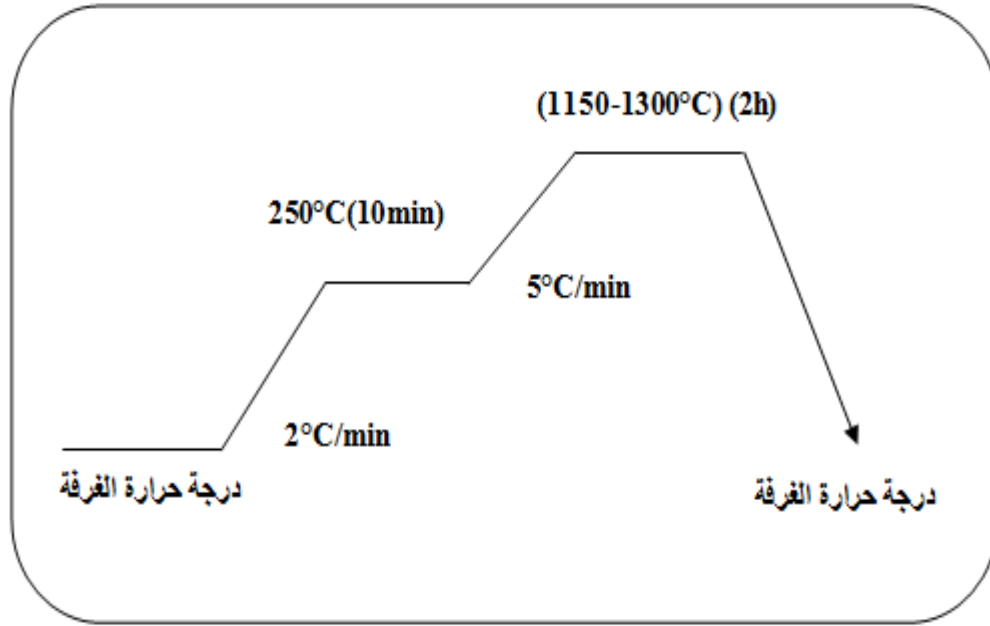
يلاحظ من النتائج لكل III-16 أعمال خطوات التجريبية ل عمل بتضخ حوامل، بحيث أن هذا التجريبية  
 نفذ بالطريقة السابقة ل عمل بتضخ حوامل عن انتاج خدام الكاولان (DD3)، إلا أن كمية كاربون الكلسيوم  
 المتبقية في درن سبته ب: % 0. ووزن [24] وكذب عن الموائع العضوية المتضمنة في كل من ألحاج و  
 اليموسال ( Améjel و Méthocel ) والتي تقدر بنسبة كل منها ب % 3 ووزن بعد هاتين عن ف الخطوات السابقة  
 فتضخ حوامل. هذا لحوامل.

#### المعالجة الحرارية

بعد تضخ حوامل عن اتحس بال طرق ل امش ار الي هاسباق امت م تلم عال جة ل حرارية عند درجات حرارية منخفضة  
 (50-1300°C . .) لمدة ساعتين، بحيث م يتب الخ ب ر نام للثالي والي ي ف ي ل ش كل III-17.



لشك III-16: أهمل خطوات التحضير البيئي حوامل منال كاولان (DD3).



شكل III-17: رسم تخطيطي لبرنامج التسخين لعملية التسخين عند درجة الحرارة التي تقل حوامل من أكسيد الكالسيوم (CaCO<sub>3</sub>) و (DD3) و أكسيد الكالسيوم (CaCO<sub>3</sub>).

### III.2.3. أغشية أكسيد الزركون (ZrO<sub>2</sub>) من مادة (MF)

#### 1- لمادة الأولية

استخدمت مادة أكسيد الزركون (ZrO<sub>2</sub>) والتي تستخدم لعمل غشاء أكسيد الزركون [65, 66] وهذا راجع لخصائصه الحرارية العالية والتي تجعله مادة جيدة، حيث أن ملقأوم الأوس الملاحمضية والقلعاعية. مادة أكسيد الزركون المستخدمة عملت، حيث تموس لقطر حبيباته في قارب حولي 4.0 μm بتتخصيري في هذه المادة تم نقتل شركة Cezus Chimie.

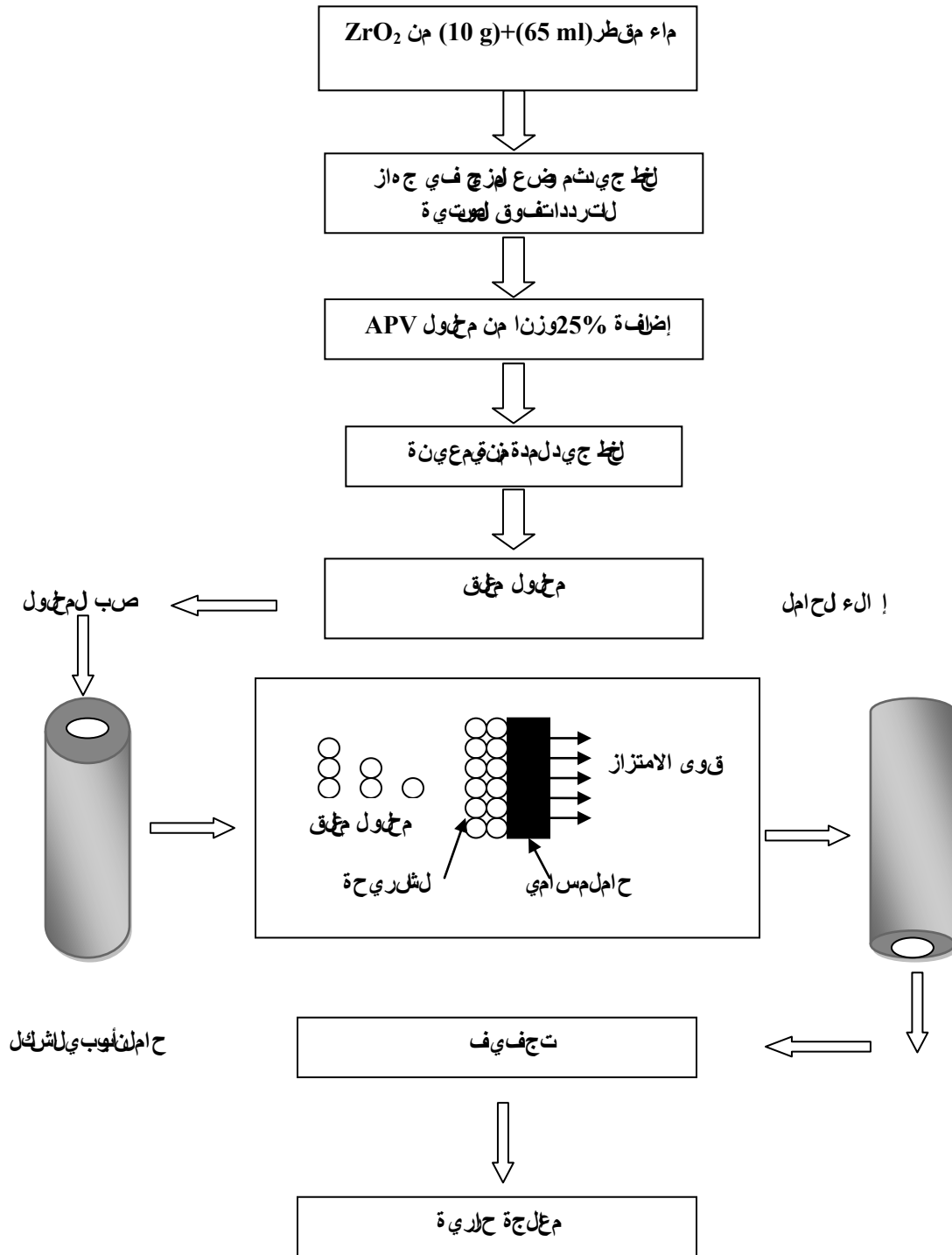
#### 2- تحضير الأغشية

يلخص لنتائج الشكل III-18 أهم الخطوات التي تم تنفيذها في عملية تحضير الأغشية، حيث تم أخذ 0.0 ml من الماء لمق طرنضيف له 4 g من مسحوق مادة أكسيد الزركون وتم نقعها في الماء لمدة 4 ساعات حتى يتم الحصول على محلول متجانس بعد هاهو وضع هذا الخليط في جهاز الترديدات فوق الصوتية لمدة 4.

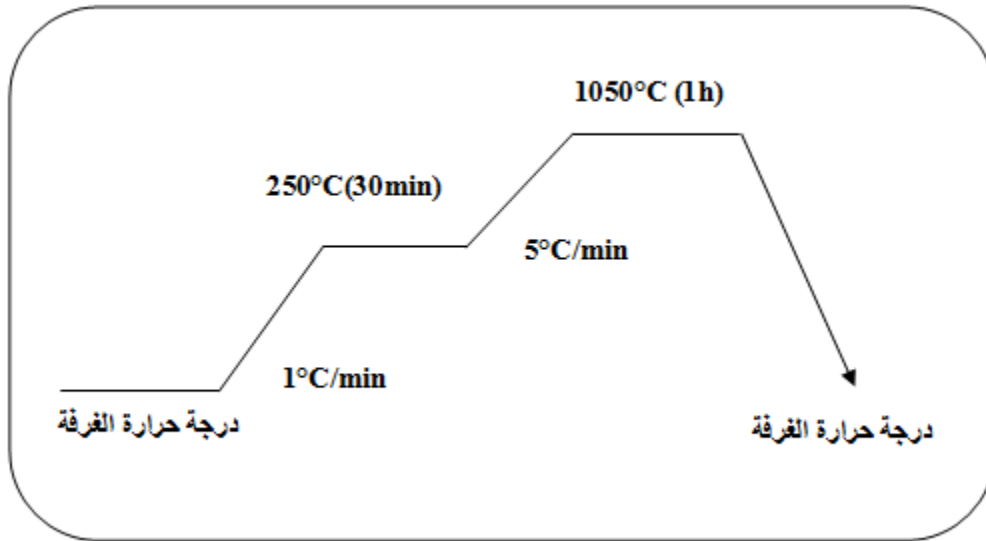
دقائما وهذا غرضه شوييت صيحات مادة ( $ZrO_2$ ) شكل حبيدي وكفلكي كترسب المتكشك قيب عد هاروق ومبضفة 20g من محلول APV الذي يتم حوضيره مبقا اي (قنوك يزه ب % 2. ووزن) ب عد ملتتم عملي فاخل لل لمدة 2. ساعة و فاكل حصول على محلول معل. هذا الأخير يتم صبه داخل الأنبوب (حامل ل غشاء) ثم يت ردمدة زويقق درب حولي 0 دقائما ب عد ه ليم إخ ء هذا الأنبوب يت ر تتحي ي جفت لتب عد ذلك لظلم عال جة ل حرارية.

### 3-المعالجة لحرارية

ب عد وض غ غشاء على ال حامل لوت ركه ضي جفت لم عال جة ل حرارية عد درجة حرارة قُل من درجة لحرارة التي تتم عال جة ال حامل عد ها و مذاتى لانتشر خواص هذا الأخير وقبتت م ذلك عال جة ل حبيبات ال برنام البيرفيل شكل III-19.



لشكل III-18: أهم مراحل تحضير شري حة.



لشكل III-19: رسم تخطيطي يبيى البرنامج النجعي لعملية معالجة الحرارة الأولية لـ (MF).

### III.4.2. تخضير أغشية خضراء النقي قالمكوني قالي يقة (UF) من مادة $ZrO_2$

1- لموالدمستخدمة

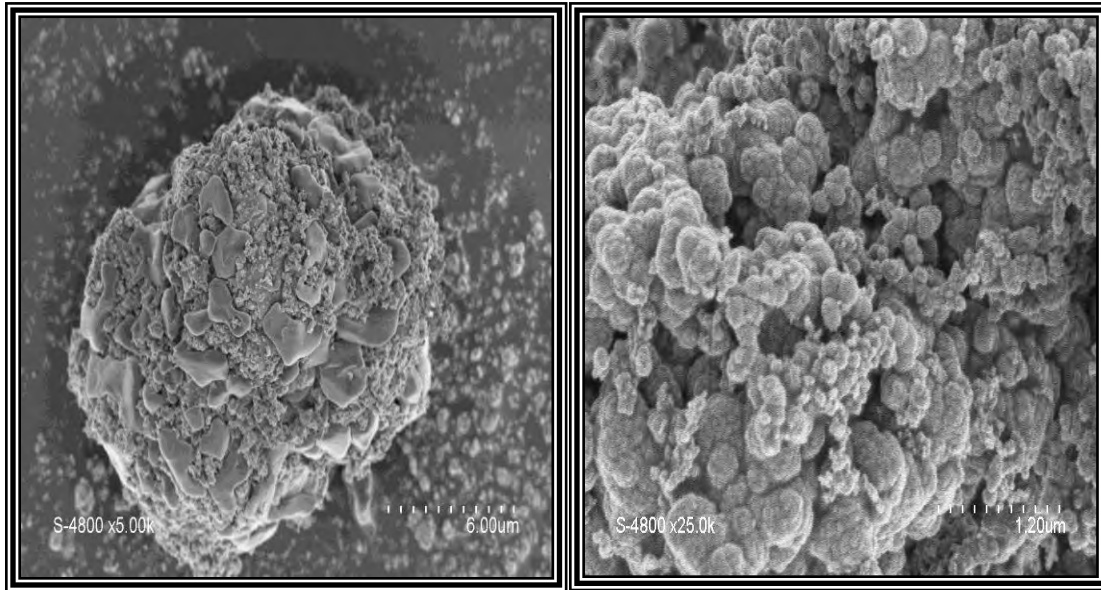
أ- لمادائلولي:

استخدمت مادفوكسوليزي ريكريوم ( $ZrO_2$ ) ولتستعمل غلبالتخضير الأخرية [56،55] وهذا راجل خصائصها لحرارية لللي بيطية ال مجة، حيث أنه اتقاوم الأوساط لحمضري قواعية. مادة أولييد الزيري ريكريوم لامتنعملة هذه لها سطح نوع يي قدر ب  $43.5 \text{ m}^2/\text{g}$  وتوسل قطر صيكته لي قدر ب  $4.22 \mu\text{m}$ . Cezus Chimie.

لشكل III-20: صواتان بل مكال لكترون يلامس حل صييات مادفوكسوليزي ريكريوم ( $ZrO_2$ ).

ب- لم مشنت:

المادة التي تم استخدامها كمشنت هي دوليكي يسي (Dolapix pc .8) وهي تبلعقل شركة Zshimmer و Scwartz، حيث أن البسة ال وزيري قلم ادق يلام حل وللمحضرت قدر ب: % 4..



شكل III-20: صور تانبلم جاهل لكتروني المالح حبيبات مادفوكسريالزي ريكريوم ( $ZrO_2$ ).

### ج- لامه الرباطة:

المادة التي تم استخ دامه اكريليت تمثلفي مادة يوكس يلس ييلوز (HEC) وهي مادة قابل للذوبان في الماء والكحول. وتم اذاجها مقبل للشركة Fluka-Biochemica. حيث أن درجته ككتفه ال ختبع قفتي حدود  $204^{\circ}C$ . كما أن نسبة ال وزيه ل هذه المادفيل المالح وللمحضون تركيزه ب 2%.

### د- لم ادقلم دنه:

تساعد الماده للملبنه على إعطاء الطبقة نوعا من المرونه لتجنب تشققها. الماده للمستخ دمه قنا هي اغليكولي بولي يثيني ن (PEG-300)، حيث أكتلفه المولى يقدر ب: 344 g/mol. تم اذاجها مقبل لشركة Aldrich. Sigma. كما أن درجته فلكت هذه الأخرى رقق عفي حدود  $204^{\circ}C$ . حيث أن نسبة ال وزيه للماده (PEG-300) في المالح وللمحضون تركيزه ب: 3%.

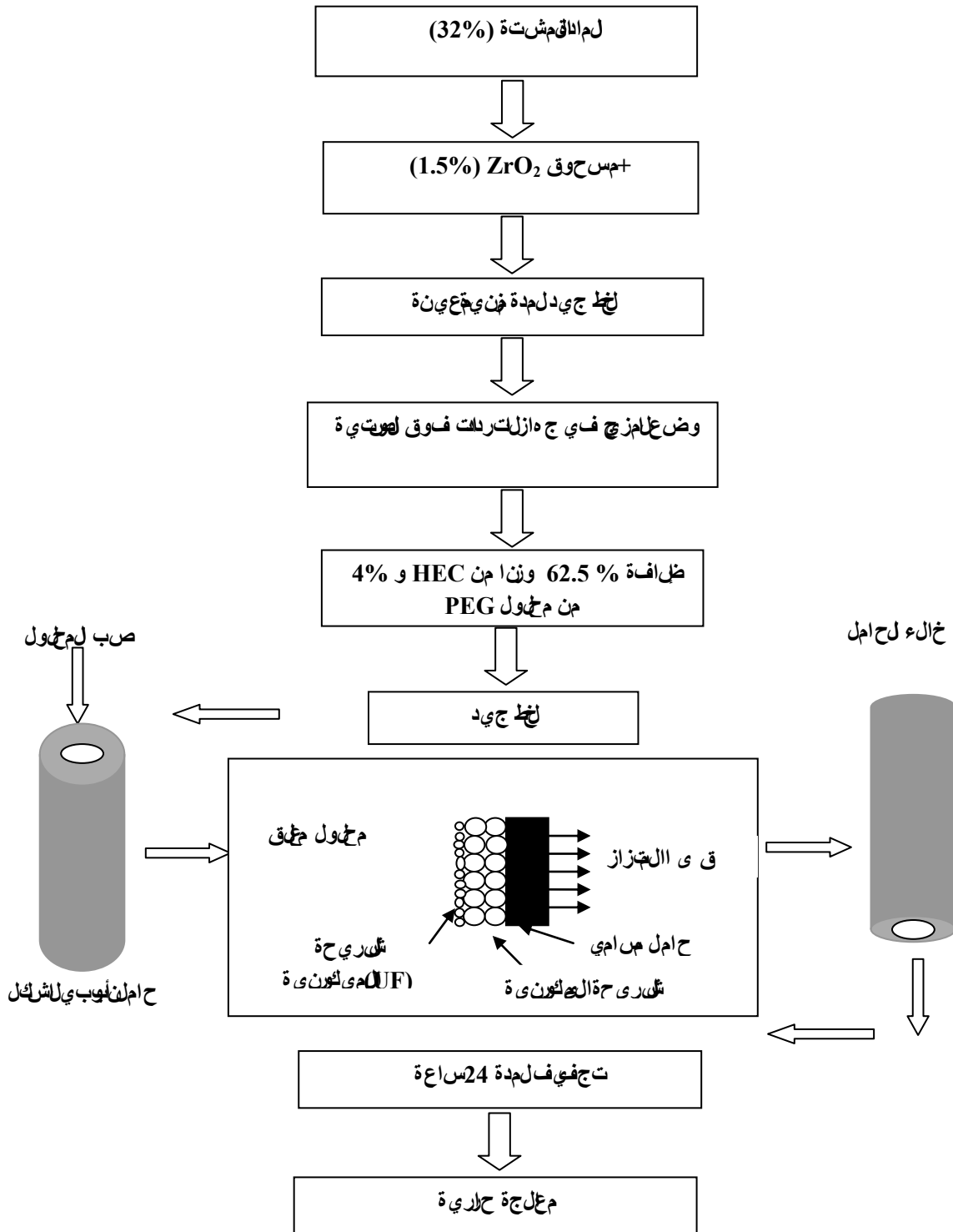
## 2-تحضري أول غشية

يلخص لنا الشكل III-21 أهم الخطوات المتبعه في عملي قضي الأنتي، حيث نقوم إضافة مادة أوكسيدايزي ريكرويوم ( $ZrO_2$ ) للمادة لمستخ دمك مشنت والتي تم تضيها من قبل لتتبع عد فك عملي على المني بنش كل مجد ضي يتم الحصول على محلول نجل بعد هايضع هذل اخليل في جه ال لترددات فوق الصوتية وهذل عرض تشييت حبيبات المادة بنش كل مجد وكفلك يظن رسب انتم تشك كل ب عد ملق ومباضفة ال ليين ولامل درل حل حصول على محلول معلا ونج ان يتم صب هذا الأخير داخل الأنبوب (حامل لل غشاء) ثم يت ردة زمنية معين ب عد هليتم إخ ء هذا الأنبوب ويت ر نتج ي جفنته ب عد ذل لظلم عال جة ل حرارية.

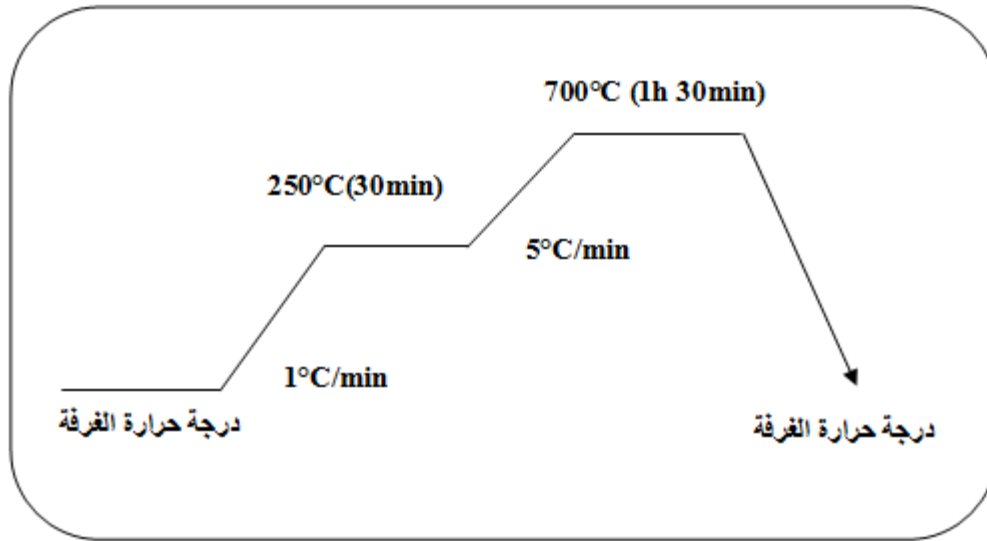
## 3-المعالجة الحرارية

ب عد وض غي اغشاء على الحامل وت ركه ضي جفنته لظلم عال جة ل حرارية ب عد درجة حرارة قنل نتم نرجة ل حرارة التي يتم معال بلق حامل ب عد ها ونقذا ضي المنتشر ضوا صفا ال نجر وتبتم تتظلم عال جة ب شتباع البرنام ال جي رفيل نش كل III-22.

ل قهتم اتي ارسر الوقت سنجين الأولى  $^{\circ}C/min$  . ضي حترق ال موالل ع ضروي فل مضاف قنبل ء وتخرج نمن العنة دون إح دل تش وفق انتفيل العنة نظر لاس مكه ال رقي ا.



لشك III-21: أهم مراحل تحضير الناشرية اليمكروية ال دقيقة (UF).



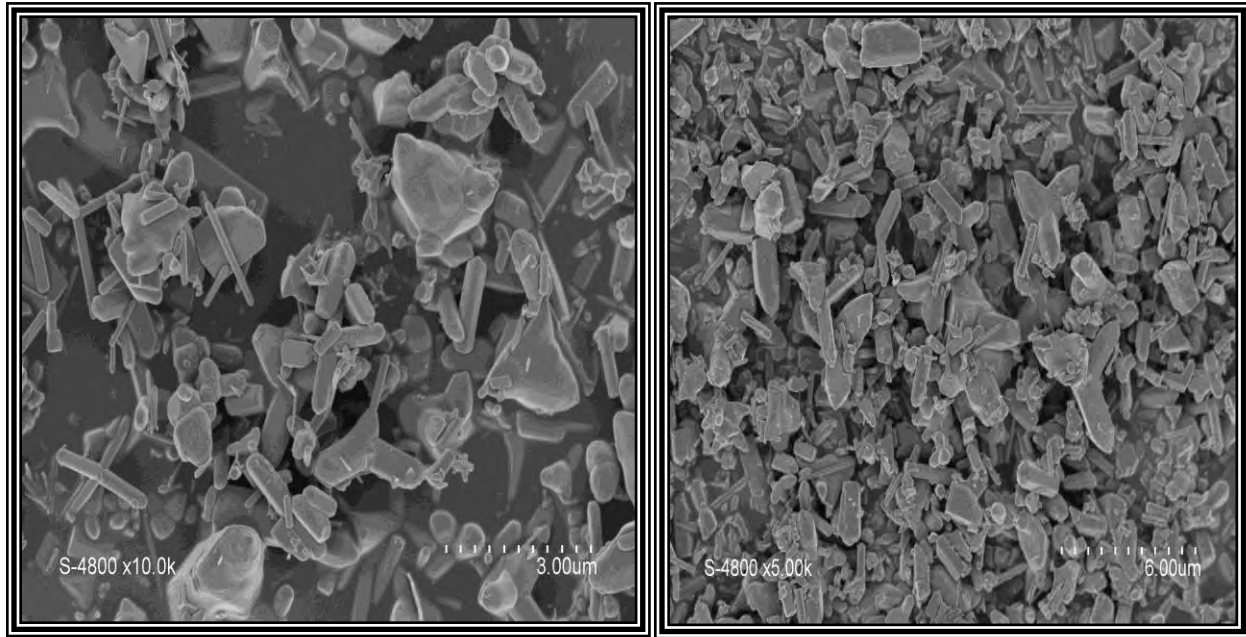
شكل III-22: رسم تخطيطي يبيها البرنامج التبععي لعمل يلمع مادة لحرارة التبععي (UF).

### III.2.5. التبععي أغشيه خاص بالتقوية المكونية (MF) من مادة ZnO

#### 1- لمادة الأولية

استخدمت بمادة أكسيد الزنك (ZnO) وهذا المنتج خصائصه الحرارية لكي يهبط في التبععي، حيث أن لها تقاوم الأوساط الحمضية والقاعدية. بمادة أكسيد الزنك (ZnO) التي تم استعمالها في هذه العملية تم تصنيعها بـ 2.3 μm بمصنعي هذه المادة مقبل شركة Cheminova International S.A.

يبيها الشكل III-23 صوت انبعاث الكترول في لاماس على صفحات ماد أكسيد الزنك (ZnO).



شكل III-23: صور قبالة مجهر لكتروني ال مظهر حل صبيات مادة أولييد الينك (ZnO)

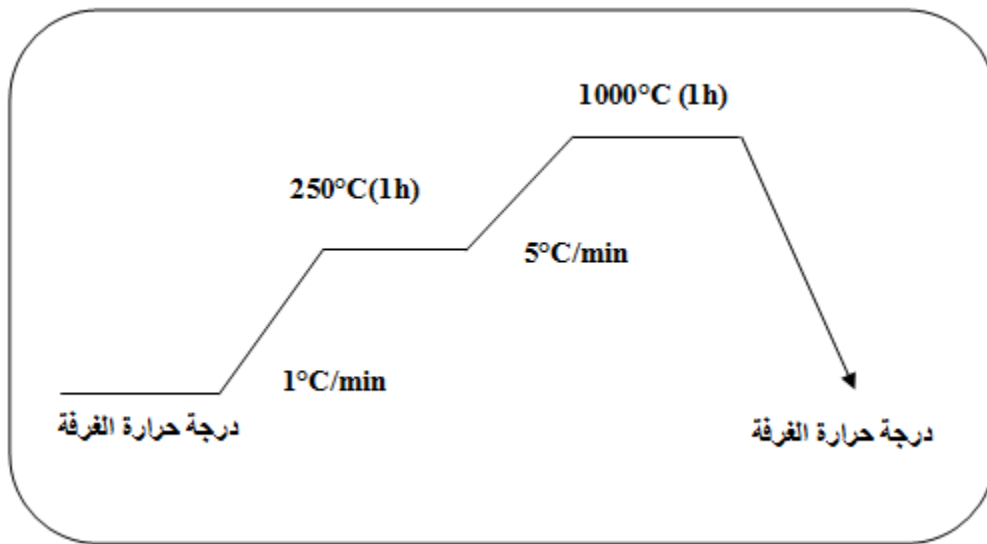
## 2-تحضري أول غشوية

يلخص لنا الشكل III-24 أهم الخطوات البعوضي علي تحضير الأغشية ال خصلت قوية اليمكرونية، حيث تم ومطابقة مادة أولييد الينك (ZnO) ال مادة ال مستخدمت في تحضيرها من قبل لتتبع عد تلك عملية خلل لمزيج بشركل محيد ضي يتم ال حصول على محلول متجانس بعد هلي وضع هذا الخليق في جهاز الترددات فوق الصوتية وهذا غرضه شيت صبيات مادة بشركل محيد وكثافة كالكترس ال تحتشكلة بعه ارقوم بإضافة المواد الية والينك ال حصول على محلول متجانس. هذا الأخير يتم صبه داخل الأنبوب (حامل الغشاء) حيث ردمدة زوية م عن بقعه هليتم إخاء هذا الأنبوب ويت ردي جفقتب عد قائل عمل جة لحرارية.



### 3-المعالجة الحرارية

بعد وضع الأغشاء على حامل وتركه حتى جففت الممعالجتها حرارياً عند درجة حرارة أقل من درجة الحرارة التي يتم معالجها بملح حامض عند 1000°C ونقدها حتى المنتهتسراً خواصها الأصلية وتتمتع بخواصها الأصلية وتتمتع بخواصها الأصلية وتتمتع بخواصها الأصلية



الشكل III-25: رسم خطي بياني لبرنامج التسخين لعملية المعالجة الحرارية الأولية لـ MF (MF).

لقد اختبرنا سرعة التسخين الأولى 5°C/min. ضمنت خرق الموالي عضوي مثل مضف قبلاء وتخرج منال عينة دون إحداثشقوق انفصال عينة نظراً لمكها الرقي.

### III.3.1.3. بقيات الأس والصلب

#### III.3.1.3.1. اختبار الـ 20 و الـ 30

يقوم ببدأ اختبار للثني ذوالثقب قاطع على قياسي التئيب وقوتشوه (شكل III-26) ، حيث تمتطي اقوة على الـ 20 وعن طري الكش فيتمس سجل قوي المقتشوه للثني الـ 30 امتلام سبخ دمة لهش كل تقوازي الـ 20 مطيت ولأعد لم عرفوة. كمايكناس تخ صبع عضال قياير الميكانيكية والتي يميز في هـ الـ 20:

- إجهادالثنني عند حد الانكسار  $\sigma$  (Mpa).
  - معامل يونغ  $E$  (Mpa) Module de Young.
  - لكش وهالنبي الأعظمي  $K$  (%).
- الإجهاي عرف على أن قوة على لاس سطح ي عطمال عق تلك الية [25]:

معامل المرنة أو معامل يونغ ي تمتح حيدده اعتم ادا لقي قيومة يال فيحنى إجهادتشوه  $(\sigma = f(\epsilon))$  ي عطمال عقه التاليه [25]:

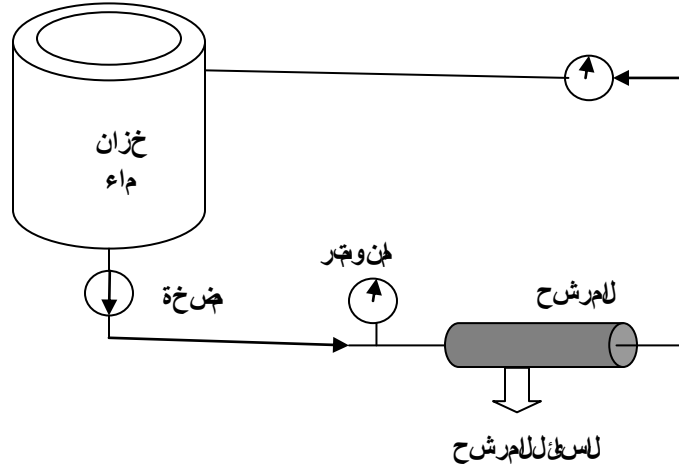
حيث:

- $F(N)$  القوة المبطقة.
- $D$  : معامل هيتاسب مع طول الـ 20.
- $b(mm)$  : عرض الـ 20.



### 3.III. اختبار الفأية

يوضح الشكل كل III-27 مرسماً لسلسلة تركيب نظام تستخدم في دراسة اختبار الفأية.

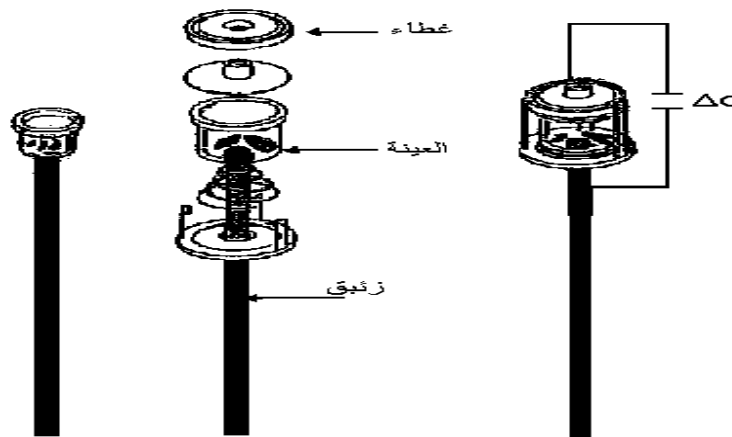


الشكل III-27: رسم متخطيطي لسلسلة تركيب نظام يستخدم في اختبار الفأية.

### 4.3.III. حساب المسامية

تقديرياً نسبة المسامية وكذلك تموسل قطر مفيال عينات، استخدم جهاز قياس الفراغات لثبقي و هو من نوع: (porosimètre à mercure (Micromeretics Autopore II 9220)).

يبين الشكل III-28 خلية جهاز قياس الفراغات لثبقي والتي يتوضع بداخلها عينات من أجل لثبقي.



الشكل III-28: خلية جهاز قياس الفراغات لثبقي [57].

### 4.III. أهم الأجهزة المستخدمة

#### 1. فرن

استخدمنا في واستن افريين كهربيين احد هما يثبت عمل الغل سنة متصل درجة حرارة لقصو إلى  $1100^{\circ}\text{C}$  وهو من نوع FIMANFREDI. أم الفرن الثاني استعملنا في درجات حرارة عالية، قبل للبرمجيات و هو من نوع NABERTHERM متصل درجة حرارة لقصو إلى  $344^{\circ}\text{C}$  ..

#### 2. جهاز سحق

ل سحق المواد الأولية تم استخدام جهاز سحق ايمكرونيك من نوع (RETSCH).

#### 3. ميزان حساس

لقياس لثقل فل مساحي تم بلتخدام ميزان حساس من نوع (KERN ARS 220-4). ولذيتصل كل من قيمي لثقل قصو إلى  $224\text{ g}$  وقت إلى  $4.444\text{ g}$ .

#### 4. جهاز حيود الأشعة السينية

تم استخدام جهاز قياس الأشعة السينية من نوع D8-Advanced لشركة Bruker-Siemans والذي

يعمل في اقدسة براغم من بع الأشعة يثبت من ضد لجهل من الفحاس  $\lambda_{K\alpha Cu}$  وللمغذ من بع توتر مثبتتحت جهد قدره  $40\text{ kV}$  و  $10\text{ mA}$ .

## الفصل الرابع:

### النتائج ومناقشتها

## مدخل:

تحتضن ممرح الح اول (لامسوا) (الخويبر النخوليد العير اوت بر ام مرل اله بيث  $(Al_2O_3)$  وكريه اليكسي سي م  $(SiC)$  واليك رميت  $(2MgO.2Al_2O_3.5SiO_2)$  سيكسي  $(SiO_2)$  المي ليت  $(3Al_2O_3.2SiO_2)$  [57]. و مر بر مل ل فورا [75،71]. بواليل اتتوت رال ابج اله ا ج ات وف بر ام قا فوت ل فورا بت اي ا فيضضا، ذكر مبيين هال ك اولان [71].

اقفالو م هت وذا الم حة وكمر انوا اولدع هو م رار ل ب صرط ص الح اول (لامسوا) الم ح ضرر اطوقا هت م ام اولدع ام ل هت ت رابكر ار بر بومر الات ف رر وتتمر ف ر لول ر م ثل ل و اولان (DD2)، لوكال سي ت  $(CaCO_3)$  وكذا مر الم صرط ص ا غ ش ي ا الخ اب الت ق ي ل م ي ك ر و ي ا (Microfiltration: MF) و ا غ ش ي ا الخ ا ر ب ا ل ت ق ي ر ل م ي ك ر و ي ا ال ت ق ي ر ا (Ultrafiltration: UF) ل م ح ضرر ا طوقا هت م ا و ك س ي ل ز ي ر ك ي م  $(ZrO_2)$  و ل ت ي ت ح و ض م ه ا ع ل ح ا م ل ل س ي ل ق ال ذ ك ر .

بم ه ي ت ح ا ل ت ط ر ق ف ا ل م ر ا ل ا ل ا ي ا ل ع م ر ا ا ل ك ت ك ب م ص ر ط ص ا ل ح ا م ر ل (لامسوا) الم ح ضرر اطوقا هت م ام اولي ا م ح ل ي ا ل ك ت ك ت ل م ف ر ا ل ل و اولان (DD3) و لوكال سي ت  $(CaCO_3)$  ب ح م ر ا ر ل ب صرط ص ا غ ش ي ا الخ اب الت ق ي ل م ي ك ر و ي ا (Microfiltration: MF) و ل م ح ضرر اطوقا هت م ا و ك س ي ل ل ز ي ن ك  $(ZnO)$  و ل ت ي ت ح و ض م ه ا ع ل ح ا م ل ل س ي ل ق ال ذ ك ر .

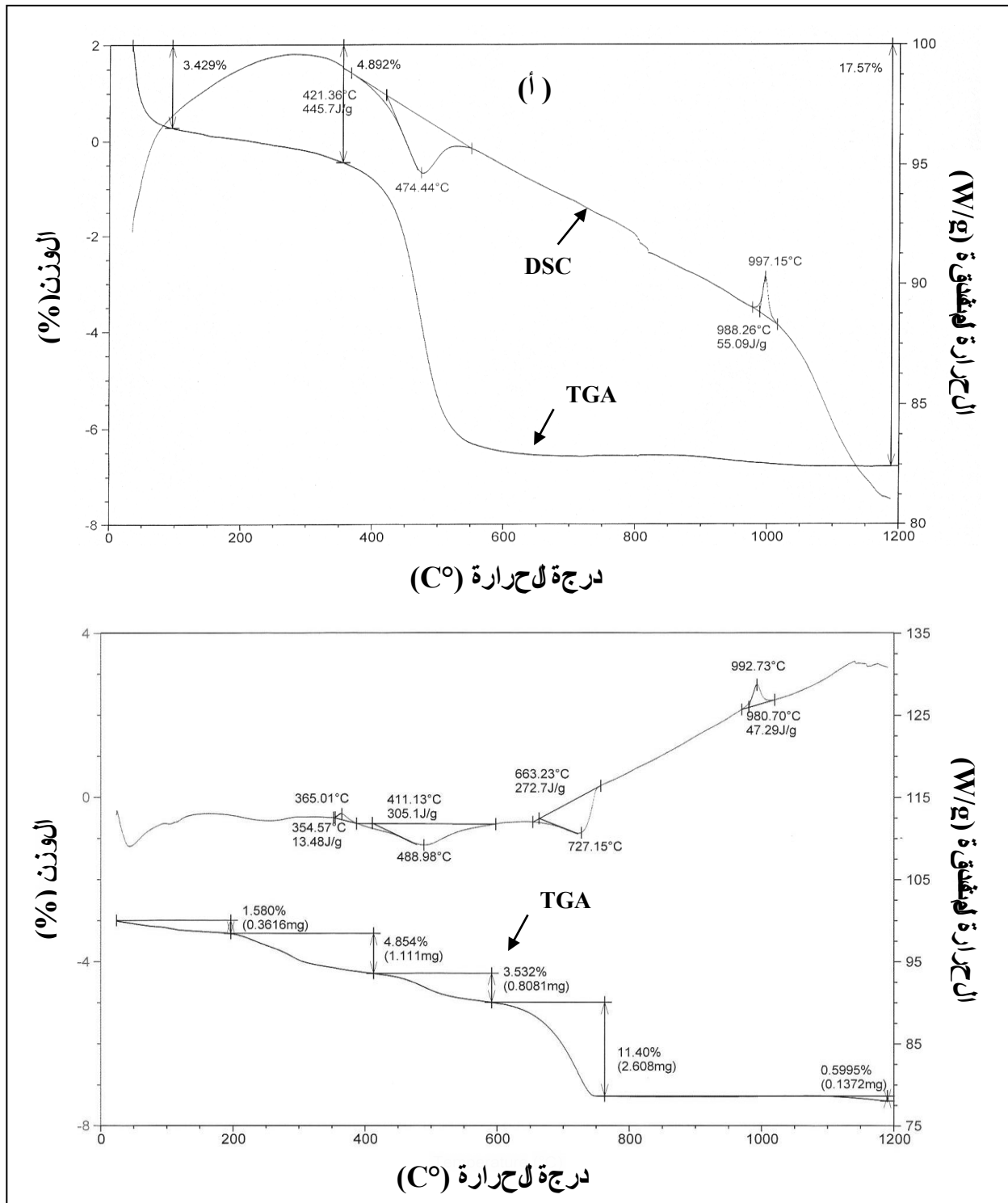
1.IV دراسة الحوامل الم ح ضررة من ال ك و ال ن (DD2) ل ل و ا ل سي ت  $(CaCO_3)$ 

## 1.IV.1. الت ح ل ي ل ا ل ح ي ل ع ي ن ت ا ل ا و ال ن و ح ط ال ك و ال ن + 82% و ز ن ا ن م ال ك ل ل سي ت

ي ه ي ث ل ل و ا ل ش ر ك ل 1-IV ت و ط ا ل ح ل ا ل ح ر ا ل ل ك ت ا ر (ATG) و ا ق ت ا ض ر ل ل ل و ا ل ر م ت ر ل (DSC) ل ي ن ر ا ل ل و ا ل و ل ا ن و ع ي ن ر ا ل ر ر ل ر م ث ل ل و ا ل ا ن ل م ضرر ا م ل و ا 82% و ز ر ا و ل ك ا ل سي ت [83]. ك م ل ي ه ي ث ف ي ح ا ل ع ت ح ل ي ل ا ل ح ر ا ل ل ك ت ا ر ل ش ر ك ل 1-IV (أ) ا ن ل ض ر ي ا ل ل ك ل و ل ك ت ا ر ط و ر ا ل م ت و ا ف  $82^\circ C$  ن و ع  $811^\circ C$  ل ي ق ر ب ح ر ا ل 11% و ت م ل ه ل ن س م ا م ت م ا س ح ت م ا ل ر ط ب ا و ل م ا ع ا ل ا ل ف ر ت ر ل ي ل ل و ا ل و ل ا ن [71]. ا م ر ل ي م ر ل ي خ ص ع ي ن ل ا خ ل ي ط ال ك و ا ل و ل ا ن م ض ا م ل ه ا 82% و ز ل ك ا ل سي ت ي ق ه ا ل ل ل ك ل ك ت ل ا (ش ك ل 1-IV ب) ي ق ر ب ح ا ل 81% و و ذ ا ل و ع غ ي ر ا ل ر ر ا  $1811^\circ C$  ، ل ي ق ر ا ن و ذ ه ل ن ي ر ا م ر ا و ا ل خ ر ر و غ ا ز ن و ا و ك س ي ل ل ك ر ي و ن

(CO<sub>2</sub>) الإنتاج مثفل كك ارب ال كمال سري م (CaCO<sub>3</sub>). وهذا م ليوك ه في جاع ح لي ل ح رار ل ا قاضول يث ستل ف في ج ع ائ ك ل 1-IV (أ) ا و ت فاع لي ن ت فاع ل م اصل ك ح رار ت فاع ل ا ش ر ل ح رار . ي ل ة ا ن الفاع ل اف س تله ف ا و م 414°C هي م ل خ ر و ال ا ل ي ت ر ك ي ال ك اولان [86] ي ف ق ه ض ي ا ا ف ر ال ن ت ل ي ق ر ب ح ال % 13 و ز ا . ا م ل ل فاع ل ال ف ن س تله ع ج ال 997°C و ه ق ط ا و م ال م ي ر ص ال م ر ا ي ث ي ل ة ي ر ا م م ض ه ل ج ع ب ا ي ل ش ك ل م ي ل ي ت .

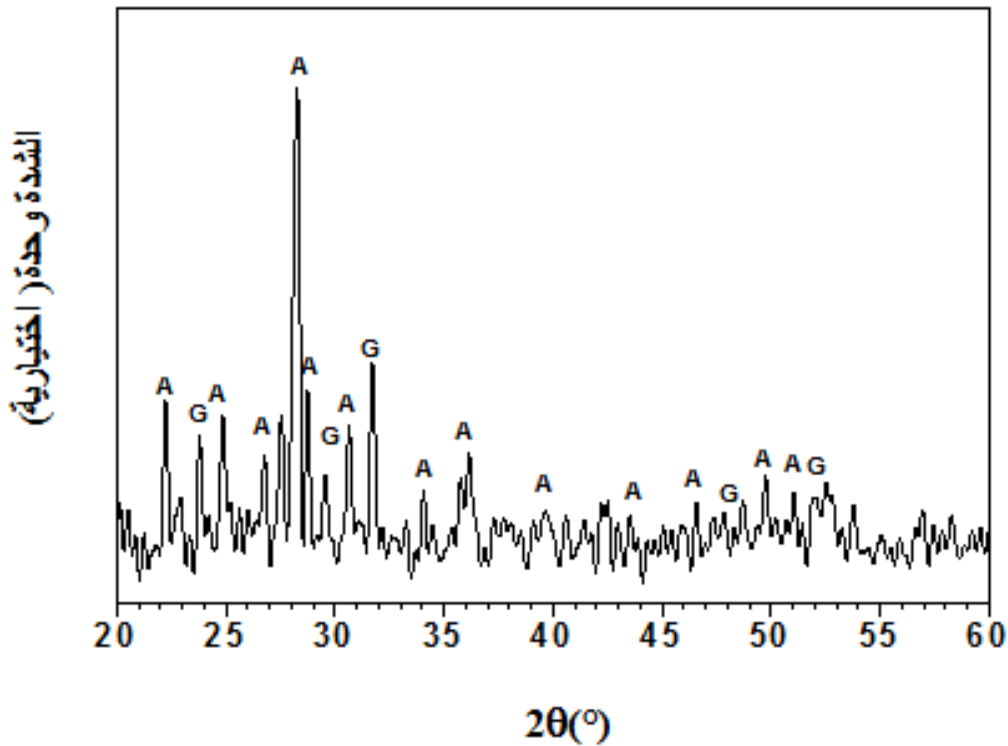
ب ل م ن س م ال ف ي ج ع ائ ك ل 1-IV (ب) س ت ل ظ ه ي ف ل ع ل ي ث ا ي ي ث م ق ا ب ل ل ا ش ر ك ل 1-IV (أ) ي ل ة ا و ن ت ق ع ق م ت ه ع ج ا و م 365°C و ه فاع ل ا ش ل ل ح رار و ل ذ ل ي م ل و ث ا ر ا ع ل ا ر ع ن ت ل ر ا ق ال م ال م ض ر ي ال م ض ر ا ف ا و ي ف ل ق ه ض ي ا ا ف ل ك ت ل و ي ق ر ب ح ال % 1.2 و ز ر ا ، ا و الفاع ل ال ر ا ل ل ر ذ ل ق ع ق م ر ه ع ج ر ال 181 °C هي م ك ث ا ا ه ذ ال فاع ل ال ع ف ل ك ك ا ر ب ال ك ال س ر ي م ت و ح ر ي ر غ ا ز ث ا ا و ك س ر ي ل ك ب ن (CO<sub>2</sub>) و ل ذ ل ي ل ف ق ه ض ي ا ا ف ل ك ت ل ي ق ر ب ح ال % 11 و ز ا .



لشكل 1-IV نتائج تحليل الحرارة الكتل (ATG) ولفاضل (DSC) + لينت أملك اولان (DD2)،  
ب-ك اولان + 82% وزا الخشك السيت.

## 8.1.IV. نتائج بواسطة أشعة إكس

يتم التعرف على 8-IV مخططاً من خلال أشعة إكس من خلال مقارنة مخططه مع مخطط أولان (DD2) والنتيجة هي 82% من أولان و18% من سيريست. تم إجراء التحليل عند 1821°C، كما هو موضح في الشكل 8.1.IV. تم إجراء التحليل باستخدام طيف الأشعة إكس من خلال مقارنة مخططه مع مخطط أولان (DD2) والنتيجة هي 82% من أولان و18% من سيريست.



لشكل 8-IV: اطيءام من أشعة إكس من أولان (DD2) + 82% من أولان و18% من سيريست. تم إجراء التحليل عند 1821°C.

البيانات: A: أولان، G: سيريست.

## 1.1.IV. حساب النسبة الحجمية للفراغ ومتوسط قطرها

بم الممالات الحرارية للاحرار املتح اس اللين سم الحت ليل الفراغ ( $V_p$ ) وكذا بت قطرهما ( $D$ ) فر لكل عين و مذابت خ ام اه ازقي اسل الفراغ ل لوقر (porosimètre à mercure). التوايح ح صرل عيها م و افلك وف 1-IV.

ل جدول 1-IV صرط صرط الفراغ للاح ام اللام ع  $1821^\circ\text{C}$ .

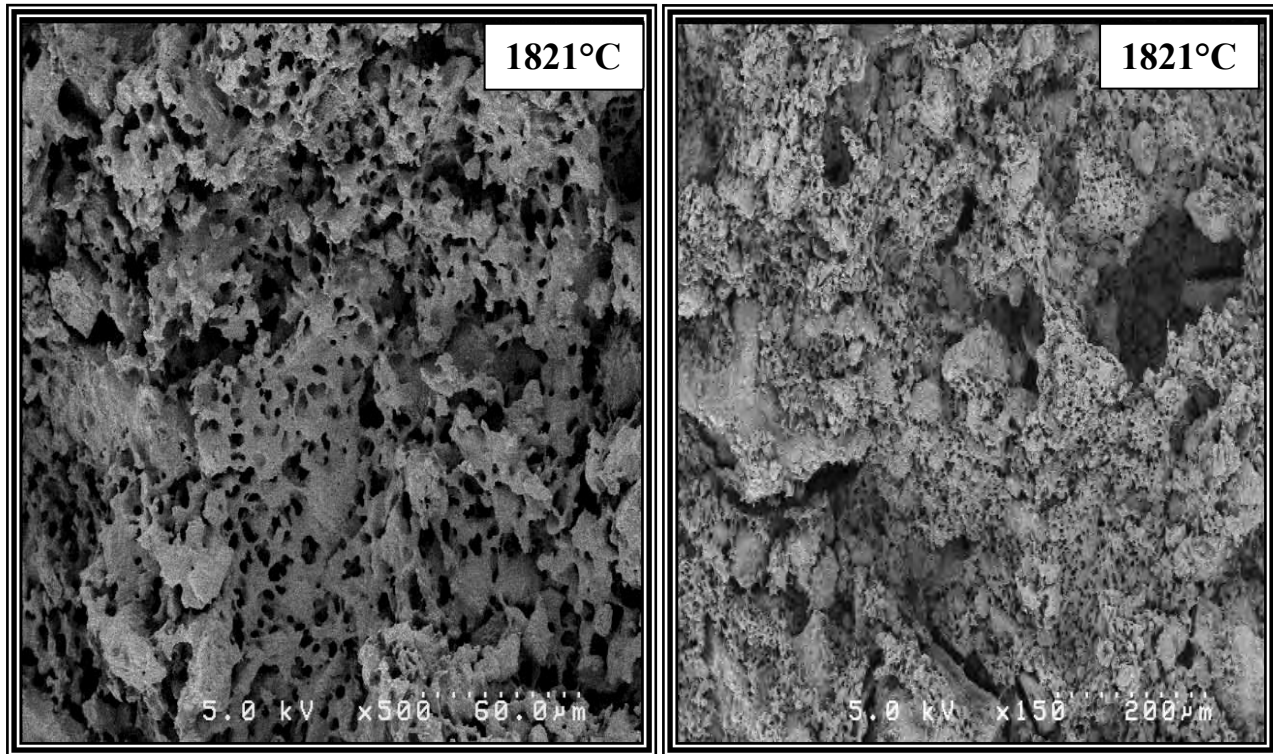
مطزى الفراغ	تق قطر الفراغ $D(\mu\text{m})$	السم الحت ليل الفراغ $V_p(\%)$	م رار الممالات ( $^\circ\text{C}$ )	لاطيقا
ا.	6.9	28.5	1821	طيقا التخرا

ا: بت زي ع الم.

## 1.1.IV. واسة خصائص الفراغات

أن سبها وأبع-ادهما

تلق جقي اس س للفراغ ( $V_p(\%)$ ) وبلمامها ( $D(\mu\text{m})$ ) م و افالات وف 1-IV، ية ان بلمام الفراغ لهذه اليننا تعين طبقا لخصائص الفراغ رالمت هال ل لقترو الم ضحاف التلكل 1-IV. بالان ليلت وف 1-IV ستل ع م رالاحرار  $1821^\circ\text{C}$ ، سطر اغا وبلمام قيم لا.



شكل IV-3: تان هت هرتل مقاطع هت عينا ل ح الم ابي امالت عج مرا ارار  $1821^{\circ}\text{C}$ .

#### بن مطت فوع فراغات

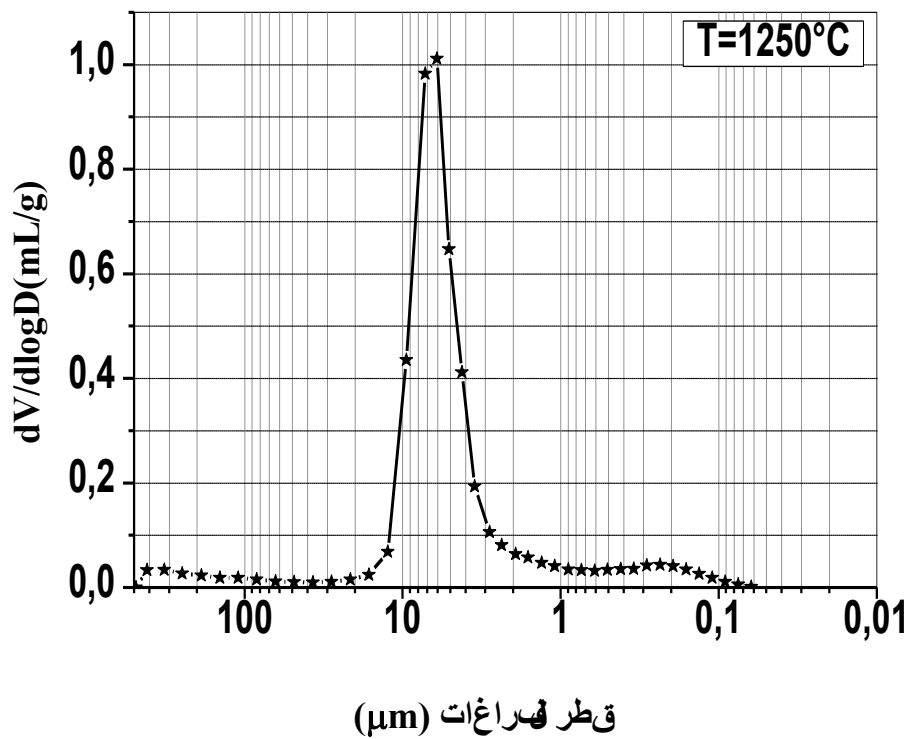
لقحتل نجي ص مطت في فراغا للين ا فالت و IV-1 و هذا كم ليهين طن ب ق الت شكل IV-1.

ي مكشفتين في مطت في فراغا فال حال الم ا الم ا ل عثو انا متزي ع الم ( ا ) اوت في عثو ( . ) اوت في عثو م ( م ) [71].

في مرا ارار  $1821^{\circ}\text{C}$ ، مطت في فراغا تقريمت زيما اليا ( ا )، طية الفراغا ير الح تحتك اتمت م و التال ام ل مت ا ف ضوقا اليت ه 1.1 ح  $1\ \mu\text{m}$  كم ا ل فراغا ن طال ح تح ا ح ل ا م ه ا م ه 1  $\mu\text{m}$  ح  $81\ \mu\text{m}$  م ط طوق ربح ال  $9.5\ \mu\text{m}$  و التال ح ف مذل حال ا م

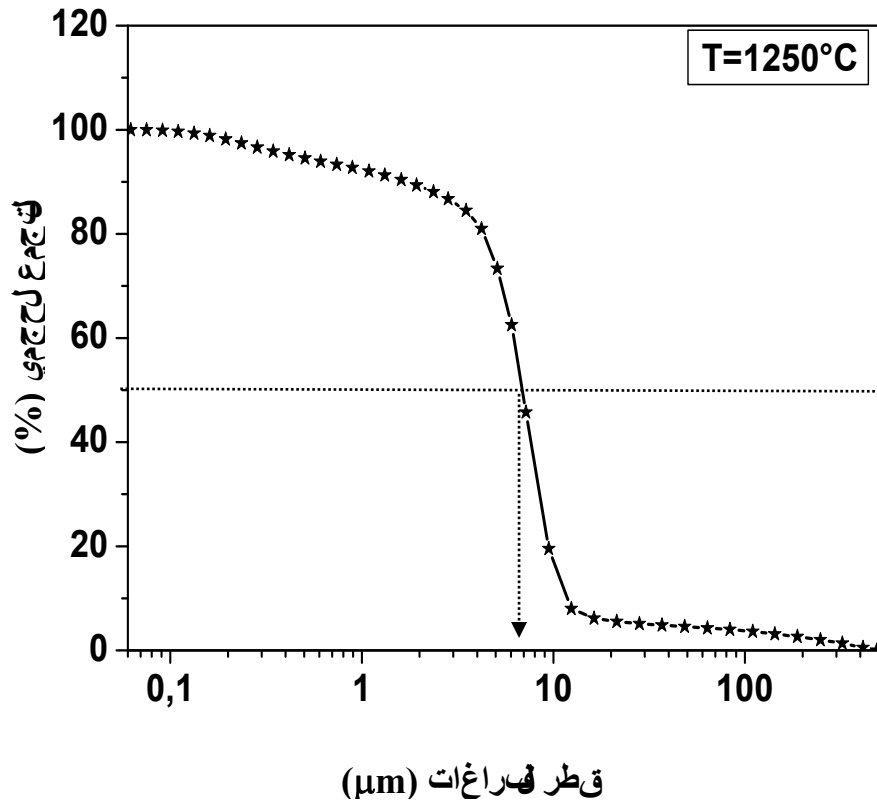
يسمى وتو الفراغ يرالحتصم ةا اتح الكمر و زوالقم ال ليالفرنجع ال الحص فع ل ع م ة ت زرع الامل ( ا. ) [71]. وهذا ملوئك ملن اللشك 1-IV.

إن قوما نة طقطل فراغا لك لت في عوف كل عونا ولت ا مرات فالت وف 1-IV يملكه لتنتاها مة ال فرنجع لاسيلقشك لتقري م ، إةا كان التزيع ال ا الكماف اللشك 1-IV. اما إةا كان التزيع نة م في صم ا تق ي ر م ت طقطل فراغا. لت لك ت م ي لت ي ر ال ت م ع ال ح ت م م ع ت ي ر ال ق ط ر ع م ع ل ف م ر ا ا ل ح ر ا ر وهذا م ا ي ض ح ل ن اللشك 1-IV. ف مة هذ ه ال فرنجع ي م ك ه لتنتا قوما م ت طقطل فراغا ب ق ا ي ة ان قوما م ا ي ر ت م ل ف ال ق ط ا ن ق ا ط ع ال خ ط ل م ت ق ي ح اف ق ال م ف ل ق ف % 21 = V وال فرنجع م ي ا ل لشك 2-IV).



لشك 1-IV: مطت في ع فراغا ل هينا م نال ح ام ل ا م ب ي ل لشك ل ل م م ا ل ت ا

ع م ر ا ا ر ا ر 1821°C [83].



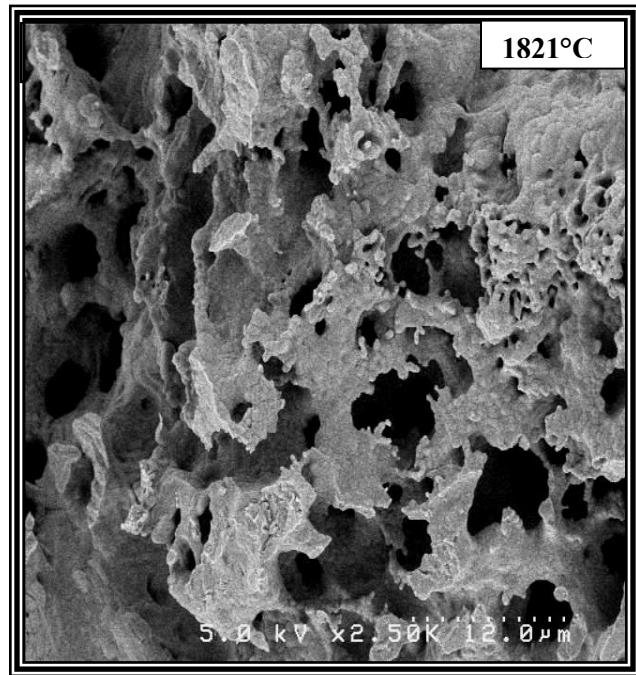
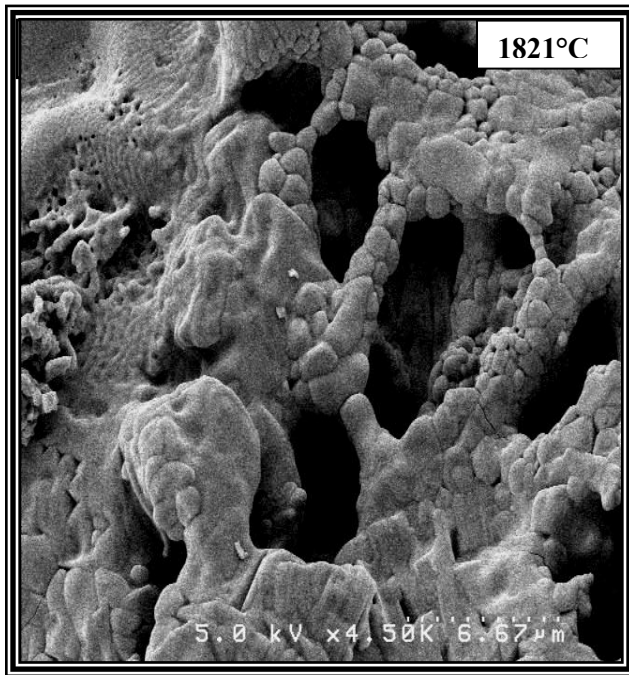
لشكل 2-IV تيرس المتجمع الحتم للوقت لمقصد من قبل العين للممالات مع م را ارار 1821°C باللاقطال فراغا .

### 1.IV العينية الحرارية

اظهر م را العينية الحرارية (شكل 3-IV) ان طح وقطع من قبل العينية يم وتمت اس اوليا م لكل ال بالمت هرياء، كما ه م ضح غي الشكل 6-IV.

في نظر عامل سطح

في نظر عامل لقطع



شكل IV-6: رمته ري اطح ومقاطع عليها مثال امل ام بيلشكل والمطلتا عي مرارا ارار  
1821°C.

#### 1.1.IV. الخصائص الميكانيكية

تمت م رال خصائص الميكانيكية لبيوجاراء لتوارالذرة قشرو قواططية لتخمت عندالهرار  
شكلت ازللامبتطويو . وقت حقياس اهامال ن وممالمي غ.التخلج حصرل عليهرام ورفلالتر وف -  
IV-8، طية ازل خصائص الميكانيكية ( اهامال ن ) تستم ري قارل بم المراع.

لجدول IV-8م الخ صرئص الميكني لئلي الح ام للامم ع 1821°C.

المتكيب	درجة حرارة المعالجة (C°)	نسبة حجم فراغات V <sub>p</sub> (%)	إجهاد الشدني (MPa)	معامل يونغ (GPa)
اوالن(DD2) +28%كالبريت	1821	28.5	36.62	11.81

إن مليمكث مواته م وفلك وف IV-8 ه انال خ صرئص الميكني لئلي لتقمم بي عا م، إن ت حرت  
ويحت كل م إاهامان وممالمي غ ع مرال الح رار 821°C لمكث إراعه إلى تغيث يرع عملات لئلي ف  
الهيذا المملت، بي قتم ا لهما لمام فتلكا تف وقتشيكيل ا عاق ولت ح اغي لميينها مع بتوف ا  
مراا الح رار وهذا كمت ضح ه رالمته وال لفترو (لش كل IV-1).

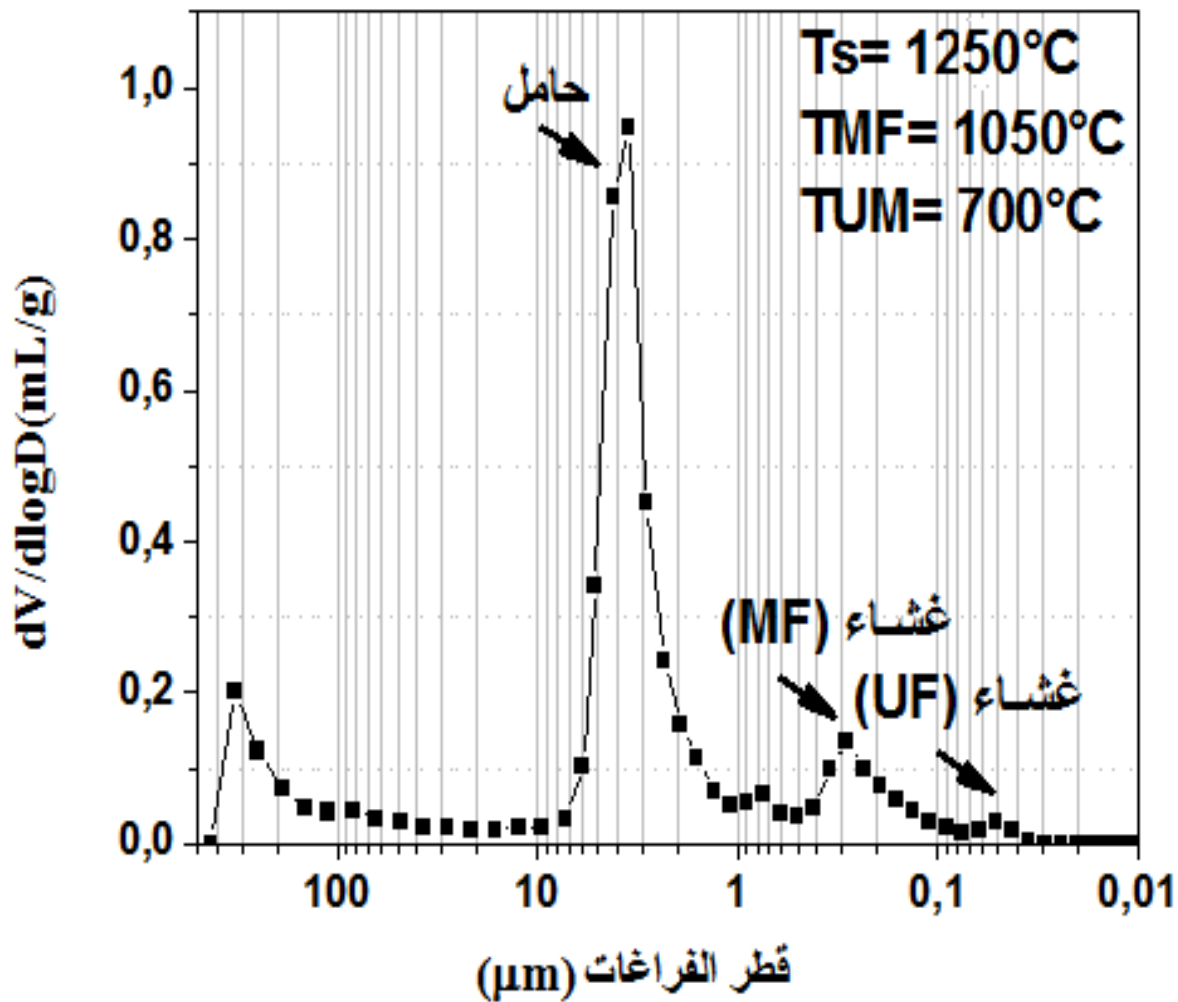
#### 8.IV. واسة الأغشية الخاص بتلقي قلمبيرون قلي يقة (UF)

تنتج ضيرا غشوي اس اللطي قالم فافل فصر لال الواقش ككل III-88) وتلك بوتخ لتقمم  
الصا، بي قتم ق ل الامتزاز اس سطح طلق لالمؤثر فعمل ي اوضعال ولم علوع رطيل ح ام للمرزوم  
ه آل ر بطقا رقيق لتتم لف غشاء التوقيلا لميكروي (MF) [87] بشيرال ع ان ملكش ر ي ح ليت قف عل ع  
ع امل من هاس ما وبل م افراغ الحامل وكهي الام الت اضر من اللاش ر ي ح ا فام حل ف لم ليق ولؤذا  
الم للزني التنتج وله عمل ي ا وض غ لاش ي ح ا عل عال ح ام ل..الخ [88].

#### IV. 2. ابقر متوسط طوق الفراغ للشري حة

بوت ح ضرير ل شراء ومال نتوه ار ا هرا ع 111°C الم راعا وصر ف متوح اسر اللين سر م الح ت هرا  
للفراغ (V<sub>p</sub>) ومتر طوق رورا (D) لور لور لور و ذاب رتخ ام لور از قير اسل فراغ رورا  
للقمق (porosimètre à mercure).

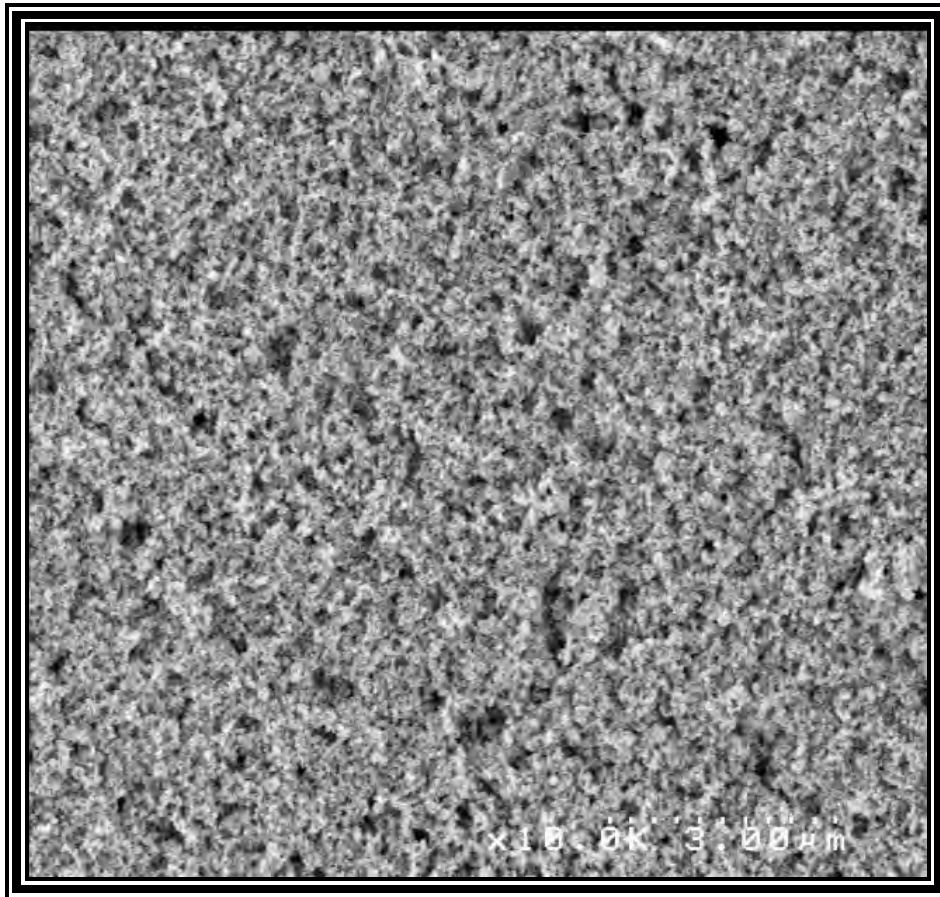
يوضح الشكل IV-7 في جنعت في الفراغ الحامل لمعالجة مرارا رارا  $1821^{\circ}\text{C}$  بمواضرمت  
 على الشري ح الخ ارب التي كيمي كيمي (MF) وتتم ال تها رارا  $1121^{\circ}\text{C}$  والتو بقدر ربح ال  
 $1.30\ \mu\text{m}$  [84]. و ذه ايجر والتو وضرت على و او ر ارل شري ح ارب التي كيمي كيمي  
 (UF) وتتم ممال تها ر ال ر  $111^{\circ}\text{C}$  ل راعا صر فف الشريك IV-7 في م ل ر ان ق ر م رط  
 قطر فراغ الشري ح ارب ال  $1.12\ \mu\text{m}$ .



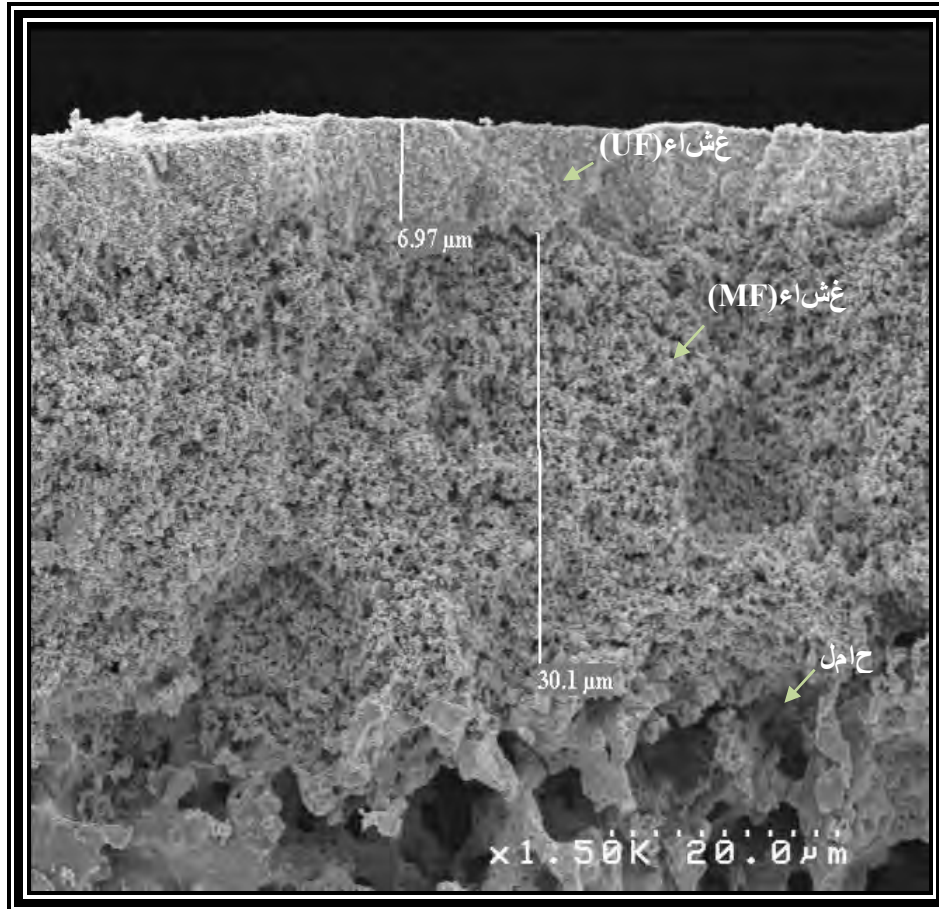
شكل IV-7: مطت في فراغ الحامل ل غشاء (MF) + غشاء (UF).

## 8.IV. الجزي-ة لجرية

تحت مود 111 (الشرائح) للمحضرت تحت الامتزاز الكترول الماح. بي تيم للشك ون 2-IV و 9-IV مدمعاً مثلص ر بمضها عمارة طحل شريحا ولمم عمارة قاطع لشريحا والمها مما يهيئ الشك 11-IV بالامتزاز الكترول لسطح لشريحا والتتحيث وامتتاس لخيرفال سطح ول ه هالبي بالامتزاز وكذا ل ه مثل فراغاً ا بامال لخيرو. اما الشك 11-IV فيهيث قاطع للهيئا والتتحيث كقك وامتتاس لخيرو مكال طبقاً، كمتم للهيئا مشتق يرمكال طبقاً الماحضر والذل يترافاوم  $7\mu\text{m}$ .



لشك 2-IV: بالامتزاز الكترول الماحتمل طحل شاء (UF).



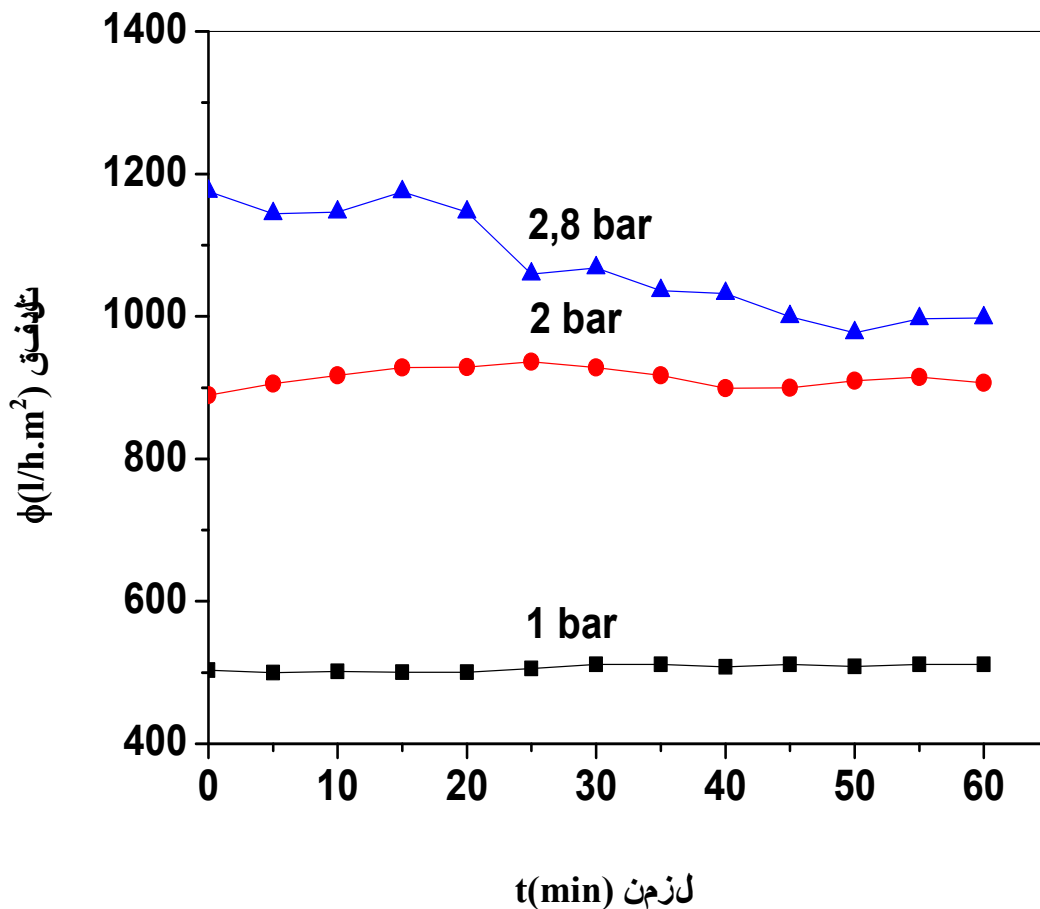
شكل IV-9: ريبات لاهل كتر و تم لمقطع ال حامل + لاشاء (MF) + لاشاء (UF).

#### IV.8: بار النفاذية

قول لاراء لوار الف ايديق حوض ال يندوا مزل ال والمق طول و 84 راعا و و لال رف الوع نلقرار التفوق اراقت ممكث. لم اعلام بيت مم ل ف التماره ماء مقطر.

### 1 تغيرات بدالة الزمن

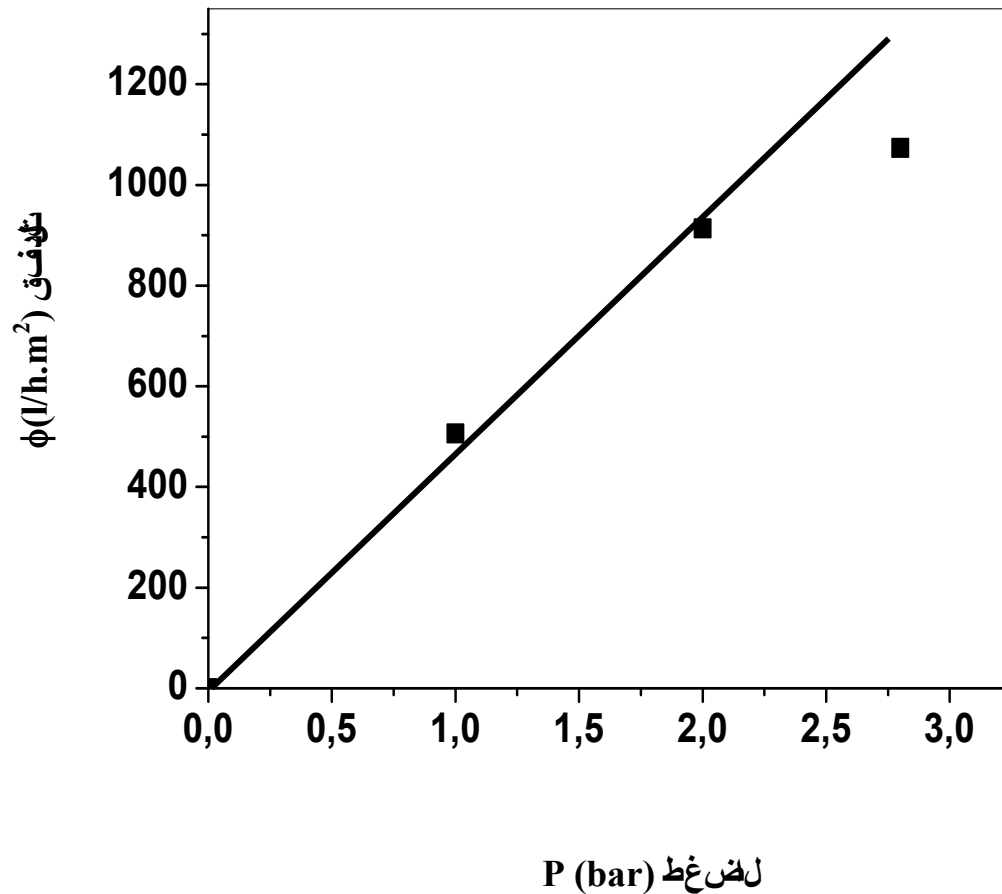
بيانات كل 11-IV تيرالتفق مع دورالزمت وبت اللقيح تم اخذها للضرط والتفق ر ب 1 و 8 و 2.8 bar سته وبت والخرجع التيرال مأل للتفق مع الزمت ي هتذق صروفالفتورا اولرع وبت التمارشيتقرف ا ومقيح مهنالكماست لتزي فقيمالتفق مع علوفر اقيم للضرط فبت اللقيح مرا ضر طق ر ب: P=1bar ستلوي للتفق ر ب ح ال 506 l/h.m<sup>2</sup> وبت اللقيح مرا ضر طق ر ب: P=2bar ستلوي للتفق ر ب ح ال 514 l/h.m<sup>2</sup> وبت اللقيح مرا ضر طق ر ب: 8.2bar ستلوي للتفق ر ب ح ال 1073 l/h.m<sup>2</sup>.



لش كل 11-IV: تيرالتفق بال الزمت الى ضرط طالمطمق.

## 8- حساب معامل نفذية k

لحساب معامل النفذية ،  $k$  تمت م را تأثير لاض طفقيم التفق ل (شكل 11-IV). الفخ ر غ ل م حصول  
عليه عمار عث طم متقي حيم ر ر م ث الم طي ل ه رمي ل م ا و ل الف ا ق ي ر ا ط ي ق ي ق ر ب :  $k = 407 \text{ l/h.m}^2 \cdot \text{bar}$ .  
قيم النفذية لتتقم ري للاي ا ق ا ر ا م ع ب م الم ر ا ا ع .



شكل 11-IV: تي التفق الالاض طالم طمق.

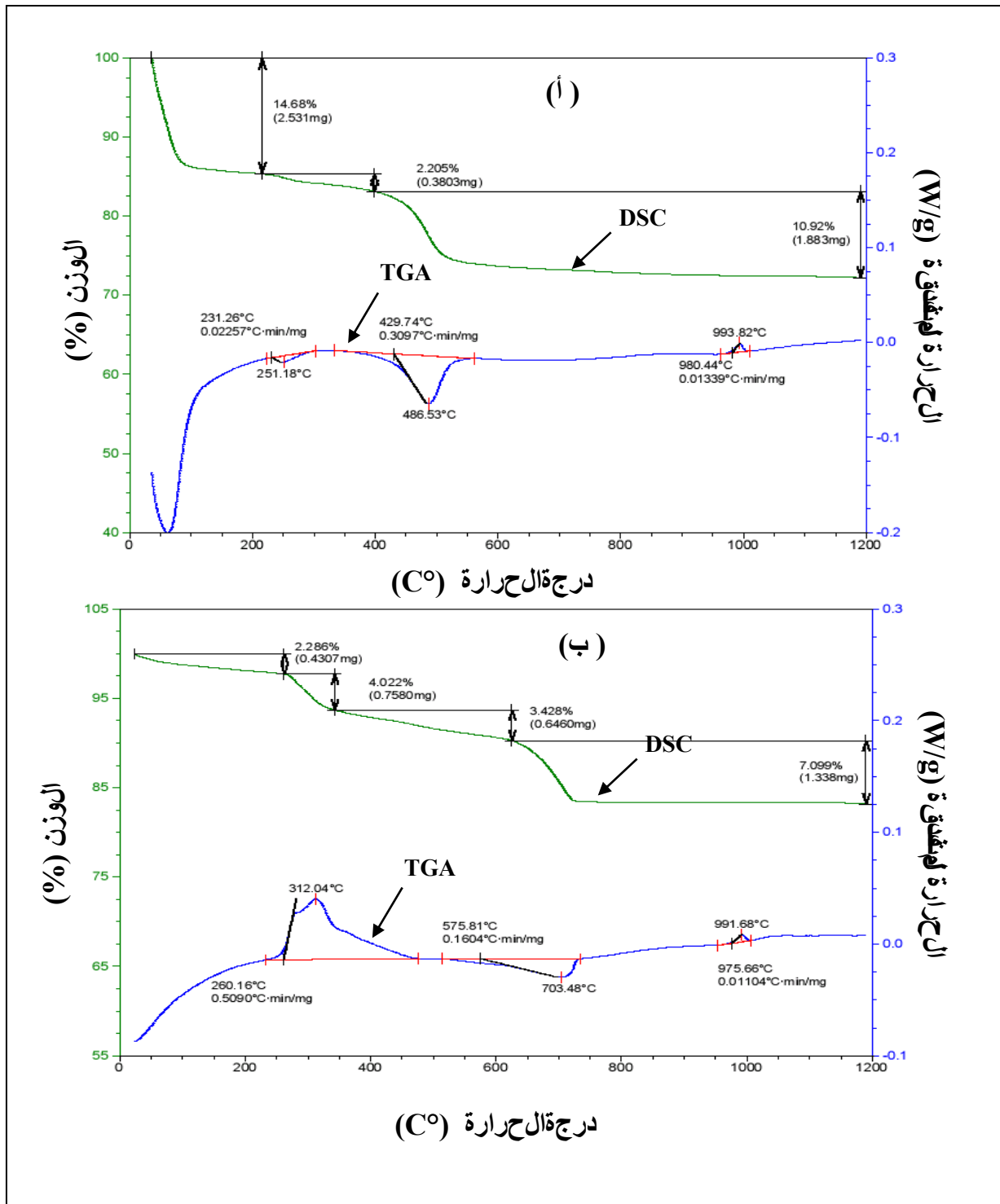
## 1.IV دراسة الحوامل المحضرة من الكوالن (DD3) للوالسيت ( $\text{CaCO}_3$ )

### 1.IV.1 التحليل الحراري لعينات الـ الكوالن وخط الكوالن + 12% وزن الكالسيت

يوضح الشكل 18-IV نتائج تحليل الحرارة الوزنية (DSC) والخصائص الحرارية (ATG) للعينات الكوالن وبنسبة 15% وزناً من الكوالن المحضرة من الكالسيت. كما يوضح الشكل 18-IV (أ) نتائج التحليل الحراري للعينات الكوالن المحضرة من الكالسيت (12% وزناً) في درجات حرارة 21°C و 1811°C في جو رطب. كما يوضح الشكل 18-IV (ب) نتائج التحليل الحراري للعينات الكوالن المحضرة من الكالسيت (12% وزناً) في جو رطب و 241°C في جو جاف. كما يوضح الشكل 18-IV (ب) نتائج التحليل الحراري للعينات الكوالن المحضرة من الكالسيت (12% وزناً) في جو رطب و 241°C في جو جاف. كما يوضح الشكل 18-IV (ب) نتائج التحليل الحراري للعينات الكوالن المحضرة من الكالسيت (12% وزناً) في جو رطب و 241°C في جو جاف. كما يوضح الشكل 18-IV (ب) نتائج التحليل الحراري للعينات الكوالن المحضرة من الكالسيت (12% وزناً) في جو رطب و 241°C في جو جاف.

كما يوضح الشكل 18-IV (ب) نتائج التحليل الحراري للعينات الكوالن المحضرة من الكالسيت (12% وزناً) في جو رطب و 241°C في جو جاف. كما يوضح الشكل 18-IV (ب) نتائج التحليل الحراري للعينات الكوالن المحضرة من الكالسيت (12% وزناً) في جو رطب و 241°C في جو جاف. كما يوضح الشكل 18-IV (ب) نتائج التحليل الحراري للعينات الكوالن المحضرة من الكالسيت (12% وزناً) في جو رطب و 241°C في جو جاف. كما يوضح الشكل 18-IV (ب) نتائج التحليل الحراري للعينات الكوالن المحضرة من الكالسيت (12% وزناً) في جو رطب و 241°C في جو جاف.

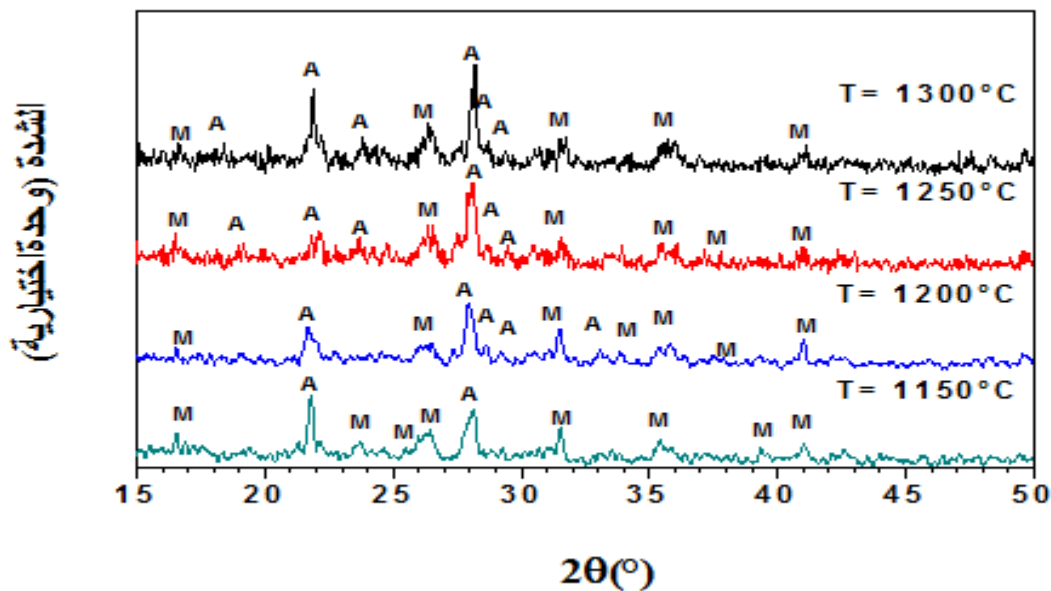
كما يوضح الشكل 18-IV (ب) نتائج التحليل الحراري للعينات الكوالن المحضرة من الكالسيت (12% وزناً) في جو رطب و 241°C في جو جاف. كما يوضح الشكل 18-IV (ب) نتائج التحليل الحراري للعينات الكوالن المحضرة من الكالسيت (12% وزناً) في جو رطب و 241°C في جو جاف. كما يوضح الشكل 18-IV (ب) نتائج التحليل الحراري للعينات الكوالن المحضرة من الكالسيت (12% وزناً) في جو رطب و 241°C في جو جاف. كما يوضح الشكل 18-IV (ب) نتائج التحليل الحراري للعينات الكوالن المحضرة من الكالسيت (12% وزناً) في جو رطب و 241°C في جو جاف.



شكل IV-18 نتائج التحليل الحراري للأختل (ATG) والفاضل (DSC) لبينت ألكاولان (DD3)،  
ب-كاولان كلسنا + 15% وزا مبلل كلسيت.

## 8.1.IV لثقل بواسطة الأنتلغني ني ة

يم للثقل 13-IV مخططا ا مرا اشمال سريزيال يينا محضر مثال كاولان (DD3) لوكال سريت ولت تمت ممال تتها عي مرا ا ارار م ختلفا (1150-1300°C)، كم اي هررع ل م ختلفا طار الم ت ش ك ل ا ه الم ي ل ي ت (3Al<sub>2</sub>O<sub>3</sub>.2SiO<sub>2</sub>) و ا ر ي ت (CaO.Al<sub>2</sub>O<sub>3</sub>.2SiO<sub>2</sub>). ي ل ة ان طرال ي ل ي ت ه ال ال ا و هذا ما ي مط صرط ص في زي ط ي ا ي ل ف ك ا ه ي ت ا ز ب ت م ارار ل ص م ي ف و م ق ا و ما ي ل ل ت ز ا ف ل ي ت ش ه ع ل ل ت س خ ي ت ( [189].



ل ش ك ل 13-IV: ط ي ا م ا مرا ا ش م ل سريزيال يينا الكاولان (DD3) + 15% وز ا ه ل ك ا ل سريت وال م ط ل ت ا عي مرا ا ارار م ختلفا (1150-1300°C).

ي ل ة A: ا ر ي ت، M م ي ل ي ت.

## 1.1.IV ح س ر ي ل ا ل ن ب ة ا ل ج م ي ة ل ل ف ر ا ع ا ت و ق و س ط ق ط ر ه ا

بم الم م م ا ل ا ل ح ر ا ر ي ل ل ل ح ا م ل ت ح ا س ا ب ا ل ن م ا ل ح ت ل ي ل ف ر ا ع ا (V<sub>p</sub>) و ك ذ ا ن م ط ق ط ر ه ا (D) ف كل ع ي ن ا و ه ذ ا ب ت خ ا م ا ه ا ز ق ي ا ل ف ر ا ع ا ل ن ق م ق (porosimètre à mercure). ا ل ق ت ل ج ل م ح ص ل ع ل ي ه ا م و ا ف ا ل ت و ف 1-IV.

جدول 1-IV نتائج تأثير درجات حرارة صب صلبات هيا .

الاهمال ن $\sigma_f$ (MPa)	مطت فيع الفراغ	نق طق الفراغ D( $\mu$ m)	النس م احتيا للفراغ V <sub>p</sub> (%)	م رار المطتا (C°)	الطيقا
11	.	3.51	45.51	1121	طيقا التخرا
11	ا.	2.11	21.41	1811	
91	.	2.29	41.51	1821	
/	.	11.34	82.42	1311	

ابت زيع الم.

. بتزيغ نائ .

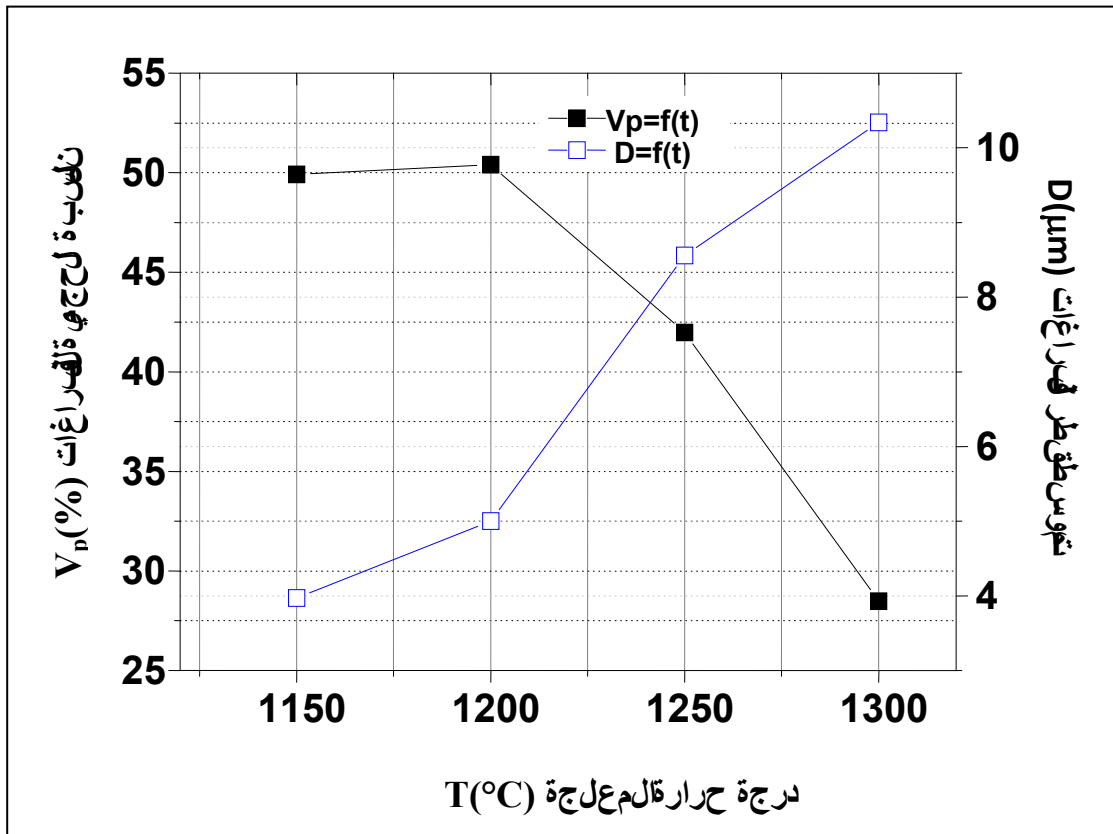
#### 1.1.IV. واس ة خصائص الفراغات

أن سبها وأبع- ادها

نتائج قياس سما الفراغ V<sub>p</sub>(%) ولبامها D( $\mu$ m) م و ا ف ل و ف 1-IV م م ل ا ف

النس كل 1-IV.

بالنزلت و ف 1-IV سبت ع م رار 1121°C و 1811°C و 1821°C ان النس م احتيا  
للفراغ ولبامها قيم ل ا ع ا ع ال رار 1311 °C، يثبتك ن النس م احتيا للفراغ ضيفها وبت ط  
ق طرفراغت لظم يرا ع ا م.



شكل 11-IV بتأثير درجات حرارة السلف فراغاً ولم يلاحظ فيها مظاهر امل ابي.

بن مطبوع فراغات

لحق تحت لحيص مطبوع فراغاً للبيها فالت و 8-IV و هذا كما يبين طين بقا التلك 12-IV.

يكتشف عن بي مطبوع فراغاً فالحال الما الما لعتو انا متزيع الم ( . ) اوت في عتو ( . ) اوت في عتو م ( م. ) [71].

في م ا ا رار 121°C افجن مطبوع فراغاً هتوي متزي عتو ( . ) لكت ماستله ه غيابت الم فراغاً يرالحت، بي عيتم مطبوع فراغاً الكل تقويم ه 1μm إل ع 11μm ويكتشف سري م إل ع هتوي متزي فراغاً ال م ط ا ا م، بي عيتم بم ال متا ف ا و م ه 1μm إل ع 4μm،

الماتاف ال ا والذيت ز فيالهق سح ا كمر ه ا فراغ ا فييت ه  $4 \mu\text{m}$  ال  $10 \mu\text{m}$  وهذا مايوك ملنا الشكل **IV-12-12** (أ). اما ه طقطلل فراغ حيق ربح ال  $4 \mu\text{m}$ .

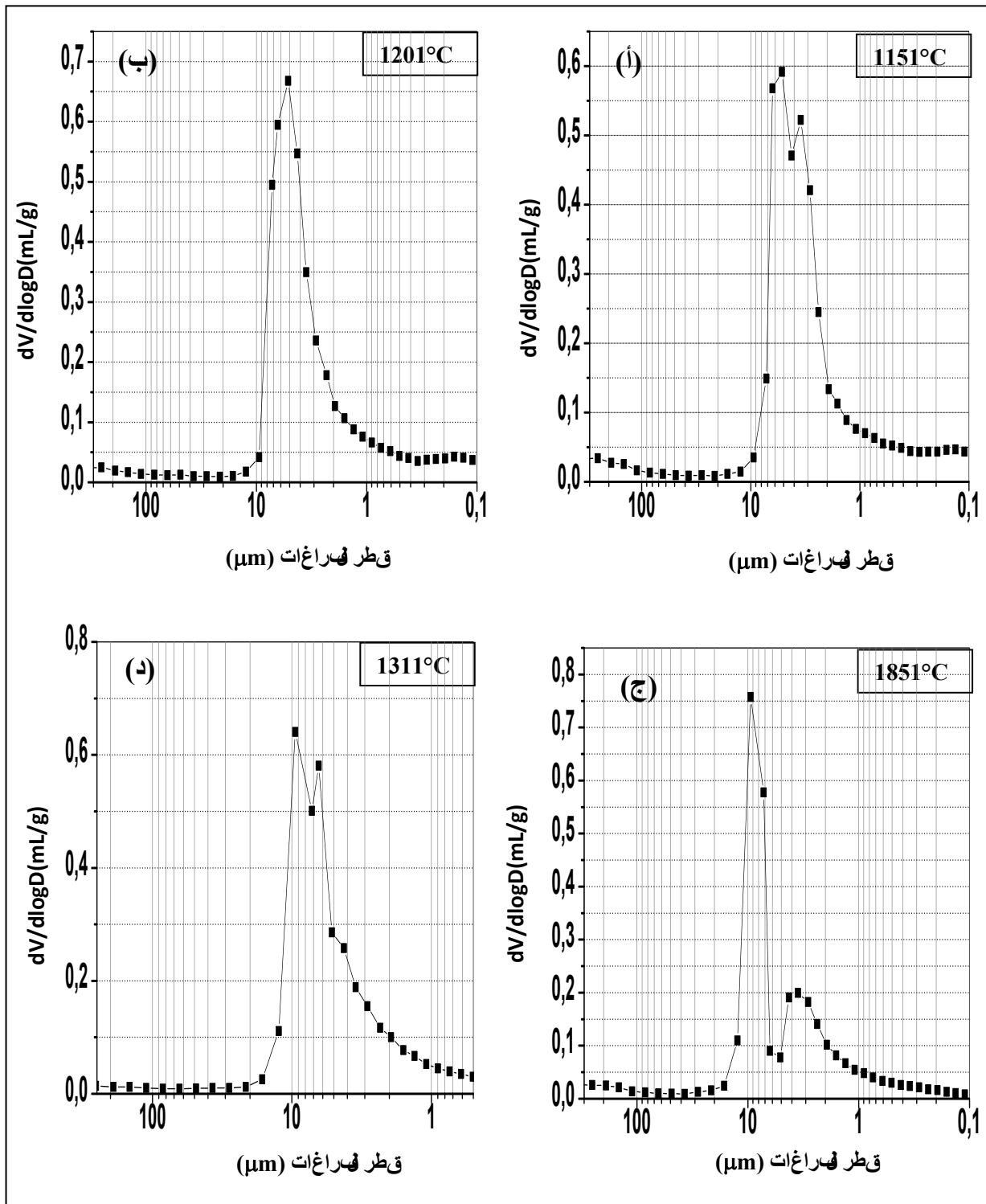
اما ه مر ا ارار  $1811^\circ\text{C}$ ، واط زو فلل مات الفل فراغ ا الص ير لهيت ح مغل ماتاف ال ا بوالتل ي صم ح مطت في الف فراغ ا ف هذه ال رات زي ما ا الهيا ( ا ) وهذا مايوك ملنا الشكل **IV-12-12** (ب) ، طي ة يملقنا ان ستل و ا م متلف ضريلق فراغ ا لمت طاييت ه  $1 \mu\text{m}$  ال  $11 \mu\text{m}$  ومت طقطلل فراغ يق ربح ال  $2 \mu\text{m}$ .

اما ه مر ا ارار  $1821^\circ\text{C}$  و  $311^\circ\text{C}$  قن مطتزي الف فراغ ا ت في عثنائ ، طي ة واطت كن متلف اي لل فراغ ا لغير ال حت وهذا ماي ه الشكل **IV-12-12** (ج) و (د) ، طي ة ان ماتاف ت في الف فراغ ا الص ير ييت ه  $1 \mu\text{m}$  ال  $2 \mu\text{m}$  و  $1 \mu\text{m}$  ال  $1 \mu\text{m}$  ع ل ع ل تري ا . اما تاف تزي الف فراغ ا ال لغير فييت ه  $2 \mu\text{m}$  ال  $81 \mu\text{m}$  و  $1 \mu\text{m}$  ال  $81 \mu\text{m}$  ع ل ع ل تري ا .

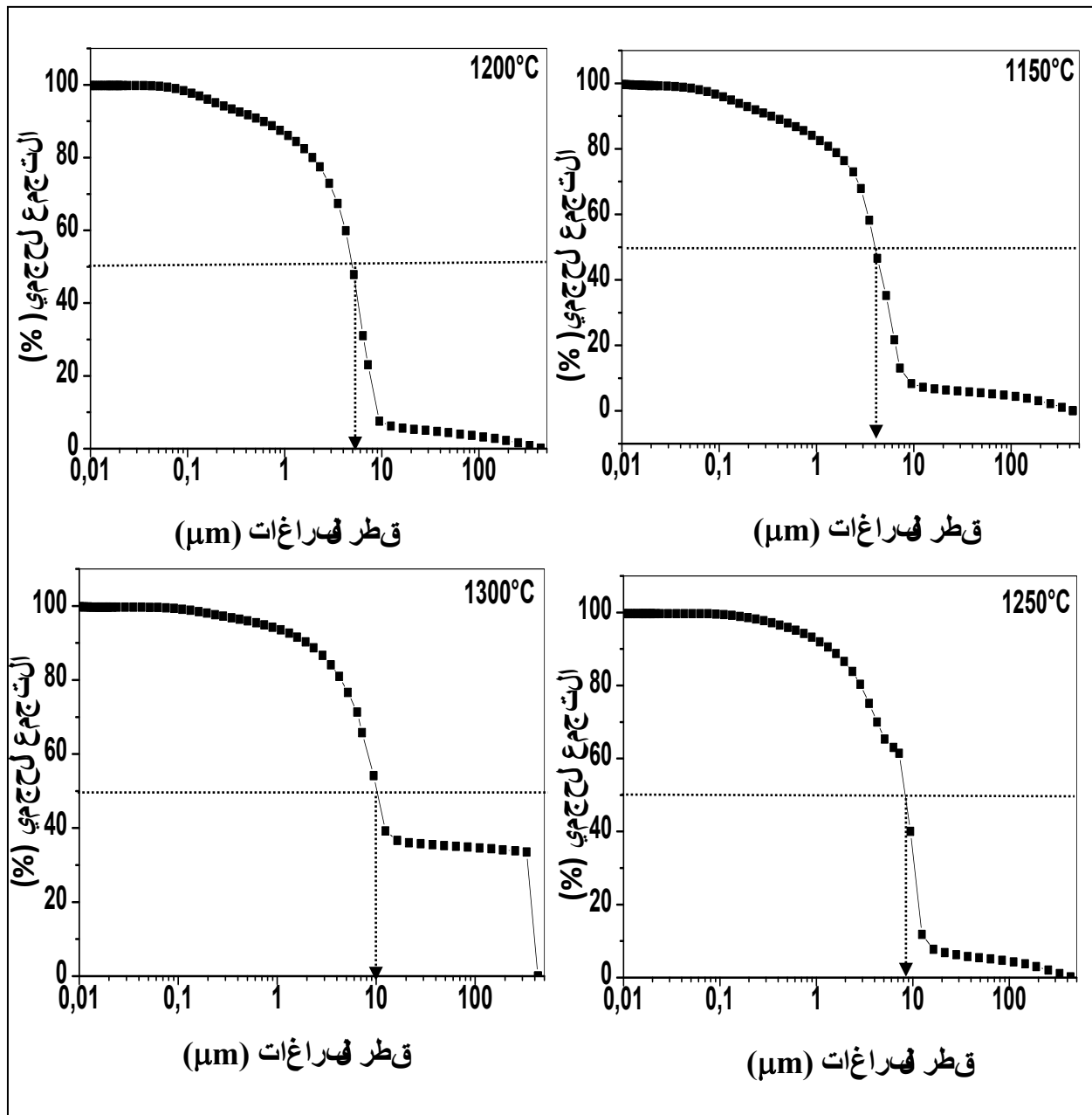
ان ظه ال فراغ ا لغير ال حت ع ل ع اس ا بل فراغ ا ير ال حت غ سره ب ا مر نتم ل ف عملات لتي ، طي بق زو فلل فراغ ا ير ال حت وتقم فراغ ا ا رل ل صم ح اتمه الكمر [57]. اما مت طقطلل فراغ فيق ربح ال  $2.29 \mu\text{m}$  و  $11.34 \mu\text{m}$  ع ل ع ل تري ا .

ان قيدا مت طقطلل فراغ ا ل كل تزي ع وف كل ع ن ا ولت ا مراتف ال ت و **IV-8** ي م ك ف اتنت ا ا ه ا ال ف ح ن ع ل ع ل قويم م ، ا ه ا ن ال ت زي ع ا الهيا ك م ا ف الشكل **IV-12-12** (ب).

اما ا ه ا ن ال ت في ع ت م م في ص حتق ير مت طقطلل فراغ ا ل ق ك ف ح م ي ل تي ر ل ك ت م ع ال ح ت م مع ت ير ال ق طر ع م ع ل ف مر ا ل حرار وهذا ماي ض ح ل ن ل الشكل **IV-11** ف ه ا هذه ال ف ح ي ا ي م ك ف ل ق ا ق ي م ا ت طقطلل فراغ ا ب ق ا طي ة ان ق ي م ا ه ا ن ا ي ر ت م ل ف ا ل ق ط ل ق ا ط ع ل خ ط ل ا م ت ق ي ح اف ق ال م ف ل ق ف  $V=21\%$  وال ف ح ن ع ل ي ا .



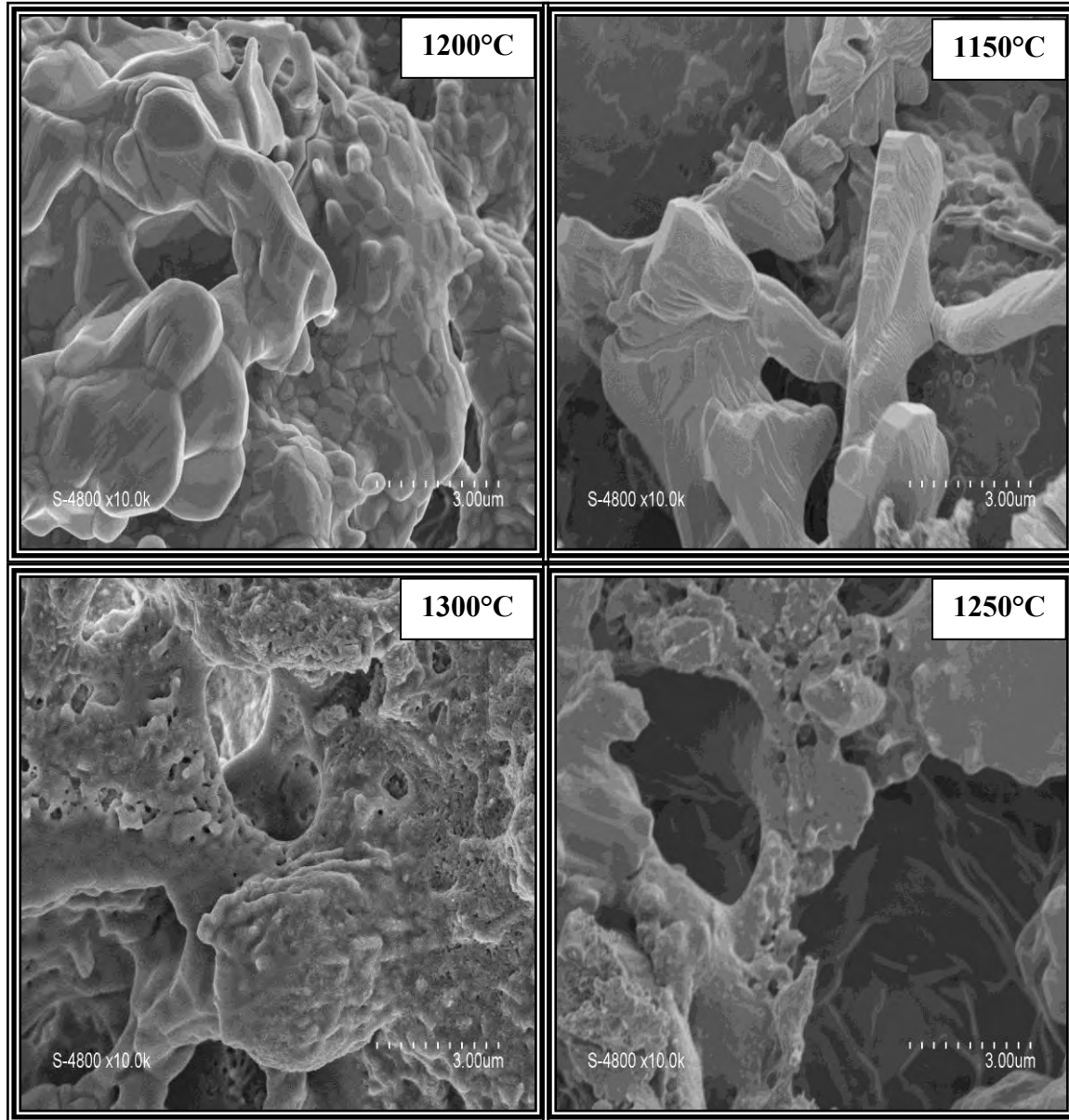
شكل IV-12 بتغير مط في الفراغ معتبر مر ١١ لحرار لينا مثال ح امل ام بي الشكل.



لشكـل 11-IV تيـر سـمـالـتـم عـالـحـتـم لـلـنـوـعـق مـشـقـل الـهـيـنـا الـمـطـلـتـا عـج مـظـيـف مـرـا الـحـرـار الـلـ قـطـلـفـراغـا .

## 1.IV.1. التغيرات الحرارية

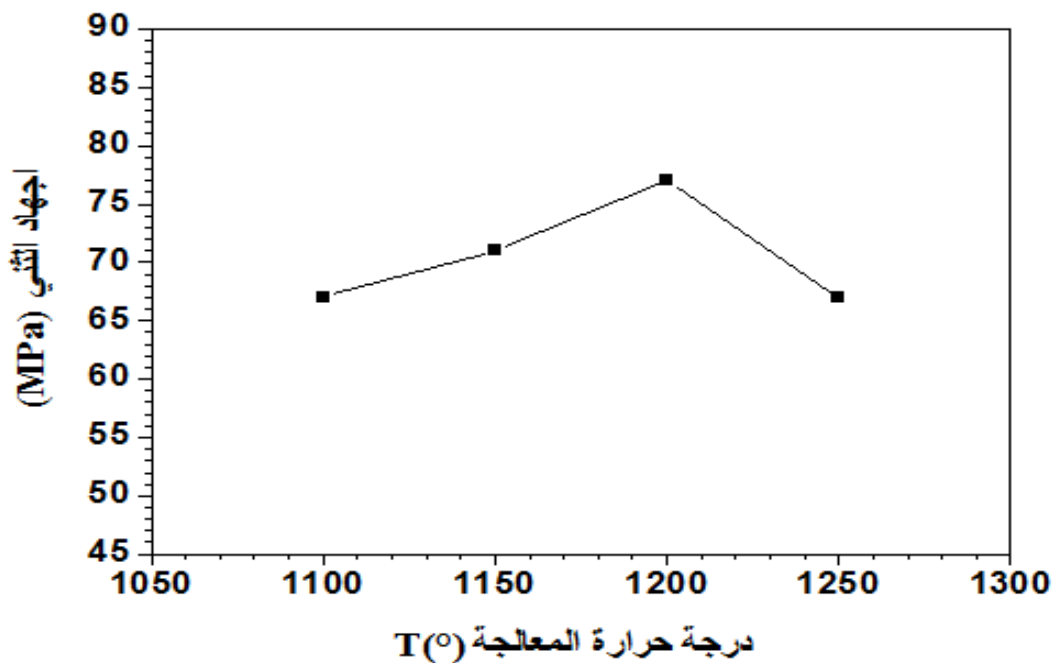
أظهرت نتائج التحليل الحراري أن طح وحقا طع مختلفا لهما تم وتمتسا و التي اتمت لكل الهمي ب  
المتغيري (الشكل IV-17).



الشكل IV-17: وبالمجاهل الكتروني الما حل قاطع واطلح لهما مثال ح امل ا مجيولش كل  
والمدلتا مع مراا ر مختلفا.

## 1.1.IV. الخصائص الميكانيكية

تمت م رال خصائص الميكانيكية بجراءة لتمرار النر ة ورو قراط ية لة نتخت من عينا لولر كل بق ازل للم سبطي و . وق يتح قواس إوام النر الفتوى الم حصر ل عي هرام ورفل لتر وف 1-IV وم لم رفر الشكل 12-IV ، ية ازل خصائص الميكانيكية ( إاهامال ن ) (تتم ربي قار ل بم الم راع [57]. إن لم لم كفت مواته هت وفلك وف 1-IV وكذا الشكل 12-IV تتست ي لزيام ف قيج كل إاهامال نف الم تاف (1121-1811°C) هت مرال لحرار ، ي لم كفت إراا ا م ذالت حرت إل عتقير عمل ليات لمي ف ال مينا الم طلتا ، لم قما لمي المام فتلك الكا فت و ق لفتش ك ي ل ا عراق و ل ك ح ا ف ي لم بين ه م ع اوقا ا مرال لحرار وهذا كمت ضحه رالم ت ه رال ل ك ر و الم ا ح (الشكل 17-IV) ، كم لم كفت ا راع ه ياضا ل ل ع تل ق رار س للم فراغا وكذا لم مام ه (الشكل 11-IV) بين ماس تل ل فاضا ا م س س ف قيج إاهامال نف الم تاف (1311-1811°C) ، هذا الا فاض ي م كفت إرااعه إل ع لزيام ل م م ر ف بلم الم فراغا (الشكل 11-IV) ، ية ازل فراغا لمي ر ال ح تحت م اعل ع اس ابلل فراغا ي رال ح تح التي تزول بهجرتها إلى السطح عبر الحدود الحبيبية أو تلتحم مع فجوات أخرى لتعطى فراغات ذات أبعاد أكبر لثناء عمل ي التهي وهذا كمت ضح ه ياضا رالم ت ه رال ل ك ر و الم ا ح (الشكل 17-IV).



لشكل 12-IV تي ر إاهامال ن م عتير مرال لحرار .

### 1.IV. دراسة الخشونة الخاصة بالثقوب المكونة (MF)

تنتج ضياع غشوي اس الطيق الم فافلل فصل الالوة (الشكل III-85) وتكون بوضوح لتقويرا الصا، ي قتم ق ل الامتزازالسطح هلق ل المثر فعمل يوضع الوم علوع رطبلح امرل وشير الع ان مكلش ريرح ليق فعلع ع ع امل منها سما وبلما فراغ الحامل وكبي الام الت اضر منها الشري حافال م حلف لم لفاق وكذا الم لزمي التنتح وله عمل ياض غشوي ح عل عال حامل..الخ.

#### 1.1.IV. خت ي ط الحامل

ناتج حمل لاشاعل ا فرق لاض طالم طمق على هوف عمل ليات رشويح وهذا رالغس مظهر ضري فالرذل ه م تالم مي كروا لنظيت لوضمه عل ع م عام لتفرل هلق اليجليكي ال وزما مذهال عام مرال ح امرل. نتق فعمل ي لتيار الحامل عل ع اهال تم ل اف كل ثم سما وبلما فراغ و اهاليجليكي ا [83]. وعلع هذا اسبق ووقع لتيار اعل عال حامل للممالج ع  $1811^{\circ}\text{C}$  قوال خ اصل الم و افلت وف 1-IV.

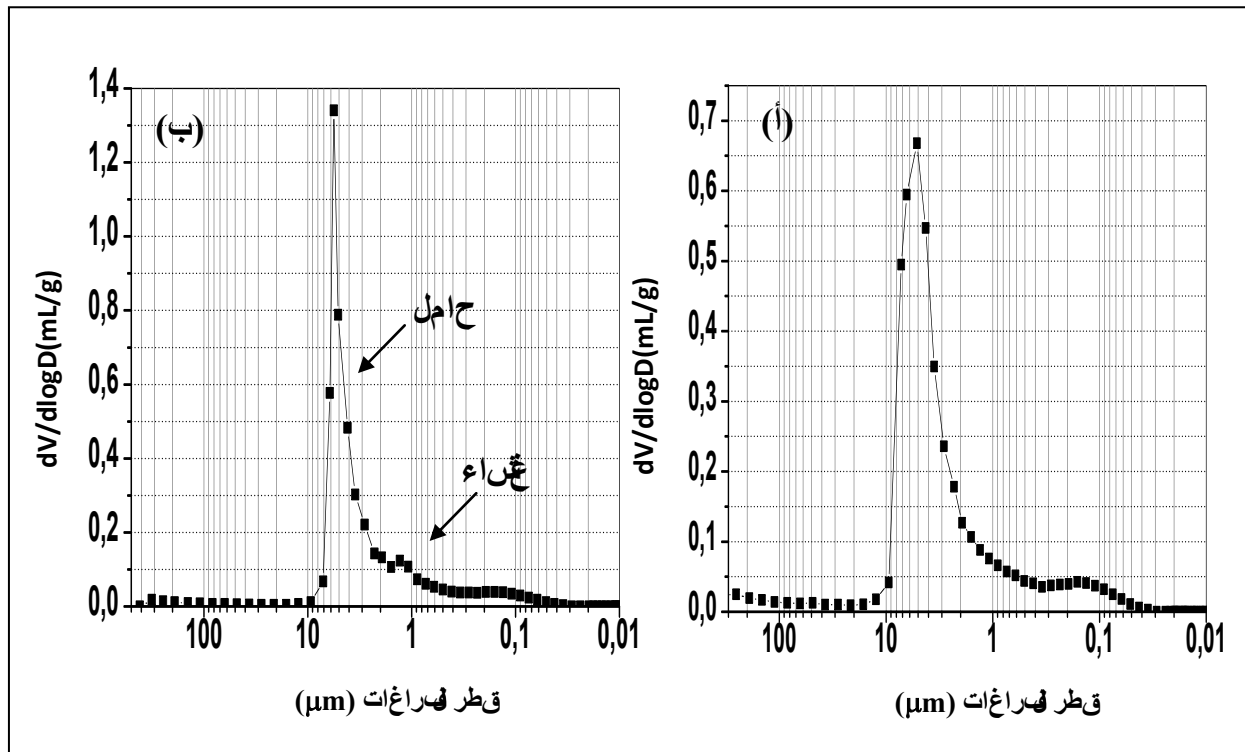
لجدول 1-IV صغءصال حامل لذلتح لتياره.

الطريقة	درجة حرارة المعالجة ( $^{\circ}\text{C}$ )	نسبة فراغات $V_p(\%)$	متوسط قطر فراغات $D(\mu\text{m})$	نمط توفيع فراغات	اجه ادلثني $\sigma_f(\text{MPa})$
طريقة الستخراج	1811	21.41	2.11	أ.	11

### 8.1.IV متوسط قطر الفراغ للشريحة

بمحتضري الشاء وممالنته ارايك ح اسابان سمالحت لي الفراغ  $(V_p)$  ونقطة طق طرها  $(D)$  هر كل عين وهدابت خ ام اه ازقي اسل فراغ (porosimètre à mercure).

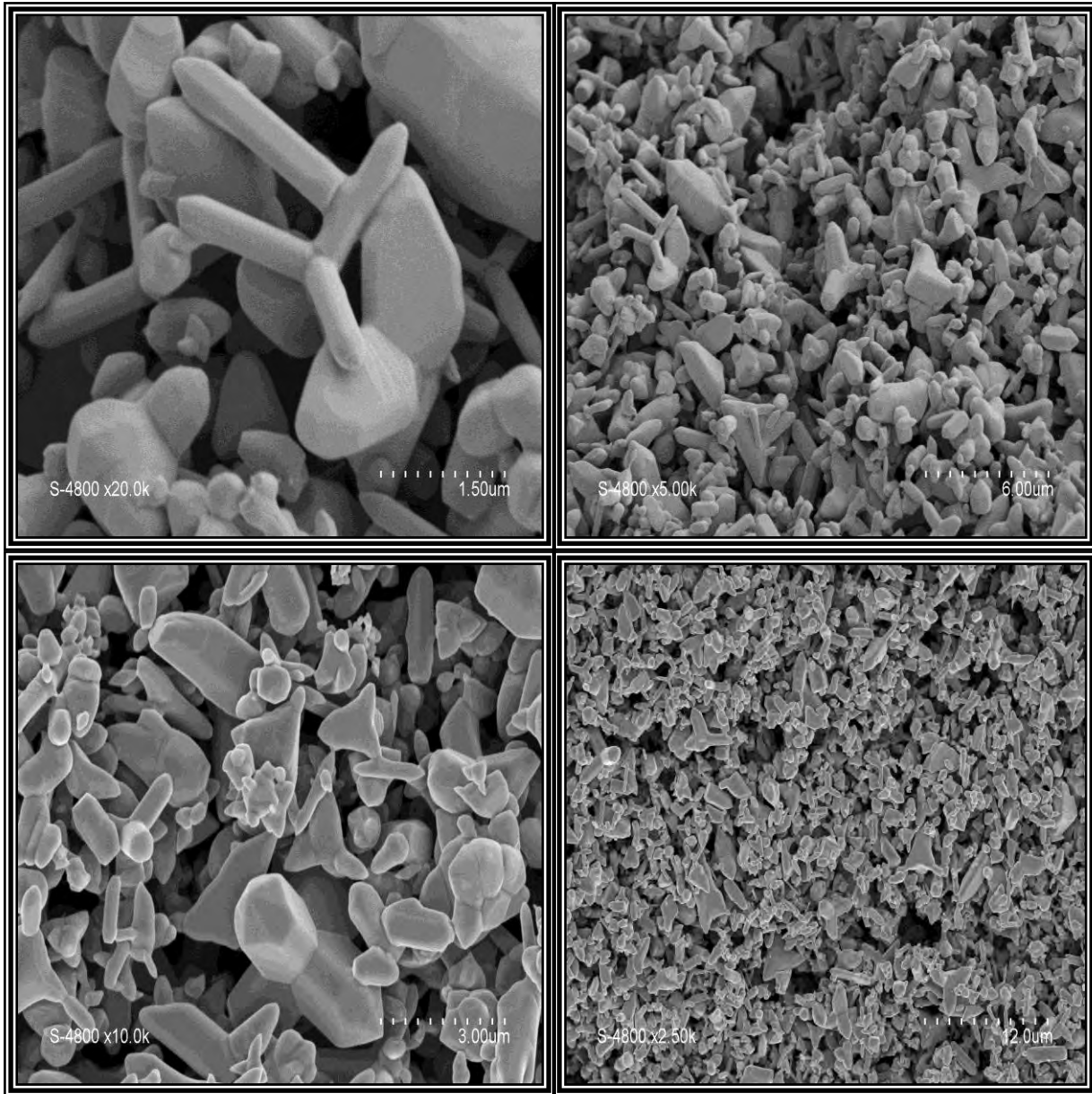
يضح ان لشركل 19-IV أ في حرت في الفراغ ل حامل م ح ضرر ب طيقا اللوت خرا وامل ج ع ال رارا  $1811^\circ\text{C}$ ، ام لشركل 19-IV ب يمل في حرت في الفراغ ل ل ح اول ب م اوضرت ع ل ل شوري ح اوت ممالنتورا ع ال رارا  $1111^\circ\text{C}$  م ل لشركل 19-IV م ل ل ل ان ررت رت وطقو فراغ ل شوري ح ا ب ح ال  $1.2 \mu\text{m}$ .



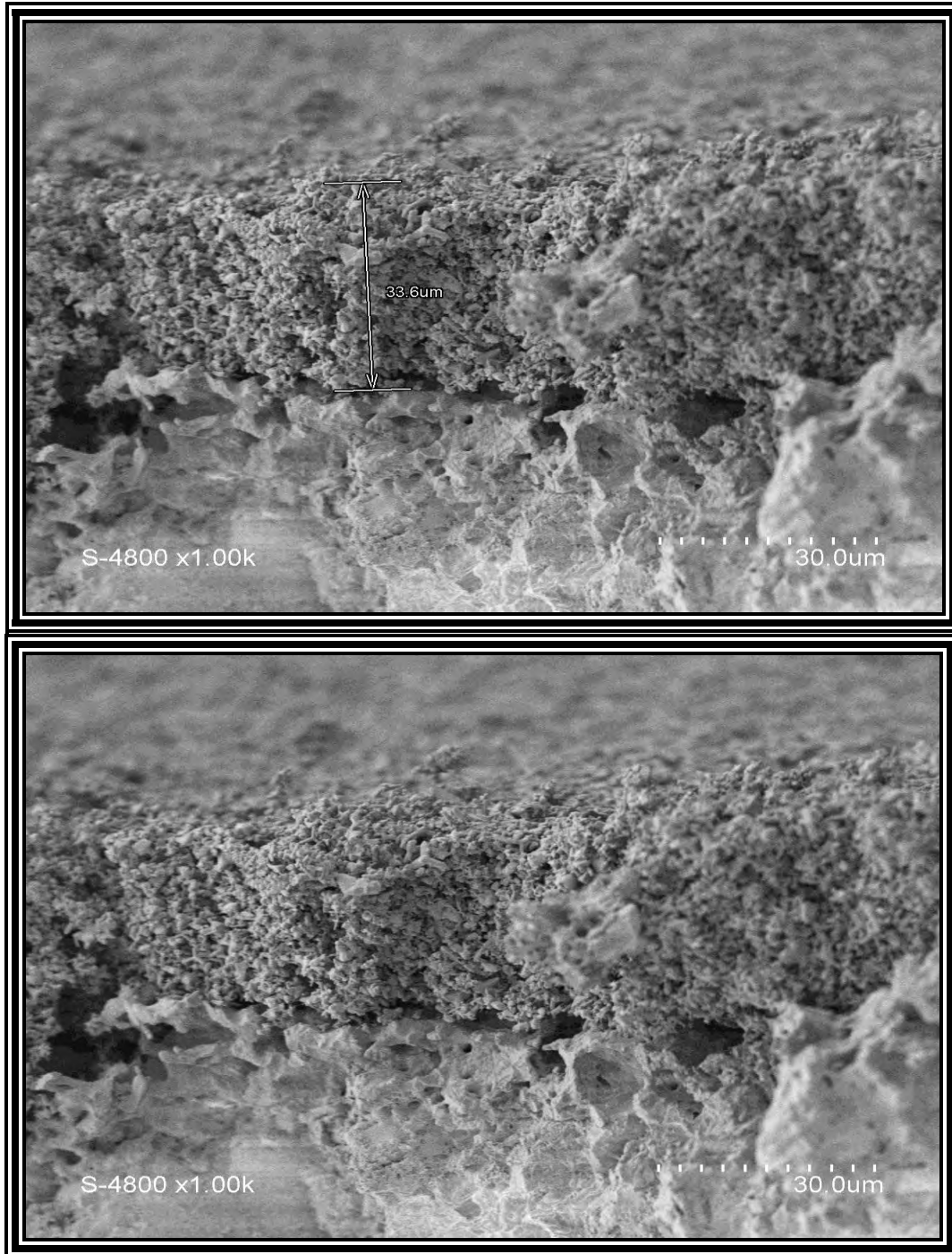
لشركل 19-IV: مطت في الفراغ أ: ال حامل ، ب: ال حامل + طق الشاء.

## 1.IV.1. البنية - قهرية

توضح واوراا غشري الشرح الموضحة رتتالمتواللكتروور المارح . غير قهرية  
 الشكون 81-IV و 81-IV متم عا مثلصر، بمضها عمار عث طالجشري حا ولهم عمار ربح مقاطع  
 لشري حا واملها مما يثبت الشكل 81-IV ربل متالللكتروو بكتيرا تم لفسولس طالجشري حا والتر  
 تبيث وابتاس لغير لسطح ول ه مثالي بالمتهي راو لكذا لره بلك فراغ اة ابوالل لغير .  
 ام الشكل 81-IV يثبت قاطع لولها والتبيث لفل ك وابتاس لغير ف مكافعا كما تم لكانا متقير  
 مكال طبق الموضر ولذلي تراوح ف اوم  $33 \mu\text{m}$ .



شكل IV-81: رتم ل طح ف طق ل ش ر ح ب ل ت خ ا م ل ك ه ر ا م م ظ ف ا .



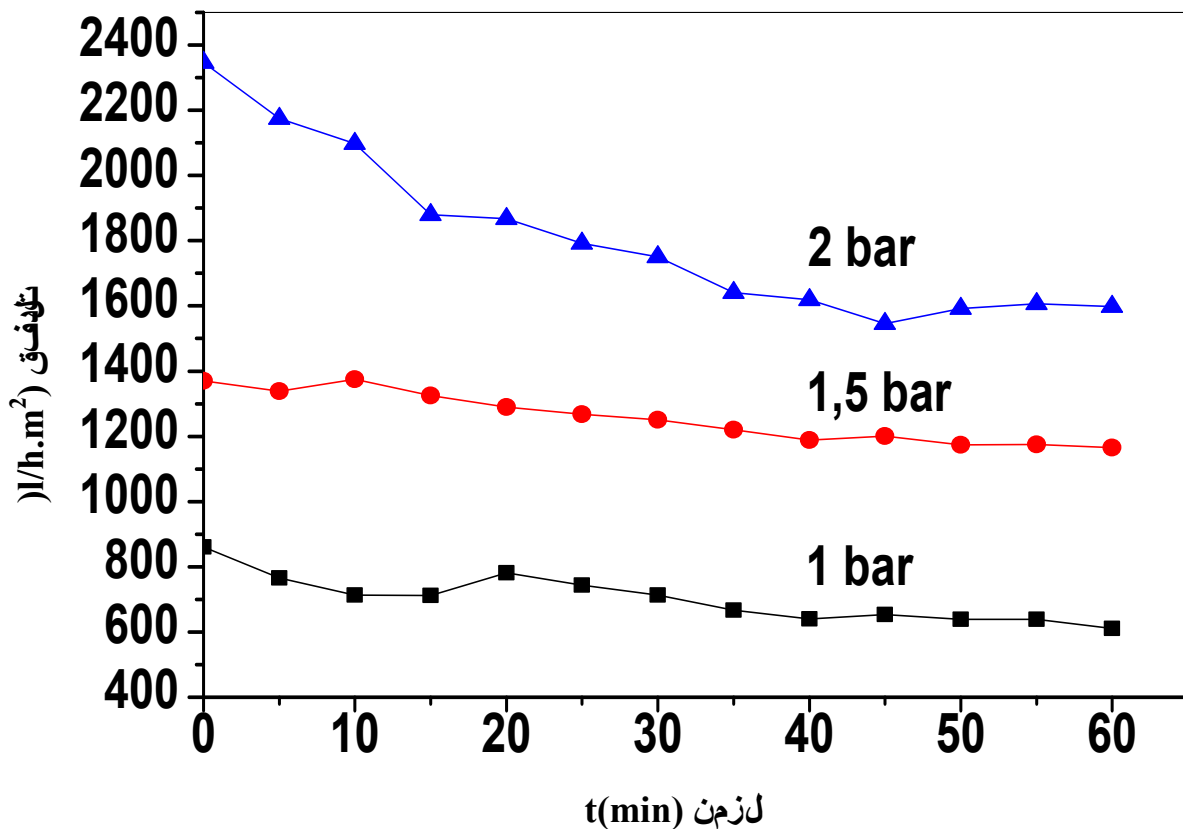
شكل IV-81: ريجيستم ل مقطع ف الطقا ولح امل مم م عت ضريح مكال طقا.

### IV: تأثير الضغط

قبل إجراء التجارب التي حوضها مراد والمق طول 84 راع ووزن رفاع لتقرر التفوق اراقت دمكت. لم اعلم ستممل ف التماره ماء مقطر.

#### 1- تغيرات بدالة الزمن

بيانات كل IV-88 تير التفوق مع مرور الزمن حيث اختلفت اوضاع والتيرتق رب 1 و 1.5 و 2 bar ما ستهت في الراجح عالتيرال مال لتفوق مع رزمته في هيتنق ص رفاق فتورا اول رعب التمارش متوقرف ا ومقح مفا كم ستلتزي فقيم التفوق مع اتفا اقيم الاض ط ال انقيم التفوق تتم اوقتيه الاض ط الم طوق عايوا [86] فوث لا لقيوا ض طوق رب: P=1bar سرتلوي مرالتفوق ر ب ح ال 113 l/h.m<sup>2</sup> ووث لا لقيوا ض طوق رب: P=1.2bar سرتلوي مرالتفوق ر ب ح ال 1821 l/h.m<sup>2</sup> ووث الاقيماض طوق رب: 8bar سرتلوي مرالتفوق ر ب ح ال 1212 l/h.m<sup>2</sup>.



لش كل IV-88: تير التفوق بال الزمته الاض ط الم طوق.



## 2.IV. تطويق-ات خجوللية ألعشي قبلت خداتق واقت رشي الخمي كوني قديق (UF).

تشكل الياه المنبالتاري افال هيان، مص رايا الإسافال نما ولجي افكلت يري طرا نجيها هث  
ارالسلكا السريءا إلسان ( المصا علفليك هالساماف متارل ا هاراتماف الم الملكي هي طيف  
لزارعا ... )يح اضطرباف السجا للهيءا وهكذلي صاللتل . و را هيا هذال ياهف ايا الإسان،  
ولضمان بلث اتول الولوج فاطع ليه هينم اتر ااميل الص رموم السته قمل إعاف لمل مجي طال طمي م .  
تتمع ميه امطار هوي الماصر م قن امختاف الهال تكاليف الم ه اف ات ولهم.

تشكل الياه القذر هث ازا ائل و آر ل اوم الم الملقا وتسمافتل الهياي مكشت نجيص  
الياه القذر هث الم الملقا ال هابمالتا اتمربم م رال، هه الاالترشيو وعملها  
ارل [23].

### النتائج

تح إراعضاليل اي ليلتقون يالم كروي ال قيقا (UF) لبيتيث، اولع ا هث ياه الخيا  
بفطقا طري قبيلنا، مين لفسكر عينا 1). اماليعنال اي افأ ذ مث يال الص رمال صال كئان اب ام  
شمم الاراص، هينق سنطينا (عينا 8)، القنطج م و افلت وف 2-IV.

لجدول IV-2م لتلج حلي للدين ا . بي نقح إراء هذطلج الي لبت اريخ: 8113/12/11.

$HCO_3^-$	$CO_3^{2-}$	Nitrites ( $NO_3^-$ )	Nitrate ( $NO_3^-$ ) mg/l(	Turbidité (NTU)	pH	Salinité )%(	Conductivité )ms/cm(	الدين ا
0.16	1.28	0.017	3.40	24.6	6.86	1.6	3.17 (28.2°C)	1
0.96	0.96	0.013	3.64	1.39	7.03	1.6	3.20 (27.5°C)	الماء المرشح (UF)
2.72	1.6	0.053	0	49.6	6.74	0.8	1.871 (28.2°C)	8
1.28	2.56	0.07186	0.361	2.79	7.14	0.7	1.715 (27.8°C)	الماء المرشح (UF)

### النتي-ج ة

تحيث هذله لتلج ان لتخ لتقوي ا غر ليل لترشيح ال قيقفم ال اف عمليا لزال الامكار و ه عمارة  
و ا و ا و اخ والرمل او الم ام الملق اف لماء، ويملكث موا الامكار ف الماء باطال ال بيت لم ترم .  
و ان و ا المكار والش ط اف لم ايسم امش الك لثير من ه الانسام وال ترم ا ي وثر ع ل عمل  
الت تي ز الصن اعي وال ليليا وقيصر م عم رللت شيل ، كمات يضا ق القتم يل ف سم ال حم ضا  
ف ك لنا ال بيت، ام في م ا ي خص م مالت امي ال لصر م الص ح في ك ثت إعام لتخ ام ه أ ل غراض ل زراعي ا .  
لتمت هذالمح ة ان عي ال ليا لنت لتتيج لت ماله غراض ل رل كمت لالمح ة ل ع تلج اي بيبت  
انتقوي ا غري ا ة لفاء اع ل ف م مالت ا ي ال ص ر م الص ح ب ان ر ع عت ه م قار ا ع  
المط لتللق اي ا و هذله لتلج ه ا م بي ة كه لت أعاقا اي لم مالت ا ي ال ص ر م الص ح و تقيت ه ا .

كم انتم هذالمح ة ا هي ك ثت لتخ ام ا غري اف :

- لزال الطح والرئح ه الماء و لزال ل ن .
- لزال ال حي ه لماء و ك ذالم ي ه ل ش ط ا و الم ن ا رل و تلخ ل ص م ث لمكار .

## خلاصة عامة

مبني كنف ان خلص إلي هف هذا الم حة هت مكننا هتخصري اغري وامله الم ك ا a م ح لي لتتم لف كل هتال ك اولان (DD2) و (DD3) لك ال سريت ( $\text{CaCO}_3$ )، بوال تال ي هتق سري ح هذا الم حة إلع اوع مر ال ويري.

فف ال مرال اول عف قنتح لتي ا ل ح امل ا مبي التال و لت تحتصري ه بلقا اطوقا هتلا خ ليط ك اولان (DD2) + 28% ك ال سريت و لك بكت خ لتقني الا تخر و لت تمت م ال تته هج مرال ارار  $1250^\circ\text{C}$  بم م ر ا ا م ح صر ه صه ال هت م ل اف س م ا بلم ال ف را غ ا (الم سا هيا)، مت طق ط ل ف را غ ا ، مطتزي ه ل ف را غ ا ب الاضا فة إلع اله ي ا ال مته ي ا و ك ذال خ صر ه ص ال هك ل ي ا ، ل ي ق ر ت ه ط ق ط ر ال ف را غ ا ب ح ال  $9.5 \mu\text{m}$  و س م ا لتل ف را غ ا ب ح ال 23% و مطت في عث ل و ا ه ا ه ت ن ي ق ر ب ح ال  $36.62 \text{ MPa}$  هذا ما امل ه ا ت ت ا ن ب خ صر ه ص و ل ي ل ي ا ل ي ، هذه ال ح امل ت ح ل تي ا ر ه ن ت ك ن م س ا ل غ ش ي ا ال خ ا ب ال تقوي ال م ي ك ر و ي ا (MF)، مذل ش ر ط ح له ا م ل ي ق ر ب ح ال  $33 \mu\text{m}$  و مت طق ط ر ف را غ ي ق ر ب ح ال  $1.30 \mu\text{m}$ .

ا م ا ف ال مرال ال ا ي ل ف ق ت غ ي ه ل ت خ ي ر ط ق ا ا غ ش ي ا ا ط ق ا ه ت م ا م ا و ك س ر ي ال ذ ر ك ي م ( $\text{ZrO}_2$ ) و هذا بكت خ ا ه ت ق ن ي ال ص ا ل ي ت ت ل ح ص ف ع ل ع ش ر ط ح ا ب ال تقوي ال م ي ك ر و ي ا ال تقوي ا (UF) ه ت م ض م ا ل ف ر ع ال ش ر ط ح ب ل ق ال ذ ك ر ، مذل ش ر ط ح له ا م ل ي ق ر ب ح ال  $1 \mu\text{m}$  و مت طق ط ر ف را غ ي ق ر ب ح ال  $1.12 \mu\text{m}$  و م م ا م ال ه ف ا ه ي ل ي ق ر ب ح ال  $k = 407 \text{ l/h.m}^2.\text{bar}$ ، ك م ا ا ه ت م و اله ي ا م ت اله ي ب ال م ته ر ي ا.

ف ف ي م ا ي خ ص ال مرال ال ل ا ل ف ق ت ح ا ن ي ا ر ل ح امل ل م ح ضر ه تال ك اولان DD3 ال و ك ال س ر ي ت و ل ت ت م ت م م ا ل تته هج مرال ارار  $1200^\circ\text{C}$  بم م ر ا ا م ح صر ه صه ال هت م ل اف س م ا بلم ال ف را غ ا (الم سا هيا)، مت طق ط ل ف را غ ا ، مطتزي ه ل ف را غ ا ب ل ي ض ا ف ا ل ع اله ي ا ال مته ر ي ا و ك ذال خ صر ه ص ال هك ل ي ل ي ا ، ل ي ق ر ت ه ط ق ط ل ف را غ ا ب ح ال  $5 \mu\text{m}$  و س م ا لتل ف را غ ا ب ح ال 50.40% و مطت في ع ا ا م ل و م ق ا و م ال ن ت ق ر ب ح ال  $77 \text{ MPa}$  ن ت ك ن م س ا ل ل غ ش ي ا ال خ ا ب ال تقوي ال م ي ك ر و ي ا (MF) هذه ا ي ر ل ت ت ح ت خ ي ر ه ا ط ق ا ه ت م ا م ا و ك س ر ي ال ذ ر ك ( $\text{ZnO}$ ) و م ذ ا ب ك خ ا ه ت ق ن ي ال ص ا ، هذه ال ش ر ط ح له ا م ل ي ق ر ب ح ال  $33 \mu\text{m}$  و مت طق ط ر ف را غ ي ق ر ب ح ال  $1.8 \mu\text{m}$  و م م ا م ال ه ف ا ه ي ل ي ق ر ب ح ال  $k = 221 \text{ l/h.m}^2.\text{bar}$ ، ك م ا ا ه ت م و ل ي ض ا ل ي ا م ت اله ي ب ال م ته ر ي ا.

اماف ال مرال ال رلبم او ا يرفعق تح اراعبم لتطوقا عل غل شرتل حال خبال تنقي الميكروبي الل يقا  
 (UF) ولت تخنيها مالتابم ال ياه المسر هت مين لبس كر وكذابم ال يهل صرفا هت وام الرطف  
 بمين اقسن طين، بي قلمننا وف هذالمح هت لال عتئج هام لفت افاقا اي لممالتا هي اطر م  
 الصحتن قيتها، كم انتمت هذالمح ا يمكث لتخ ام اغشري افتم يل سم الاحم ضا (pH) وزال ال طح  
 اليرايح هت الماء وكذا ازال لال ن والمي مبلش ئ ا والم ن لولت خلص هت المكار .

## المراجع

- [1] C. Janot et B. Ilschner, Traité des matériaux, N°19 : Matériaux émergents, Edition Presses Poly techniques et Universitaires Romandes, (2001).
- [2] L. Ecraivain, Technique de l'ingénieur, A7290, p 1-23, (1986).
- [3] J. L. Chermant, "Les Céramiques Thermomécaniques" , Presse du CNRS, p 20-40, (1989).
- [4] M. Chaupai, "Technique de l'Ingénieur", A. 2010, p 10-17, (1996).
- [5] J. Philbert, " Recueil de communication ", Deuxième Séminaire Des Sciences Des Matériaux, Université de Constantine, p 2-16, (1985).
- [6] A. Vatain, "Manuel et Sédimentologie ", Edi. Technip, (1967).
- [7] G. Aliprandi, "Matériaux réfractaires et Céramiques techniques ", Edition septima Paris, (1979).
- [8] H. Abdizadeh, "Elaboration et caractérisation de composites duplex ", Institut National Des Sciences Appliquées De Lyon, France, (1997).
- [9] J.W. Harvey and D.W. Johnson, "Binder Systems in Ferres", J. Am. Ceram. Soc, Bull, Vol. 59, N° 6, p 637-639, (1990).
- [10] E. Dorre, and H. Hubner., "Alumina: Processing, and Application", New York: Springer-Verlag, p 329, (1984).
- [11] M. A. Hilmi, " Métallurgie", Angelot, Egypte, p 100-300, (1977).
- [12] A. Jourdain, et F. Benot-Cation, "La Technologie des Produits Céramiques Réfractaires ", Paris, p 20-40, (1993).
- [13] J. A. Pask and A. P. Tomosia, J. AM. Ceram. SOC., 74(10), p 2367-73, (1991).
- [14] R. Arthar et V. Hippel, "Les Diélectriques et Leurs Applications", Ed. Dunot, Paris, p 232-234, (1961).
- [15] K. C. Liu, G. Thomas, A. Caballero, G. S. Moya and S. De aza, "Time±temperature± transformation curves for kaolinite-a-alu- mina", J. Am. Ceram. Soc., 77 (6), p 1545-52, (1994).

- [16] K. Okada, N. Autsuka and J. Osaka, J. Am. Ceram. Soc., 69 (10) C-251-C-53, (1986).
- [17] A. K. Chakraborty and D. K. Ghosh, "Comment on 'Spinel Phase Formation During the 980°C Exothermic Reaction in the Kaolinite-to-Mullite Reaction Series", J. Am. Ceram. Soc., 72 (8), p 1569-70, (1989).
- [18] B. Sonuparlak, M. Sarikaya and I. A. Aksay, "Spinel Phase Formation at the 980°C Exothermic Reaction in the Kaolinite to Mullite Reaction Series", J. Am. Ceram. Soc., 70 (11), p 837-42, (1987).
- [19] R. M. Orenstein and D. J. Green, "Thermal Shock Behavior of Open Cell Ceramic Foams", J. Am. Ceram. Soc., 75 (7), p 1899-1905, (1992).
- [20] A. K. Chakraborty, J. Am. Ceram. Soc., 75 (7), p 2013-16, (1992).
- [21] P. Sennet, Sci. Geol. MéN., 89 19th Clay Conference. Strasbourg, p 71-79, (1990).
- [22] A. K. Chakraborty and D. K. Ghosh, J. Am. Ceram. Soc., 74 (6), p 1401-1406, (1991).
- [23] Y. G. Shi and G. L. Messing, J. Am. Ceram. Soc., p 67-109, (1984).
- [24] R. S. Bouynton, "Chemistry and Technology of Lime and Limestone", 1, (1966).
- [25] D. Kessler and W. Sligh, U. S. Bull of Stond, Tech Paper, 497, (1927).
- [26] S. Windes, " Physical properties of mine rock", U. S. Bull. Mines, p 4469, (1950).
- [27] W. D. Kingrey, H. K. Bowen and D. D. Ruhlman, "Introduction to ceramics", and 2nd . Ed. John Wiley and Sons, New York, p 414-560, (1975).
- [28] A. P. Watkionson and J. K. Brimacombe, " Metallurgical transaction", p 138-369, (1982).
- [29] W. W. Wedlandt, "Thermal Methods of analysis", John Wiley and Sons, p 16, (1974).
- [30] R. S. Foster, "Research Report to the nature lime", (1946).
- [31] P. Pascal, "Nouveau traité de chimie minéral", p 27, (1966).
- [32] A. Paul and A. Youssefi, J. mater. Sci., 13, p 97, (1978).

- [33] T. Hayashi and H. Saito, "Preparation of CaO-SiO<sub>2</sub> glasses by the gel method", J. mater. Sci., 15, p 1971, (1980).
- [34] T. Kokoubo and S. S. Sakka, J. mater. Sci., 21, 536, (1986).
- [35] K. A. Gutshick, Am. Ceram. Soc. Bull, 70, p 873, (1991).
- [36] P. Wilams, M. Sunderland and G. Briggs. Ironmaking and Stelmaking, 9, p 150, (1983).
- [37] D. G. Brant, Am. Ceram. Soc. Bull., 62, p 580, (1982).
- [38] L. L. Wong and R. C. Bradt, Am. Ceram. Soc. Bull, 69, p 1184, (1990).
- [39] Y. G. L. Messing and R. C. Bradt, Am. Ceram. Soc. Bull., 67, p 109, (1984).
- [40] J. Miserey, "Industrieceramique", N° 660, (1973).
- [41] Acta. Crystallografica, Volume. 15, p 1005, (1962).
- [42] R. C. West, Hand Book of Chimestry and Physics, CRC Presse, p 855, (1977).
- [43] C. Prieur, Industrie Céramique, N° 693, (1976).
- [44] A. Ghotov, "Chimie physique pour les géologue", Ed. OPU, p 130-170, (1989).
- [45] J.M.Berland, et C. Jeury, "Les procédés membranaires pour le traitement de l'eau", Document technique N°14, Fonds nationale pour le développement des adducations d'eau. FNDAE, France, (2002).
- [46] S. Loeb, S. Sourirajan, UCLA Dept. Eng. Report, N°.60.60, (1961).
- [47] J. Mllevalle, J.L. Bersillon, C. Anselme, and P. Aptel, " Membrane Filtration in Drinking Water Treatment: A Case Story, "In Influence and Removal of Organics in Drinking Water, Lewis publisher, Chap 2,p 299-310, (1992).
- [44] J. Mllevalle, P.E. Odendall, and M.R. Wiesner, "Water treatment membrane processes", McGraw-Hill, New York, (1996).
- [44] A. I. Schafer, A.G. Fane, T.D. Waite, "Fouling effects on rejection in the membrane filtration of natural water", Conference on membranes in drinking and industrial water production, Paris, Farnce, Vol 1, p 411-420, (2000).

- [55] J. L. branlt, "Mémento Technique de l'eau", Edition du Cinquantenaire, p 176-220, (1989).
- [51] S. Bouranene, Thèse de doctorat, "Etude de la rétention de solutés neutres et ioniques par des membranes de nanofiltration", Université de Franch-Comté, Ecole Doctorale Louis Pasteur-UTINAM-, France, p 12-52, (2008).
- [55] S. Condom, Thèse de doctorat, "Etude des mecanismes de selectivite d'une membrane d'ultrafiltration en spinelle de cobalt. modelisation", Université de Montpellier II, France, p 74, (2004).
- [53] H. Elkhabbaze, Thèse de doctorat, "Traitement des solutions Modèles du lait par des membranes de nanofiltration et d'osmose inverse", Université Mohammed V, Rabat, Maroc, p 27, (2008).
- [54] G. Pierre-collet, Thèse de doctorat, "Rétention de virus en ultrafiltration : protocole de caractérisation", Université de Toulouse III - Paul Sabatier, p 100- 103. (2011).
- [55] A. Maurel., "Technique séparative à membranes, Considération théorique", Technique de l'ingénieur. J 2790, p 1-24.
- [56] S. Bousba, "Contribution à modélisation et la simulation du traitement des eaux en utilisant des techniques de séparations membranaires", Thèse de magister, Université de Sétif, Algérie, p 1-19, (2004).
- [57] F. Bouzerara, "Porous ceramic supports for membranes prepared from kaolin and doloma mixtures" Thèse doctorat en science, Université de Constantine, Algérie, p 1-171, (2005).
- [58] T. A. Paul, "Etude comparée du colmatage en nanofiltration et en ultrafiltration d'eau de surface", thèse de doctorat, Faculté des Sciences et de Génie Maîtrise en génie civil, Université Laval, France, (2004).
- [59] V. J. Violleau, "Demineralisation par electro dialyse en présence d'un complexant application au lactoserum", Thèse doctorat, Institut National Polytechnique de Toulouse, p 17-18, (1999).
- [60] J.P. Brun. "Procédés de séparation par membranes. (Transport Techniques membranaires Application)". MASSON, Paris Milan Barcelone Mexico, p 241, (1989).
- [61] J. Bertrand et al."Génie Des Procédés", Thèse de doctorat TEC. DOC, Paris, p 137-200, (1992).

- [62] A. Maurel., "Osmose inverse et ultrafiltration, II Technologie et application", Technique de l'ingénieur. J2796, p 1-16.
- [63] I. A. Kartika, " Nouveau procédé de fractionnement des graines de Tournsol: expression et extraction en extrudeur bi-vis, purification par ultrafiltration de l'huile de tournesol ", Institut national polytechnique de Toulouse, Cedex 04, p 1-339, (2005).
- [64] R. W. Baker, "Membrane technology and applications", Jhon Wiley and Sons, Chichester, (2004).
- [65] Osmonics, " Pure water Handbook", 2<sup>nd</sup> Edition, 5951 Clearwater Drive Minnetonka, MN 55343-8995 USA, 1997, 1991, Osmonics, Inc.
- [66] M. Drouiche, H. Lounici, D. Belhocine, H.Grib, D. Piron, N.Mameri, " Economic study of the treatment of surface water by small ultrafiltration units" Water SA, 27(2) p 199-204, (2001).
- [67] V. J. Violleau, Thèse de doctorat, " Demineralisation par electro dialyse en presence d'un complexant application au lactoserum", Institut national polytechnique de toulouse, France; pp 11-14, (1999).
- [68] B. Espinasse, " Approche théorique et expérimentale de la filtration tangentielle de colloïde: Flux critique et colmatage ", Thèse de doctorat de l'Université Paul Sabatter, Toulouse III, p 9-10, (2003).
- [69] M. E. Bouchot, Thèse de doctorat, "Contribution à l'étude d'un Bioréacteur à Membranes Immergées: Impact de la configuration du module et des conditions d'aération sur le colmatage particulaire et modélisation de l'activité biologique ", INSA de Toulouse, p 4-7, (2005)
- [70] S. Masmoudi, A. Larbot, H. El Feki, R. Ben Amar, "Elaboration and properties of new ceramic microfiltration membranes from natural and synthesised apatite", Desalination 190 p 89–103, (2006).
- [71] F. Bouzerara, A. Harabi, S. Achour, and A. Larbot, "Porous ceramic supports for membranes prepared from kaolin and dolomite mixtures", J. Eur. Cer. Soc, 26, 1663-1671, (2006).
- [72] P.M. Biesheuvel, H. Verweij., "Design of ceramic membranes supports: permeability, tensile strength, and stress", Journal of Membrane Science, 156, p 141-152, (1999).

- [73] S. Rakib, Thèse doctorat d'état, Faculté des Sciences, Univ Sidi Mohamed ben Abdellah, Maroc, (2000).
- [74] S. Vercauteren, J. Luyten, R. Leysen, E.F. Vansant, "Synthesis and characterization of pillared clay membrane", *J. of Membrane Science.*, 119, p 161-168, (1996).
- [75] S. Rakib, M. Sghiyar, M. Rafik, D. Cot, A. Larbot, and L. Cot, "Elaboration et caractérisation d'une céramique macroporeuse à base d'arène granitique", *Ann. Chim. Sci. Mat*, 25, p 567-576, (2000).
- [76] N. Elmouden, S. Elghazouali, S. Rakib, M. Sghiyar, M. Rafik, A Larbot, et al "Nouveaux supports membranaires à base de chamotte d'argile", *Ann. Chim. Sci. Mat.*, 26(2), p 5-11, (2001).
- [77] K. Massmoudi, Thèse doctorat d'état, Faculté des Sciences, Univ Sidi Mohamed ben Ali, Maroc, (1996).
- [78] S. H. Lee, K. C. Chung, M. C. Shin, J. I. Dong, H. S. Lee, and K. H. Auh, "Preparation of ceramic membranes and application to the cross flow microfiltration of soluble waste oil", *Matter lett.*, 52, p 266-271, (2002).
- [79] P. Rao, M. Iwasa, T. Tanaka, I. Kondoh, "Centrifugal casting of Al<sub>2</sub>O<sub>3</sub>-15wt. % ZrO<sub>2</sub> ceramic composites", *Ceramic international.*, 29, 209-212, (2003).
- [80] P. M. Biecheuvel, V. Breedvel, A. Higler, and H. Vewelij, "Graded membrane supports produced by centrifugal casting of a slightly polydisperse suspension", *Chemical Engineering Science.*, 56, p 3517-3525, (2001).
- [81] Y. Kondo, Y. Hashizuka, M. Nakahara, K. Yokota, "Slip casting of alumina Using Porous Alumina Mold", *J. of the Ceramic Society of Japan*, 101(1176), p 928-931, (1993).
- [45] K. Traore, Thèse de doctorat, "Frittage à basse température d'une argile kaolinitique du Burkina Faso" Université de Limoge, France, (2003).
- [41] B. Boudaira, 'Elaboration et étude des membranes et leurs supports à partir du kaolin (DD2) et CaCO<sub>3</sub>', Thèse de Magister, Université de Constantine, Algérie, p 1-83, (2007).

- ]84[ F. Zenikheri, 'Elaboration et étude des membranes et leurs supports à partir du kaolin (DD3) et  $\text{CaCO}_3$  ', Thèse de Magister, Université de Constantine, Algérie, p 1-83, (2008).
- ]85[ S. Rakib, Thèse doctorat d'état, Faculté des sciences, Univ Sidi Mohammed Ben Abdellah, Maroc, (2000).
- ]86[ B. Boudaira, A. Harabi, F. Bouzerara, S. Condom, "Preparation and characterization of microfiltration membranes and their supports using kaolin (DD2) and  $\text{CaCO}_3$ ", *Desalination and Water Treatment*, 9, p 142-148, (2009).
- ]87[ F. Bouzerara, A. Harabi, B. Ghouil, N. Medjemem, B. Boudaira & S. Condom "Elaboration and Properties of Zirconia Microfiltration Membranes", *Procedia Engineering*, 33, p 278–284, (2012).
- ]88[ A. Harabi, A. Guechi, S. Condom, "Production of Supports and Filtration Membranes from Algerian Kaolin and Limestone", *Procedia Engineering*, 33, p 220 – 224, (2012).
- ]89[ A. Harabi, F. Zenikheri, B. Boudaira, F. Bouzerara, A. Guechi, L. Foughali "A new and economic approach to fabricate resistant porous membrane supports using kaolin and  $\text{CaCO}_3$ ", *J. Eur. Ceram. Soc*, 34, p 1329-1340, (2014).

## ملخص

### تضخيم ودراسة الأغشية وحواملها ان القيا من مواد خزفية

إن أهم ما يمكن أن نلخصه من هذا البحث هو أننا قمنا بتصنيع حوامل أغشية وهذا القيا من مواد خزفية من أجل تصنيعها في كل من كاولان (DD2) والكاولان (DD3) للسيريت ( $\text{CaCO}_3$ ) وذلك باستخدام تقنية ثلاث خراج، هذه الأخيرة لمقتنا من أجل حصول على حوامل أغشية السيريت، لهذا عملنا معالج عال حوامل للمحضرة من كاولان (DD2) لكي نصل إلى حوامل أغشية السيريت حراري بعد درجة حرارة  $0521^\circ\text{C}$  ليتم لنا من أجل حصول على خصائص جيدة هذه الحوامل، حيث قدرتموس طق طلال فراغ انتح والي  $9.6 \mu\text{m}$  وكذا نسبة المساحة الفراغات والتي قدرتها بحوالي 25% واجهتني في درج والي  $36.62 \text{ MPa}$ ، كما تمكنت من مطبوع أحادي أي نتج عن تصنيعها. هذه الحوامل تم اختيارها لأنها تكون مسهل طبقات أغشية خاصة بالتقوية ميكروية (Microfiltration) هذه الأغشية التي تم تصنيعها لطلاقا من مادة أوكسيد الزركونيوم ( $\text{ZrO}_2$ ) ولتستخدمت في تصنيعها، ليتم معالجها عند درجات حراري  $0021^\circ\text{C}$ ، حيث قدرتموس طق طلال المساحة والي  $1.00 \mu\text{m}$  وسهل أغش المساحة والي  $33 \mu\text{m}$ . هذه الأغشية تم اختيارها أيضا لأنها تكون دعام لأغشية أخرى أدمها ولتعمل في أغشية التقوية الميكروية الدقيقة (Ultrafiltration)، هذه الأخيرة تم تصنيعها لطلاقا من مادة أوكسيد الزركونيوم ( $\text{ZrO}_2$ ) ببلعاد مختلفة ولتستخدمت في تصنيعها، ليتم معالجها عند درجات حراري  $011^\circ\text{C}$ ، حيث قدرتموس طق طلال المساحة والي  $1.12 \mu\text{m}$  وسهل أغش المساحة والي  $0 \mu\text{m}$ ، أمقيماي خص معامل الفعالية  $k = 407 \text{ l/h.m}^2.\text{bar}$  في درج والي

أمقيماي خص المعامل للمحضرة من كاولان (DD3) لكي نصل إلى حوامل أغشية السيريت معالجها حراري بعد درجات حرارة مغلطة ( $1150-1300^\circ\text{C}$ )، لهذا عملنا معالج عال حوامل للمعجدة بعد درجة حرارة  $0511^\circ\text{C}$  ليتم لنا من أجل حصول على خصائص جيدة الحوامل، حيث قدرتموس طق طلال فراغ انتح والي  $2 \mu\text{m}$  وكذا نسبة المساحة الفراغات والتي قدرتها بحوالي 1%.. 21% ومقاومة شتت درج والي  $77 \text{ MPa}$ ، كما تمكنت من مطبوع أحادي، هذه الحوامل تم اختيارها لأنها تكون مسهل طبقات أغشية خاصة بالتقوية الميكروية (Microfiltration)، هذه الأخيرة تم تصنيعها لطلاقا من مادة أوكسيد الزنك ( $\text{ZnO}$ ) ولتستخدمت في تصنيعها، ليتم معالجها عند درجات حراري  $0100^\circ\text{C}$ ، حيث قدرتموس طق طلال المساحة والي  $1.2 \mu\text{m}$  وسهل أغش المساحة والي  $33 \mu\text{m}$ ، أمقيماي خص معامل الفعالية في درج والي  $k = 0012 \text{ l/h.m}^2.\text{bar}$

كما نتوصلنا من خلال هذا البحث إلى نتائج هامتها أعاقا جيدهم معالج عضلها العسرة وكذا نذب عضلها لصلصال صحي وتقويتها، حيث نتجت من هذا البحث أنها يمكن استخدامها في إزالة اللطعم والرائحة من الماء وإزالة اللون وكذا إزالة الحبيد من الماء وأيضا إزالة عييد من الشوائب ولتصلر والتخلص من الأعكارة وكذا عييد حموضيتها.

**الكلمات المفتاحية:** كاولان (DD2)، كاولان (DD3)، حوامل، أغشية ميكروية (MF)، تقوية ميكروية دقيقة (UF).

## Résumé

### Elaboration et étude des membranes et leurs supports à partir des matériaux céramiques

Ce travail décrit l'élaboration et la caractérisation des supports pour membranes à partir des matériaux céramiques locaux tels que le kaolin (DD2), le kaolin (DD3) et la calcite ( $\text{CaCO}_3$ ). Ces supports ont été réalisés par extrusion, cette technique nous a permis d'obtenir des supports de géométrie tubulaires. Les supports élaborés à base du kaolin (DD2) et la calcite, sont ensuite frittés à une température de  $1250^\circ\text{C}$ . Ces supports présentent une porosité de 53%, un diamètre moyen de pore de l'ordre de  $6.9\ \mu\text{m}$ , une contrainte à la rupture égale  $36.62\ \text{MPa}$  et une distribution des pores de type mono modèle. Ces supports sont destinés à être utilisés comme des substrats de membranes de microfiltration (MF). Une membrane en oxyde de zirconium ( $\text{ZrO}_2$ ) a été déposée sur les tubes élaborés, Ce dépôt est réalisé par la technique classique de coulage puis consolidé par le traitement thermique à une température de  $1150^\circ\text{C}$ . Ces couches membranaires présentent une taille moyenne des pores de l'ordre de  $0.30\ \mu\text{m}$  et une épaisseur de la couche membranaire environ de  $33\ \mu\text{m}$ . Ces membranes peuvent être aussi utilisées comme des substrats pour l'ultrafiltration(UF). Cette dernière couche a été élaborée aussi à partir de l'oxyde de zirconium ( $\text{ZrO}_2$ ) avec une taille différente par la méthode de coulage puis consolidé par le traitement thermique à une température de  $700^\circ\text{C}$ . Elle se caractérise par une taille moyenne des pores de l'ordre de  $0.05\ \mu\text{m}$ , une épaisseur de la couche membranaire environ de  $7\ \mu\text{m}$  et un coefficient de perméabilité  $k= 407\ \text{l/h.m}^2\ \text{.bar}$ .

Concernant, les supports élaborés à base du kaolin (DD3) et la calcite, sont ensuite frittés à différentes températures ( $1150\text{-}1300^\circ\text{C}$ ). Les supports qui ont été traités à  $1200^\circ\text{C}$  sont de bonnes caractéristiques, où le diamètre de pore est de l'ordre de  $5\ \mu\text{m}$  avec une porosité de 50.40%, la contrainte à la rupture est égale  $77\ \text{MPa}$ . La distribution des pores est de type mono modèle. Ces supports ont été choisis pour être des substrats des couches membranaires pour la microfiltration où leurs couches membranaires ont été élaborées à partir d'oxyde de zinc ( $\text{ZnO}$ ), en utilisant aussi la technique de coulage. Les échantillons sont traités à une température de  $1000^\circ\text{C}$ , Ces couches présentent une taille moyenne des pores de l'ordre de  $1.2\ \mu\text{m}$ , une épaisseur de la couche membranaire environ de  $33\ \mu\text{m}$  et un coefficient de perméabilité  $k= 880\ \text{l/h.m}^2\ \text{.bar}$ .

A partir de ce travail, on peut inspirer des résultats très importants dans le domaine des traitements des eaux usées et saumâtres. Car cette technique a prouvé son efficacité dans la purification des eaux à travers les membranes, tel que l'élimination des imputées et les composés nocives.

**Mots clés:** kaolin(DD2), kaolin(DD3), calcite, supports, membranes, microfiltration, ultrafiltration.

## Abstract

### Preparation and study of membranes and their supports from ceramic materials

In this work, the membranes supports have been prepared from local raw materials such as kaolin (DD2), kaolin (DD3) and calcium carbonates. These supports were made by extrusion technique in order to obtain tubular supports, the supports prepared from kaolin (DD2) and calcium carbonates have been sintered at 1250°C. It has been found that these supports had interesting characteristics; an average pore size of about 6.9  $\mu\text{m}$ , a porosity ratio around 53% and a flexural strength  $\approx 36.62$  MPa. Moreover, the pore size distribution is almost homogeneous (mono-modal type). These supports were selected to be substrates for the membrane layers used in microfiltration (MF). The membrane layers were elaborated from zirconium oxide, using slip casting technique. The specimens were subsequently sintered at 1150°C. The microstructure and porosity as well as the permeability have been also studied. It has been found that the average pore size is about 0.30  $\mu\text{m}$  and a layer thickness  $\approx 33$   $\mu\text{m}$ . These membranes are also used as supports for ultrafiltration (UF). The membrane layers of these later were also elaborated from zirconium oxide ( $\text{ZrO}_2$ ) with author diameters, using slip casting technique. The specimens were subsequently sintered at 700°C. The microstructure and porosity as well as the permeability have been also studied. It has been found that the average pore size is about 0.05  $\mu\text{m}$ , a layer thickness  $\approx 7$   $\mu\text{m}$  and the water permeability measured is about 407 l/h.m<sup>2</sup>.bar.

However, the supports prepared from kaolin (DD3) and calcium carbonates were sintered at different temperature (1150-1300°C). It has been found that supports sintered at 1200°C had interesting characteristics; an average pore size is about 5  $\mu\text{m}$ , a porosity ratio of 50.40%, a flexural strength  $\approx 77$  MPa and the pore size distribution is monomodal type. These supports were also selected to be substrates for the membrane layers of microfiltration (MF). The membrane layers of these later were elaborated from zinc oxide (ZnO), using slip casting technique. The specimens were subsequently sintered at 1000°C. The microstructure and porosity as well as the permeability have been also studied. It has been found that the average pore size is about 1.2  $\mu\text{m}$ , a layer thickness  $\approx 33$   $\mu\text{m}$  and the water permeability measured is about 880 l/h.m<sup>2</sup>.bar.

A further important application in this work is waste and hard waters purification using membranes technique.

**Keywords:** kaolin (DD2), kaolin (DD3), calcite, supports, membranes, microfiltration(MF), ultrafiltration(UF).